bservatoire



Taille de la Terre 🔷 💿

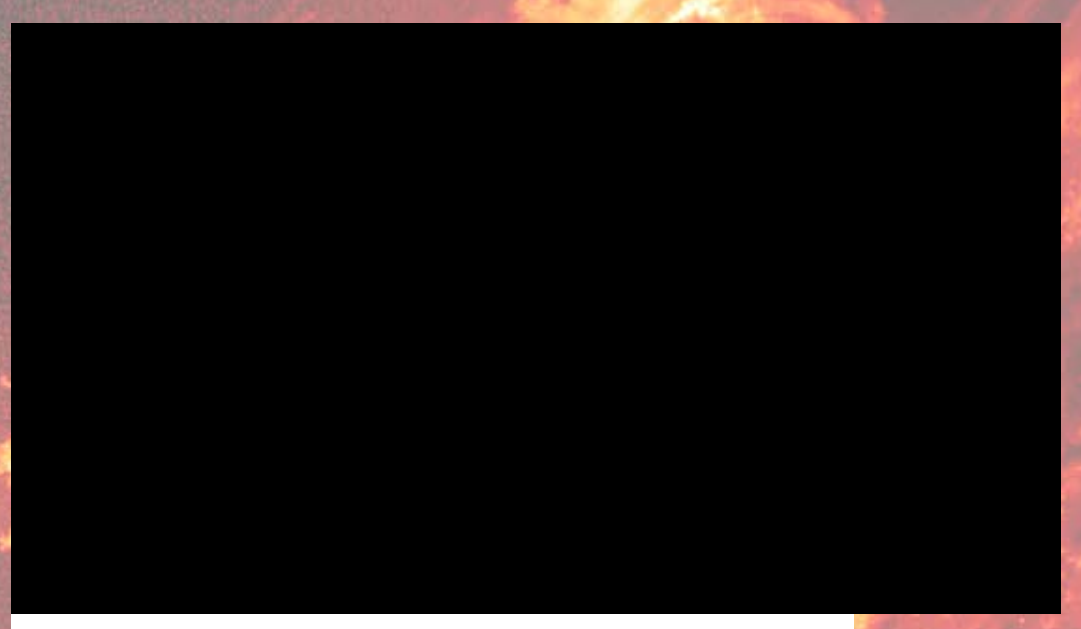






Samedi 17 Janvier 2015 Société Astronomique de Lyon **Etienne PARIAT**

Eruptions solaires et théories catastrophistes



NICOLAS CASE

| NICOLAS CASE
| NICOLAS CASE
| NICOLAS CASE
| NICOLAS CASE
| NICOLAS CASE
| NICOLAS CASE
| NICOLAS CASE
| NICOLAS CASE
| NICOLAS CASE
| NICOLAS CASE
| NICOLAS CASE
| NICOLAS CASE
| NICOLAS CASE
| NICOLAS CASE
| NICOLAS CASE
| NICOLAS CASE
| NICOLAS CASE
| NICOLAS CASE
| NICOLAS CASE
| NICOLAS CASE
| NICOLAS CASE
| NICOLAS CASE
| NICOLAS CASE
| NICOLAS CASE
| NICOLAS CASE
| NICOLAS CASE
| NICOLAS CASE
| NICOLAS CASE
| NICOLAS CASE
| NICOLAS CASE
| NICOLAS CASE
| NICOLAS CASE
| NICOLAS CASE
| NICOLAS CASE
| NICOLAS CASE
| NICOLAS CASE
| NICOLAS CASE
| NICOLAS CASE
| NICOLAS CASE
| NICOLAS CASE
| NICOLAS CASE
| NICOLAS CASE
| NICOLAS CASE
| NICOLAS CASE
| NICOLAS CASE
| NICOLAS CASE
| NICOLAS CASE
| NICOLAS CASE
| NICOLAS CASE
| NICOLAS CASE
| NICOLAS CASE
| NICOLAS CASE
| NICOLAS CASE
| NICOLAS CASE
| NICOLAS CASE
| NICOLAS CASE
| NICOLAS CASE
| NICOLAS CASE
| NICOLAS CASE
| NICOLAS CASE
| NICOLAS CASE
| NICOLAS CASE
| NICOLAS CASE
| NICOLAS CASE
| NICOLAS CASE
| NICOLAS CASE
| NICOLAS CASE
| NICOLAS CASE
| NICOLAS CASE
| NICOLAS CASE
| NICOLAS CASE
| NICOLAS CASE
| NICOLAS CASE
| NICOLAS CASE
| NICOLAS CASE
| NICOLAS CASE
| NICOLAS CASE
| NICOLAS CASE
| NICOLAS CASE
| NICOLAS CASE
| NICOLAS CASE
| NICOLAS CASE
| NICOLAS CASE
| NICOLAS CASE
| NICOLAS CASE
| NICOLAS CASE
| NICOLAS CASE
| NICOLAS CASE
| NICOLAS CASE
| NICOLAS CASE
| NICOLAS CASE
| NICOLAS CASE
| NICOLAS CASE
| NICOLAS CASE
| NICOLAS CASE
| NICOLAS CASE
| NICOLAS CASE
| NICOLAS CASE
| NICOLAS CASE
| NICOLAS CASE
| NICOLAS CASE
| NICOLAS CASE
| NICOLAS CASE
| NICOLAS CASE
| NICOLAS CASE
| NICOLAS CASE
| NICOLAS CASE
| NICOLAS CASE
| NICOLAS CASE
| NICOLAS CASE
| NICOLAS CASE
| NICOLAS CASE
| NICOLAS CASE
| NICOLAS CASE
| NICOLAS CASE
| NICOLAS CASE
| NICOLAS CASE
| NICOLAS CASE
| NICOLAS CASE
| NICOLAS CASE
| NICOLAS CASE
| NICOLAS CASE
| NICOLAS CASE
| NICOLAS CASE
| NICOLAS CASE
| NICOLAS CASE
| NICOLAS CASE
| NICOLAS CASE
| NICOLAS CASE
| NICOLAS CASE
| NICOLAS CASE
| NICOLAS CASE
| NICOLAS CASE
| NICOLAS CASE
| NICOLAS CASE
| NICOL

« Perfect Disasters » ep. 2; Discovery Channel

Films catastrophes liés à une éruption solaire



Sites web typiques de "fin du monde"

Qu'est ce que l'activité solaire ?

Qu'est ce qu'une éruption?

Quel est l'impact des éruption sur Terre?

Comment surveiller l'activité solaire?

Comment se déclenchent les éruptions ?

Un point sur Solar Orbiter:

la prochaine mission européenne d'étude de l'héliosphère



Le Soleil pendant une semaine: lumière visible

HMI Con - 2014/12/16 - 12:00:24Z

Taille de la Terre → •

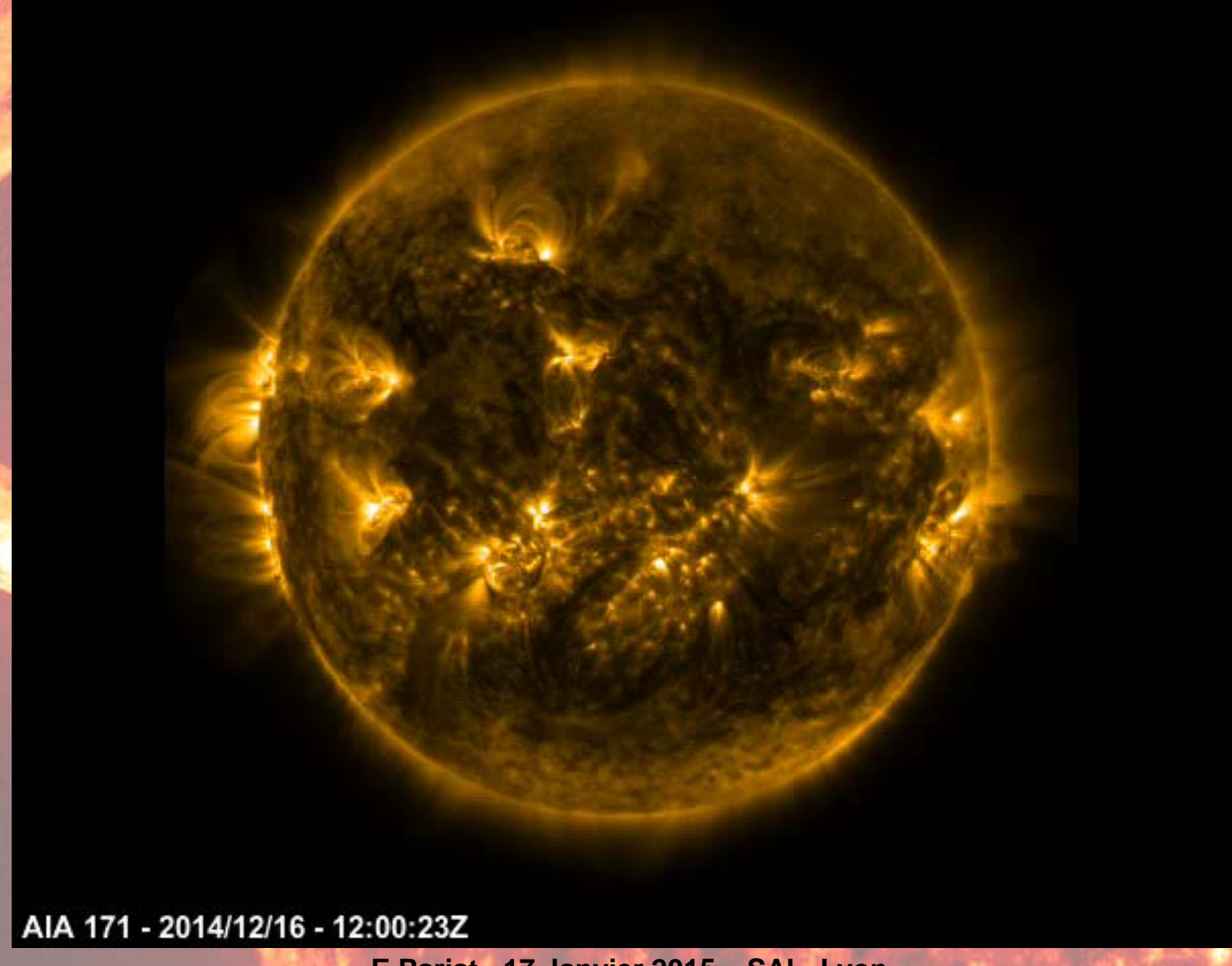
Le Soleil pendant une semaine: lumière visible

Taille de la Terre



Le Soleil pendant une semaine: Ultraviolet = atmosphère solaire

Taille de la Terre → •



Le Soleil pendant une semaine: Ultraviolet = atmosphere solaire

Taille de la Terre → •



L'atmosphère solaire, observée en Ultraviolet, présente de nombreuses et soudaines variations de sa structure.

AIA 171 - 2014/12/16 - 12:00:23Z

Le Soleil pendant une journée: lumière visible

HMI Con - 2014/12/19 - 00:00:24Z

Taille de la Terre → •

Le Soleil pendant une journée: UV = atmosphère solaire

Taille de la Terre → *

AIA 171 - 2014/12/19 - 00:00:23Z

Le Soleil pendant une journée: UV = atmosphère solaire

Taille de la Terre → •

Taches solaires = régions brillantes de l'atmosphère



AIA 171 - 2014/12/19 - 00:00:23Z

Le Soleil pendant une heure: lumière visible

Taille de la Terre \rightarrow

HMI Con - 2014/12/19 - 03:00:24Z

Le Soleil pendant une heure: UV = atmosphere solaire

Taille de la Terre \rightarrow

AIA 171 - 2014/12/19 - 03:00:35Z

Le Soleil pendant une journée: un jour d'éruption majeure

HMI Con - 2014/12/19 - 12:00:24Z

Taille de la Terre → •

Le Soleil pendant une journée: un jour d'éruption majeure

Taille de la Terre

AIA 171 - 2014/12/19 - 12:00:35Z

Le Soleil pendant une journée: un jour d'éruption majeure

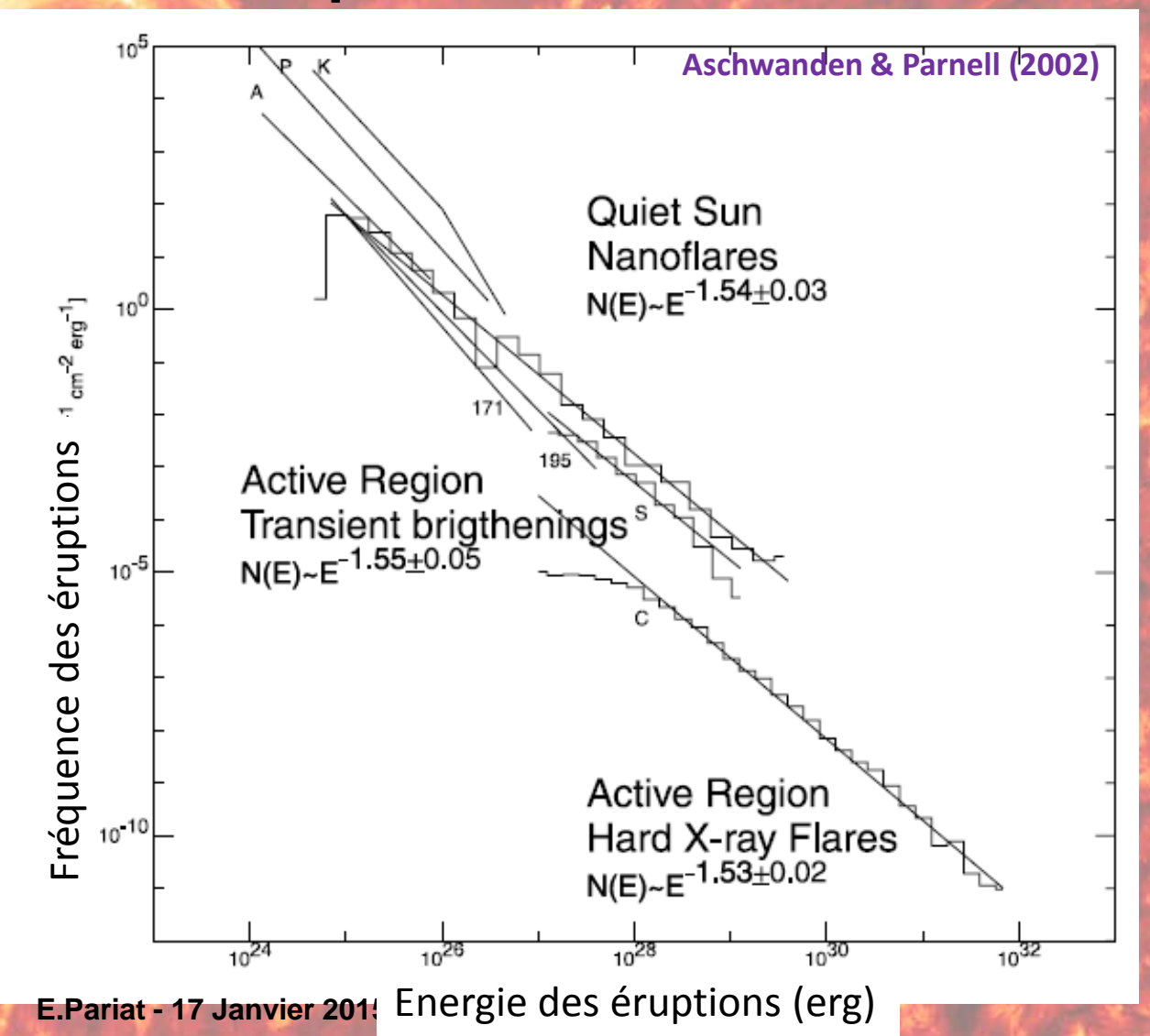
AIA 94 - 2014/12/20 - 00:01:01Z

Taille de la Terre → •

Température > 6 millions de °K

Distribution en énergie des éruptions

- L'activité solaire se déroule sur une vaste gamme d'échelles:
 - temporelle
 - spatiale
 - énergétique
- La fréquence des éruptions est inversement proportionnelle à leur « taille ».





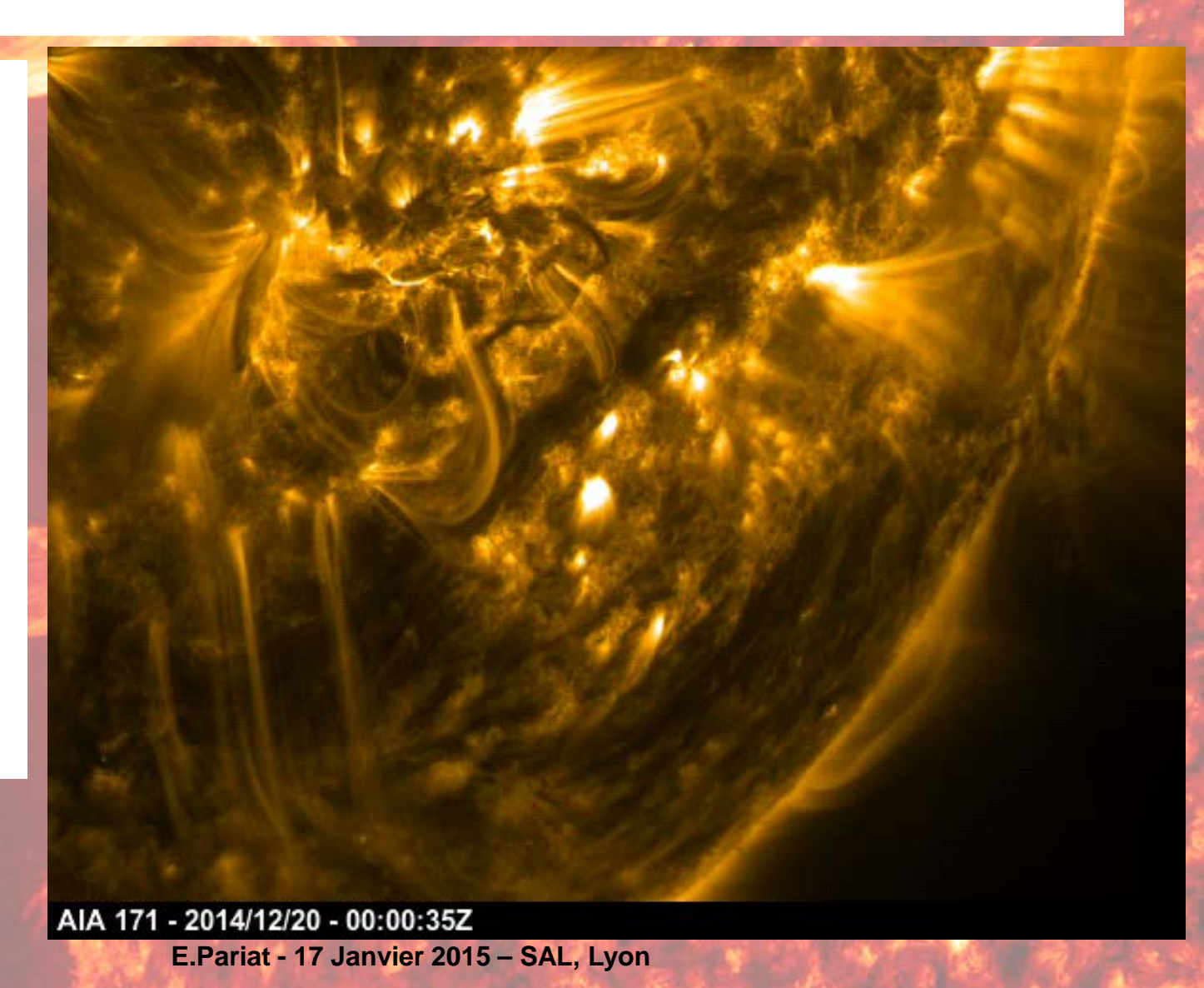
Une éruption solaire majeure

Energie: 10²⁶ J

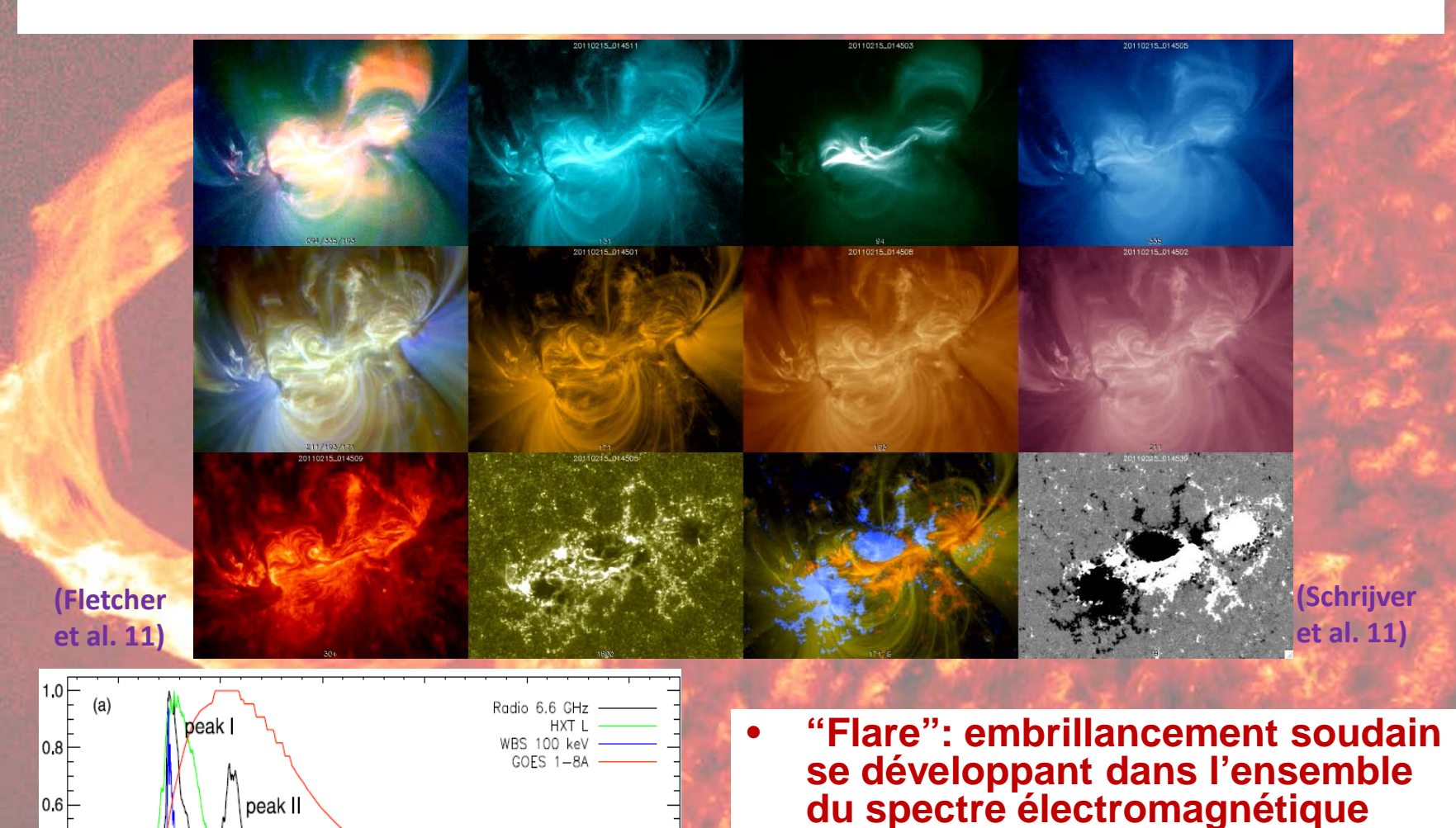
- 1 milliard de fois Tsar Bomba
- 1 million de fois consommation mondiale annuelle d'énergie
- 1 millième énergie de la rotation terrestre

Taille de la Terre

→



Embrillancement - « Flare »



E'Pariat -1717 Janvier 2015 - SAL, Lyon

0.4

0.2

16:20

16:30

peak III

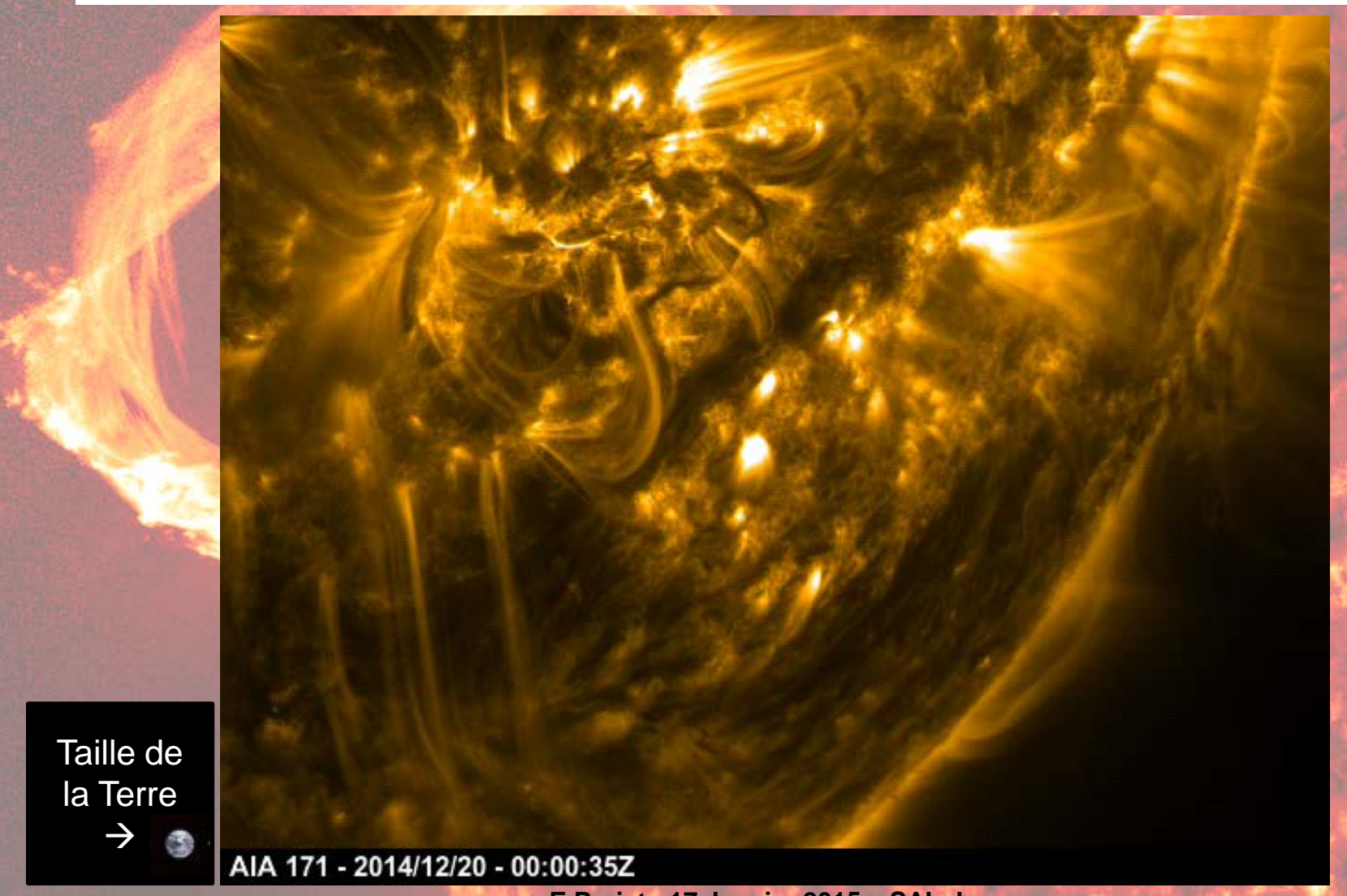
16:50

Start Time (19-Oct-01 16:15:00)

TRACE 171A

- se développant dans l'ensemble du spectre électromagnétique
- Photons arrivent au niveau de l'orbite terrestre en ~500 s.

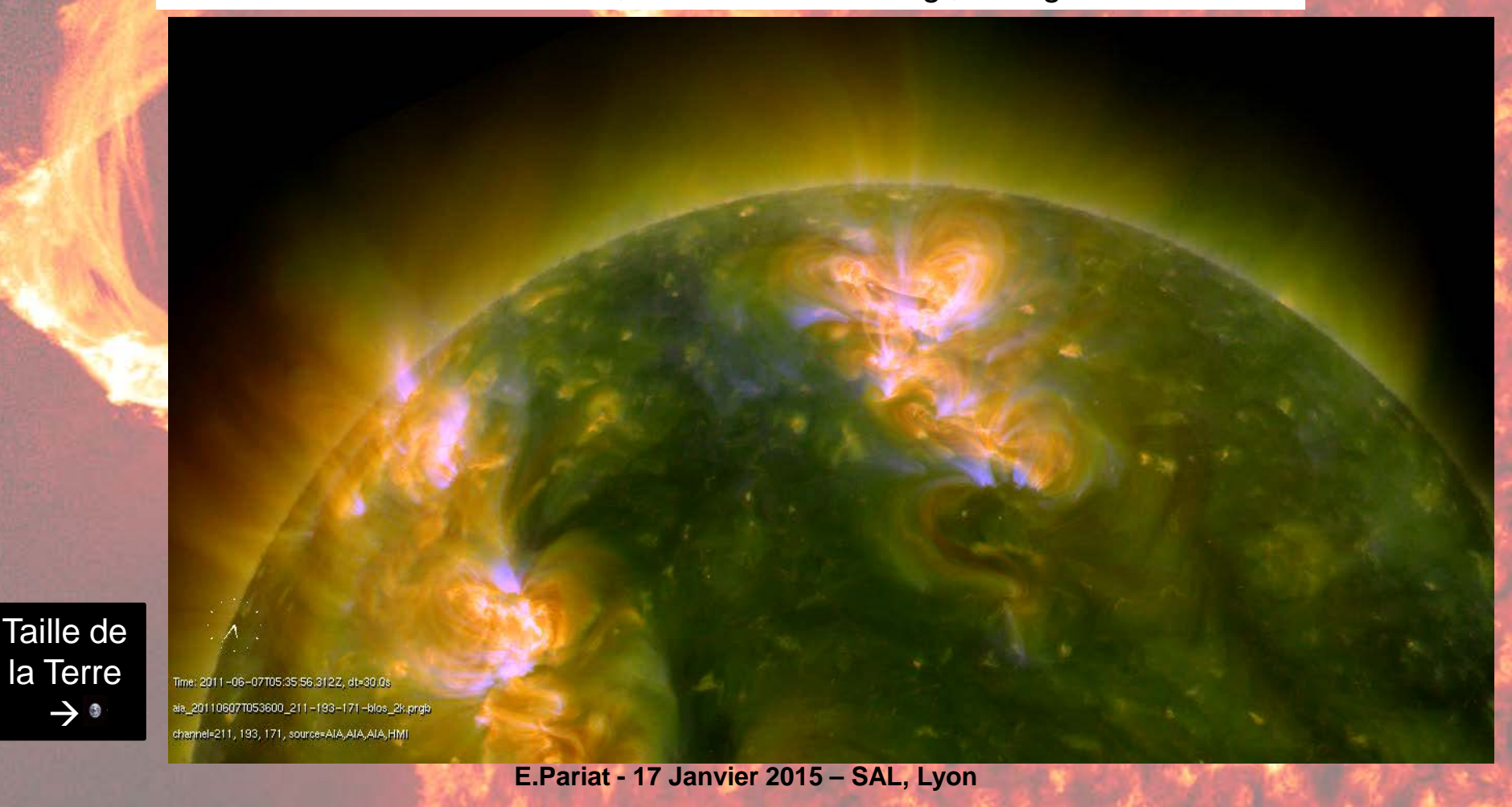
Une éruption solaire majeure



Ejections de Masse Coronales (CME)

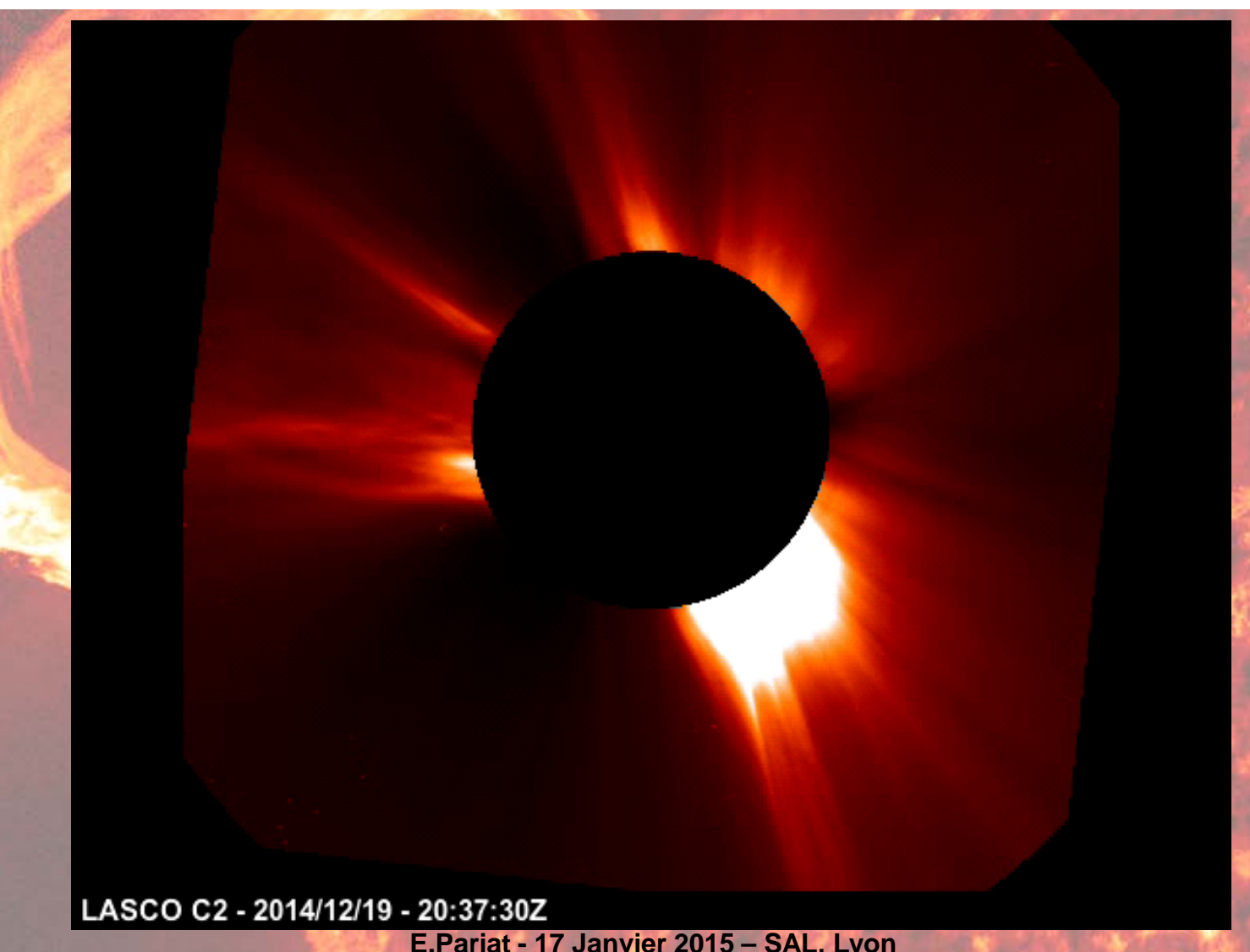
CMEs: ejection violente de matière solaire vers l'héliosphère

Vitesse: 300-2000 km.s⁻¹; Masse: 10¹⁰-10¹² kg; Energie: <10²⁶ J



Une éruption solaire majeure:

Coronographe = éclipse artificielle

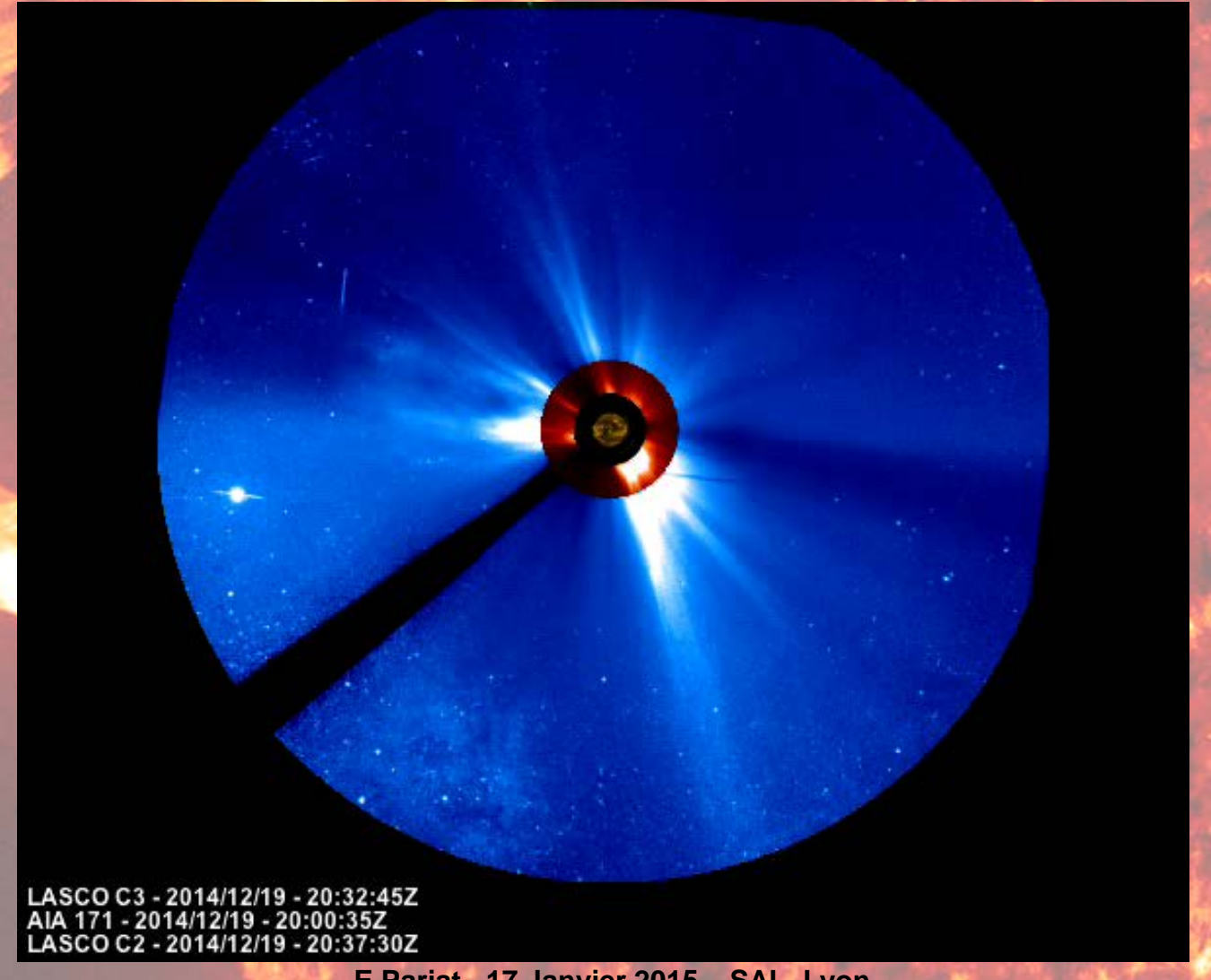


Une éruption solaire majeure:

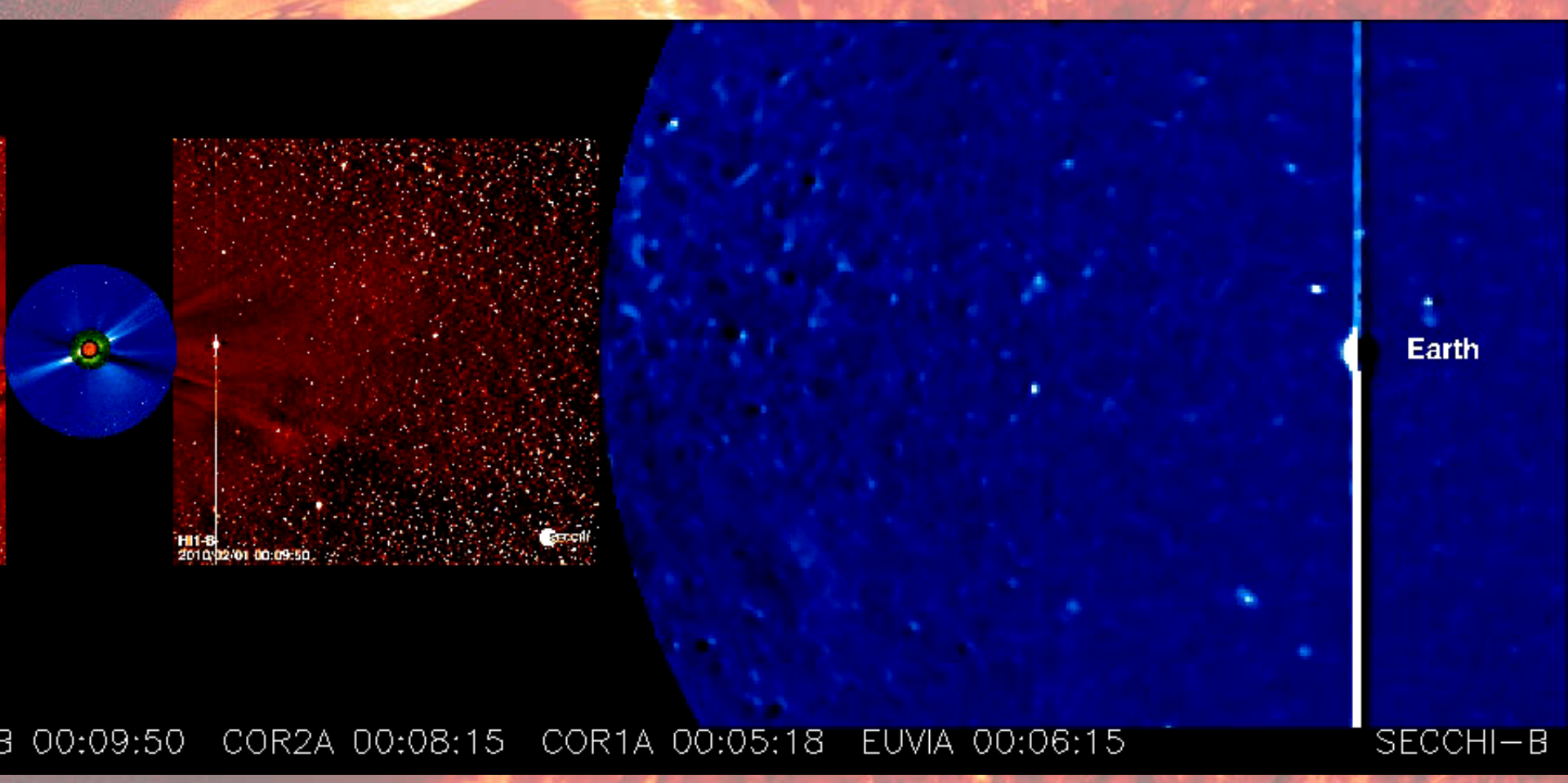
Coronographe = éclipse artificielle



Une éruption solaire majeure: matière éjecté vers l'espace

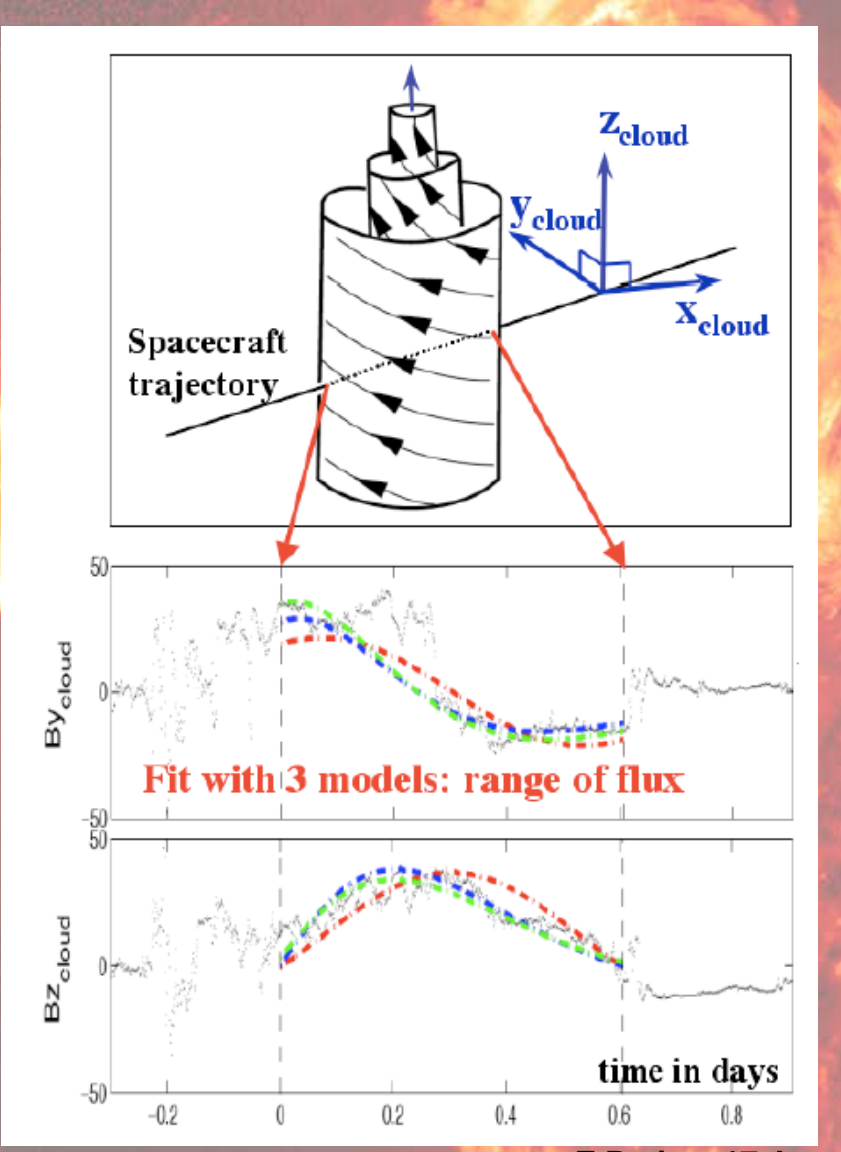


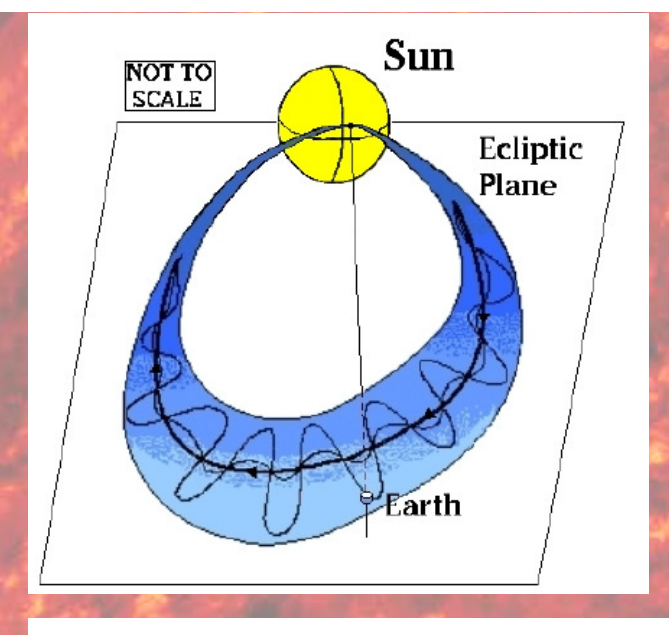
La propagation des Ejections de Masse Coronales dans le système solaire observée par STEREO



Crédits: NASA

Ejections de Masse Coronales

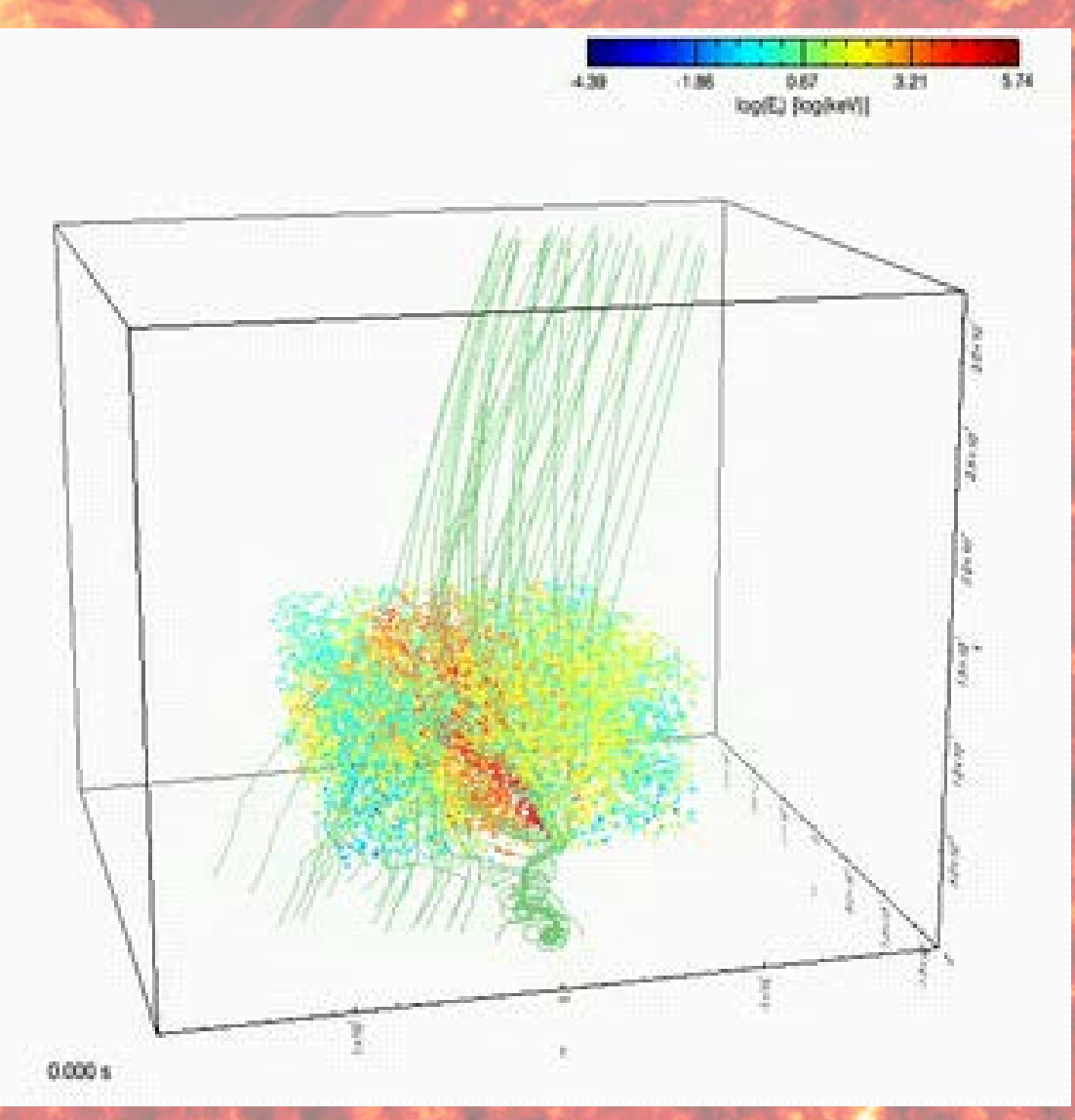




- CMEs: grande structure de matière solaire magnétisé.
 - → radiations
- Champ magnétique structuré: tube de flux magnétique torsadé.

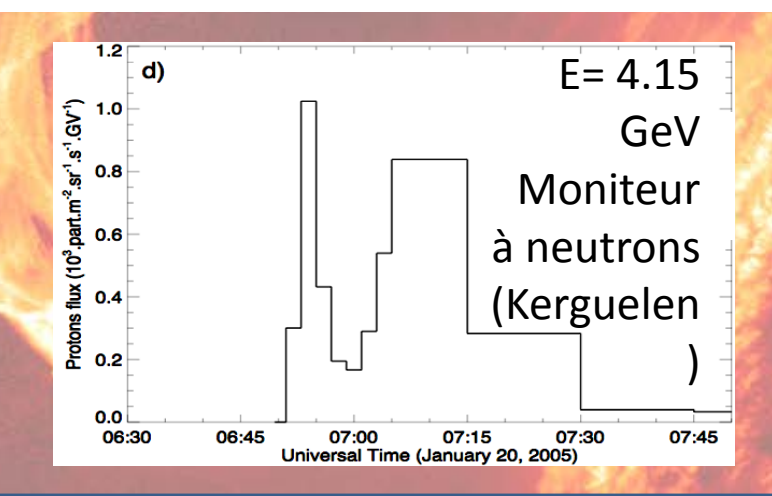
Particules énergétiques

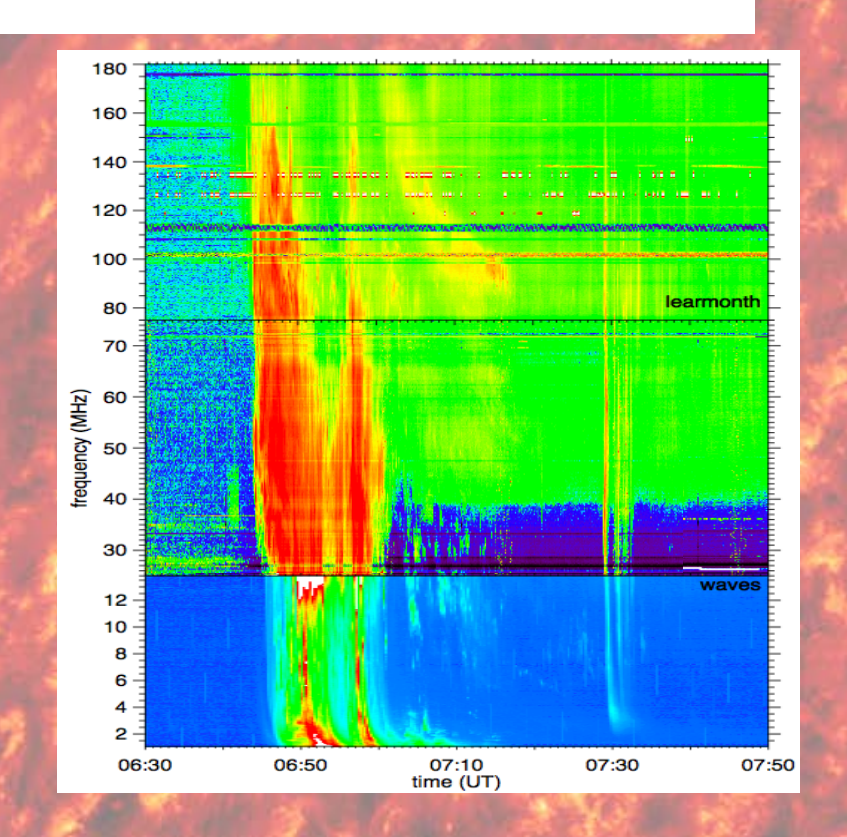
- Des particules de l'atmosphère solaires sont accélérés à des vitesses relativistes
 - Faisceaux d'électrons de protons et de neutrons
 - Acquièrent une énergie importante, peuvent atteindre le GeV (10⁻¹⁰ J) → très fort pouvoir irradiant
- Site d'accélération (?):
 - Au sein de l'éruption
 - Au niveau de la CME

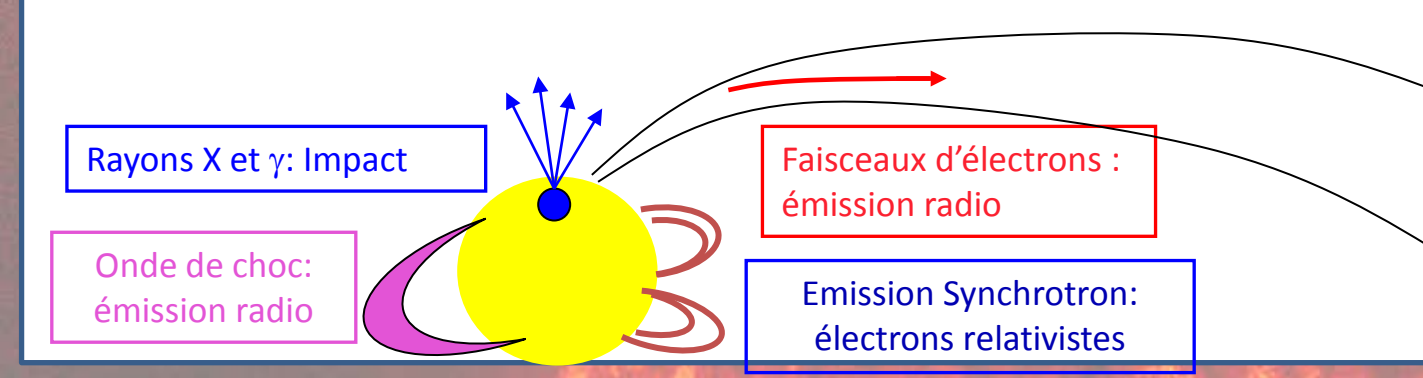


Particules énergétiques

- Faisceau de particules énergétique se propageant dans l'heliosphere:
 - Génèrent des émissions radio lors de leur propagation
- Arrivent à la Terre en ~10-15 minutes





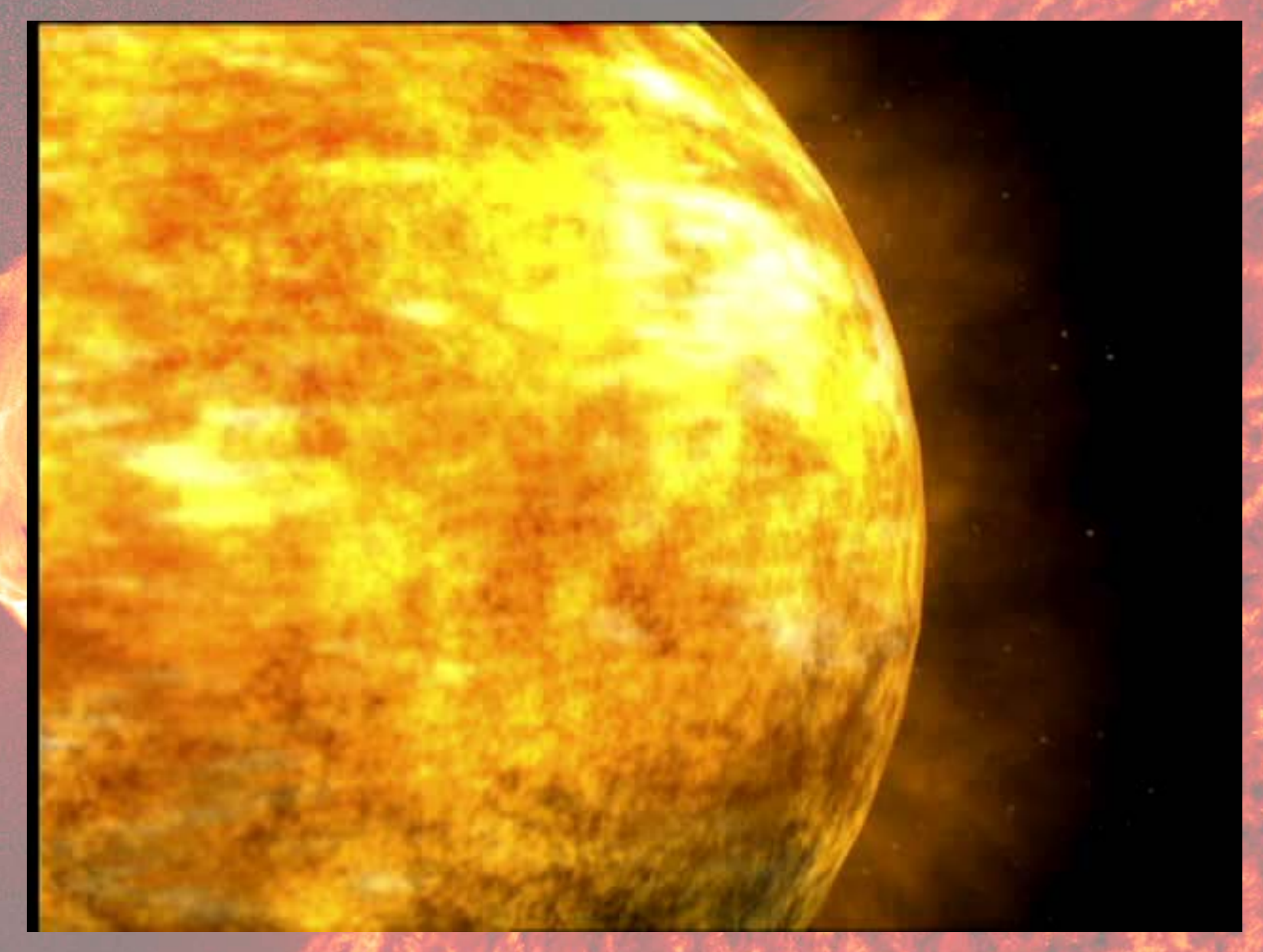


(Masson et al. 09)

Relativistic protons







Crédits: NASA SVS

E.Pariat - 17 Janvier 2015 - SAL, Lyon

Les conséquences

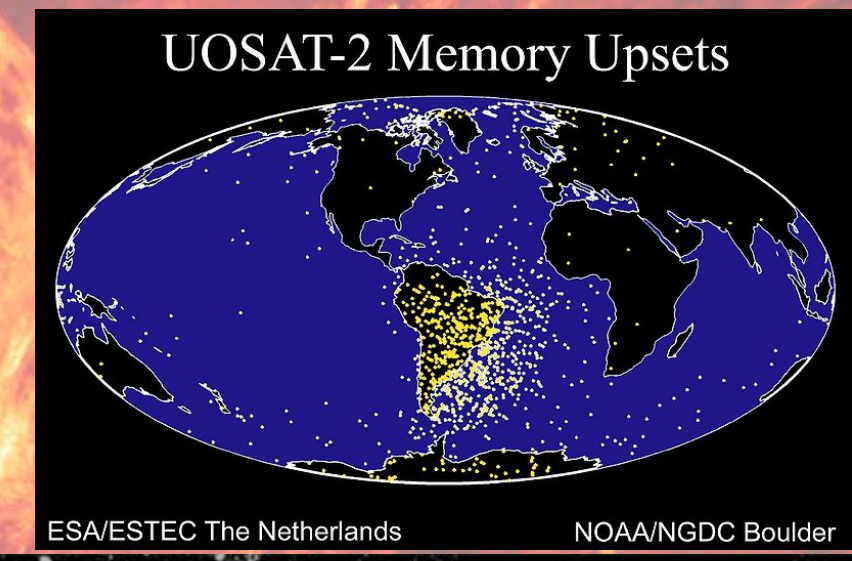


E.Pariat - 17 Janvier 2015 - SAL, Lyon

Crédits: NASA

Les conséquences

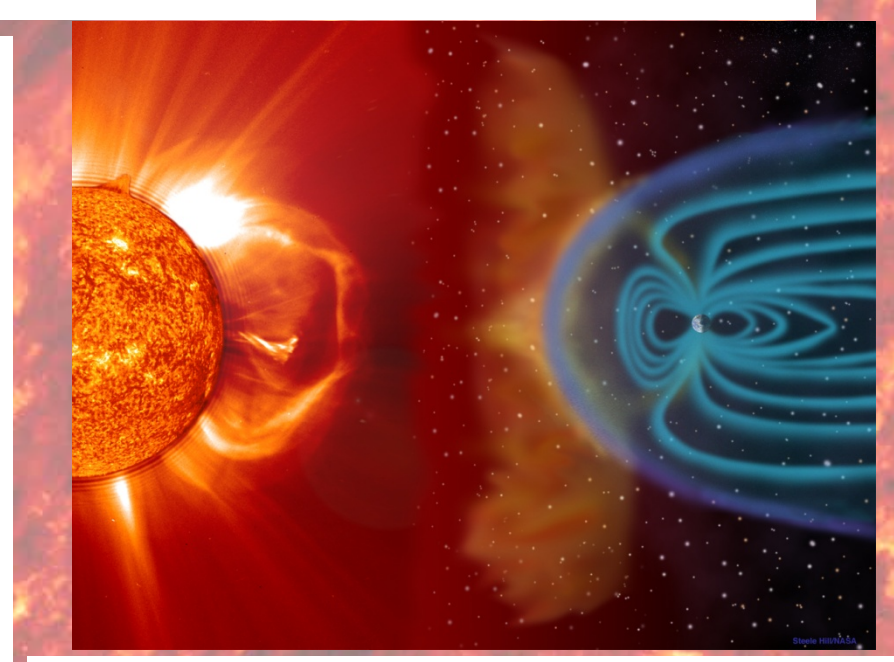
- Dommages sur les satellites artificiels
 - Erreurs de fonctionnement
 - Changement d'orbite
- Surtensions électriques
 - Réseau électrique
 - Oléoducs
- Coupure globale de courant électrique
- Perturbations des communications radio, du GPS
- Radiations sur humains
 - Astronautes
 - Personnels naviguants

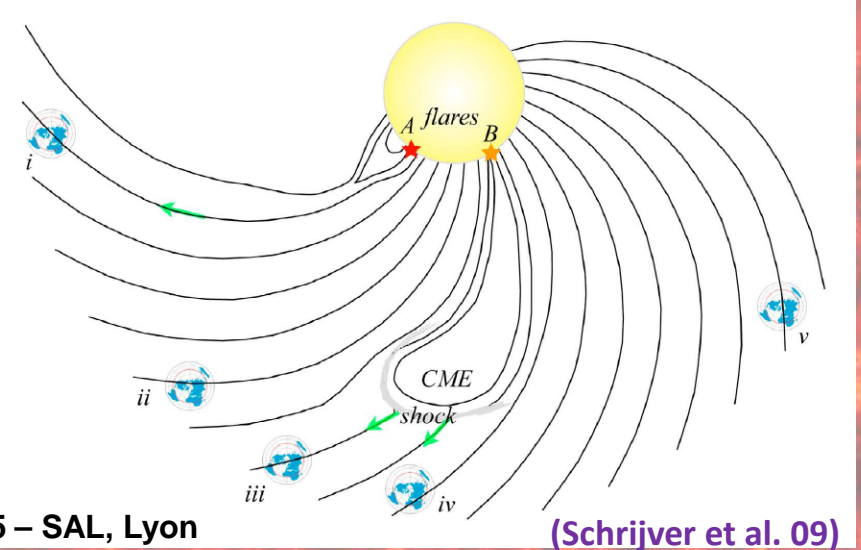




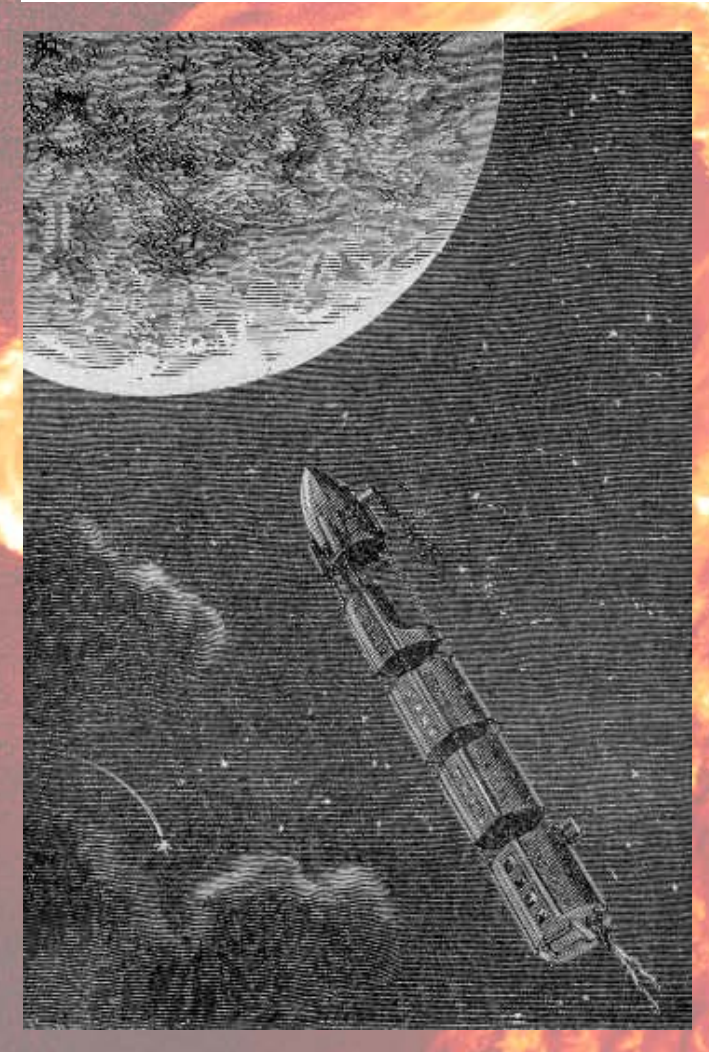
Météorologie de l'Espace

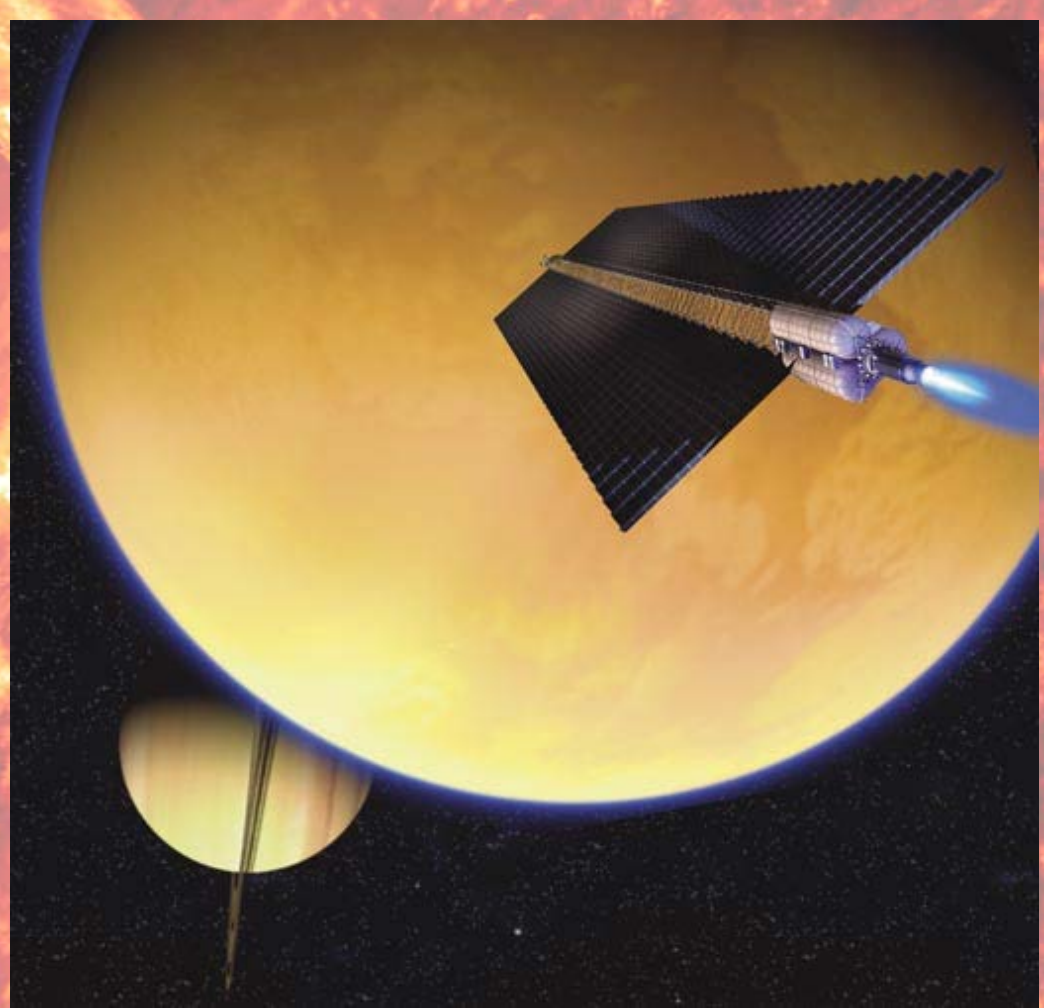
- Quantifier and predire les effets spécifique et cumulatif de l'impact de l'activité solaire sur Terre.
- De plus en plus d'acteurs:
 - NOAA: Space Weather Prediction center
 - NASA: Space Radiation Analyst Group, Space Weather Laboratory
 - UE: ESA Space Situation Awareness program
- Questions clefs:
 - Si une éruption à lieu:
 - Va-t'elle impactée la Terrre?
 - Quels seront les dommages?
 - Une éruption aura-t'elle lieu?
 - Quand?
 - Où?
 - Quelle seront ses propriétés?





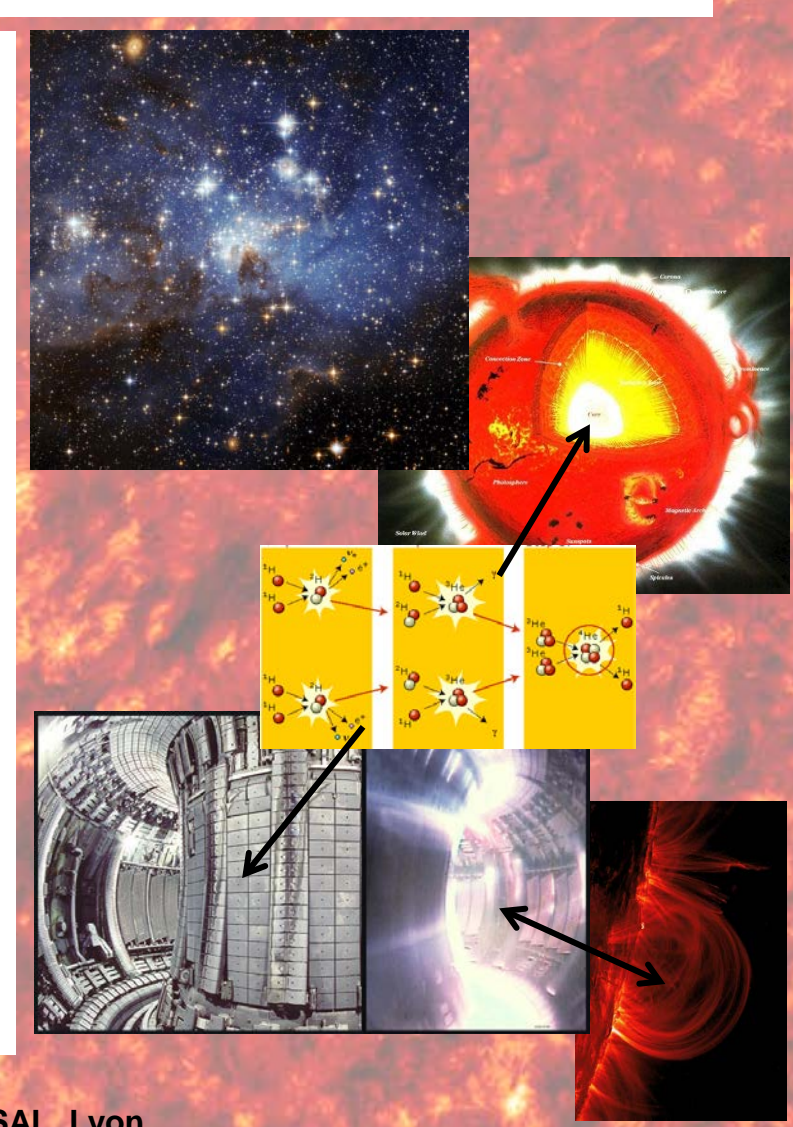
Un peu de fiction scientifique



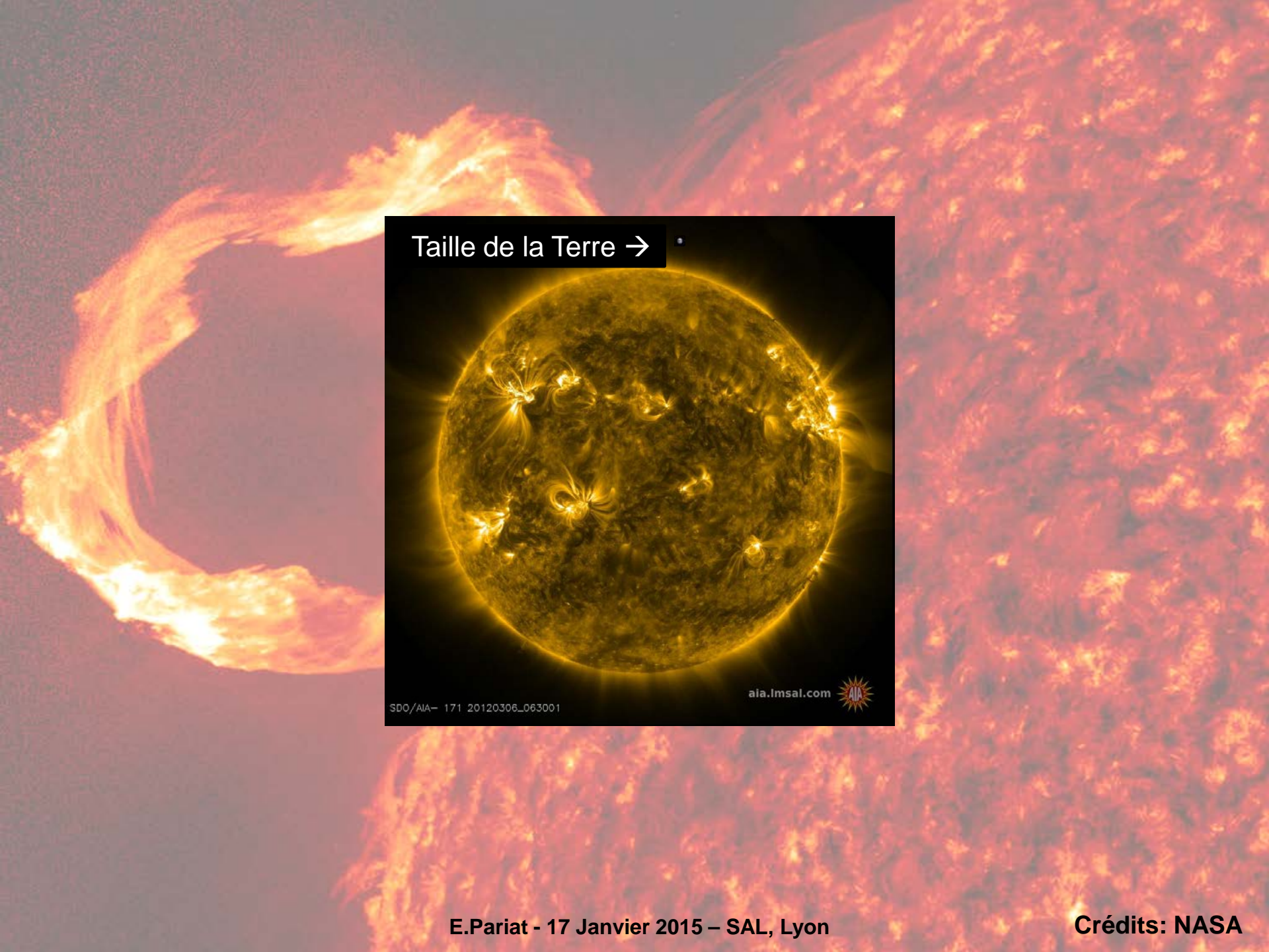


Les intérêts de l'étude du Soleil

- Prévoir son impact sur l'activité humaine
- Comprendre le climat
- Technologies de l'avenir
 - Soleil : milieu atypique qui ne peut pas (encore !) être reproduit sur terre
 - Fusion nucléaire
 - Confinement magnétique
- Meilleure connaissance de notre Univers
 - Etoile facilement observable





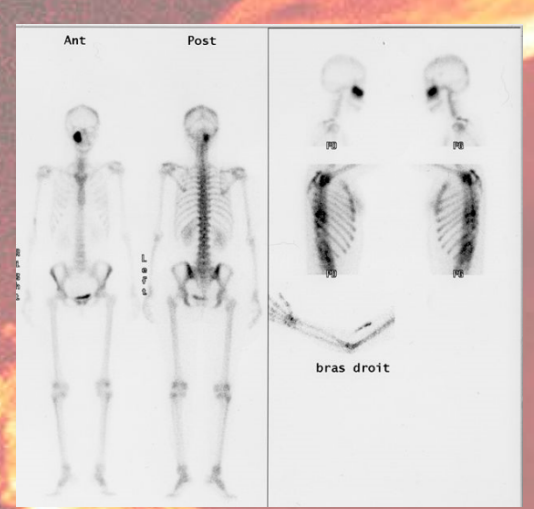




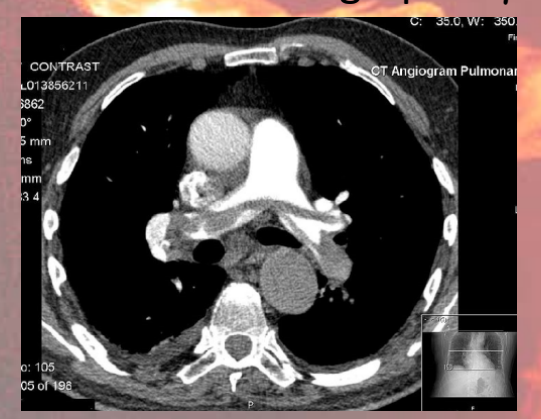




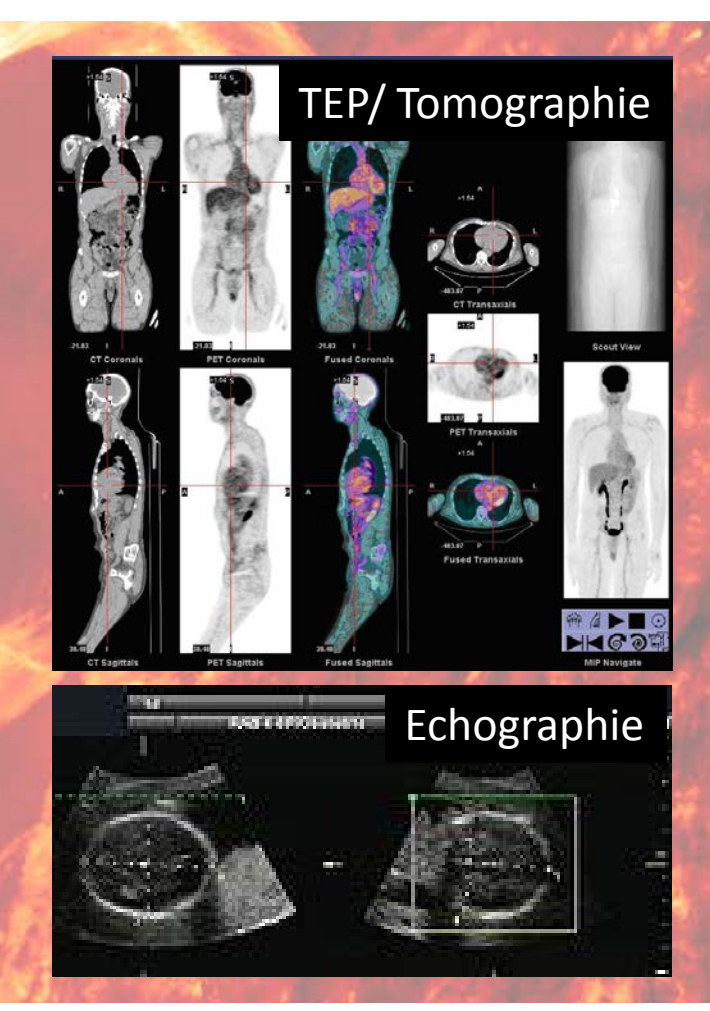
Obtenir un diagnostic complet



Scintigraphie γ



Scanographie



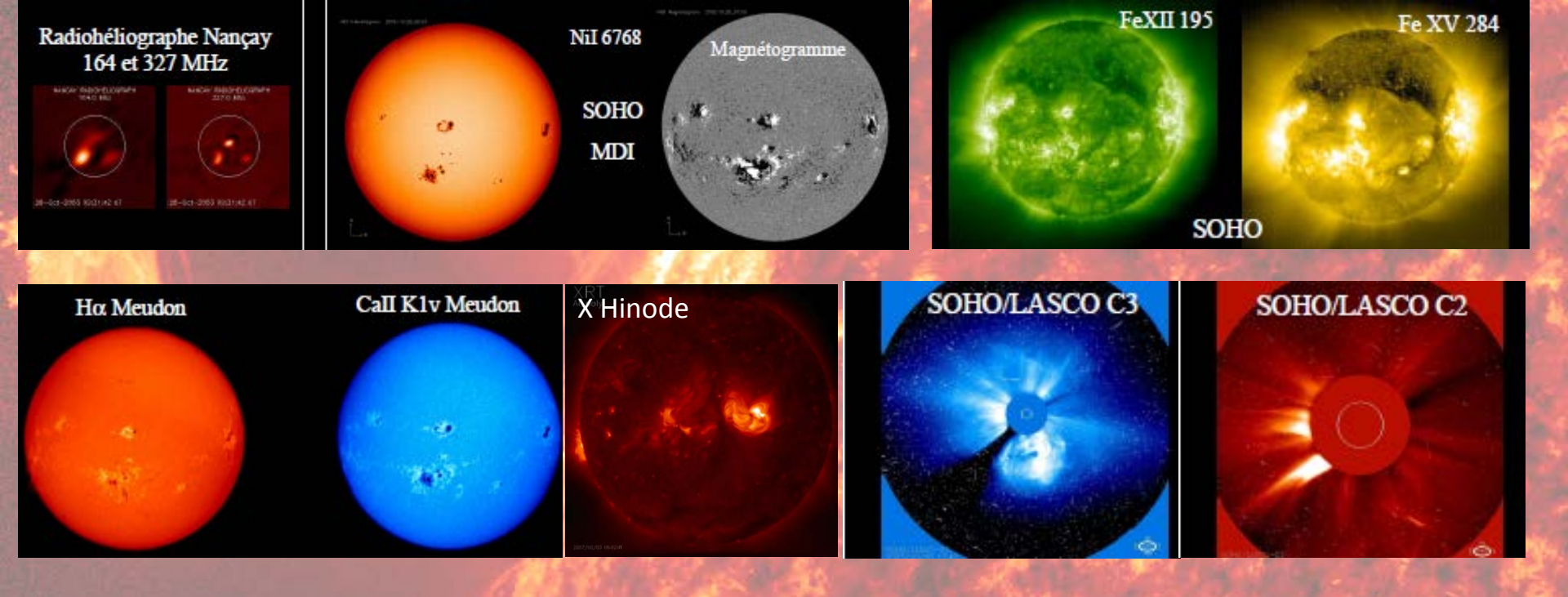
... sans "toucher" l'objet d'étude



Radiographie X

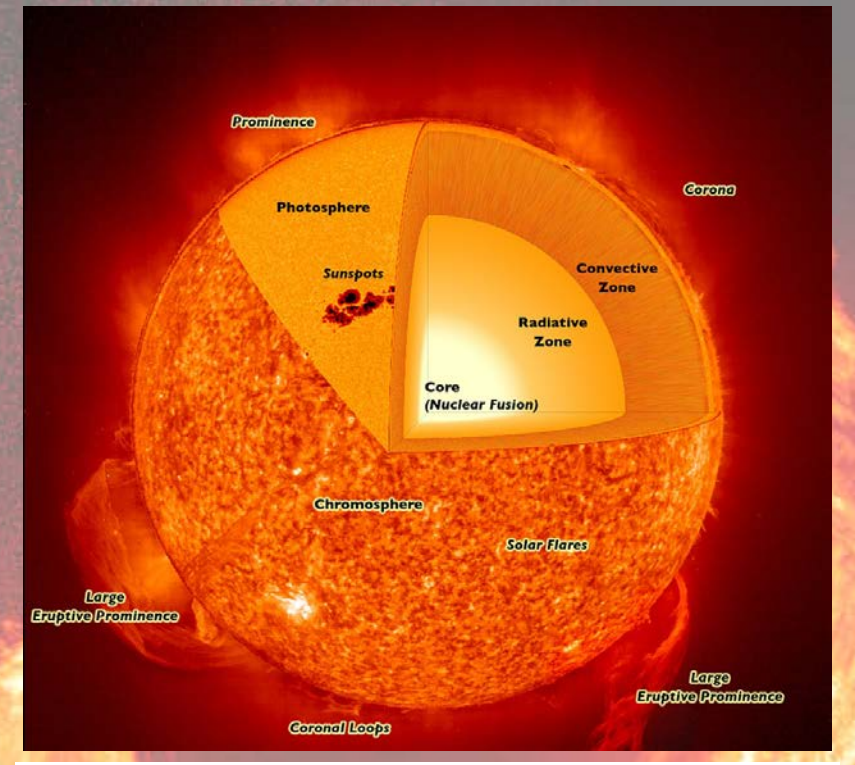


Obtenir un diagnostic complet



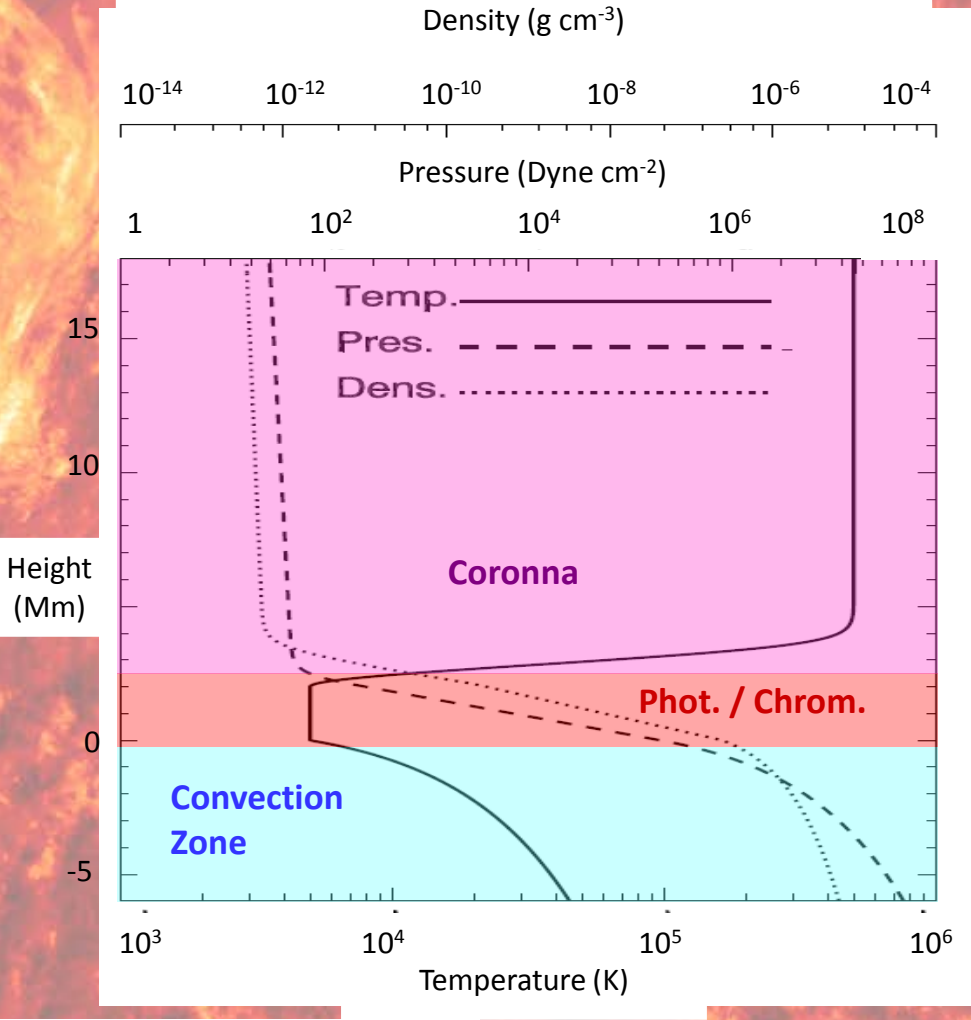
... sans "toucher" l'objet d'étude

E.Pariat - 17 Janvier 2015 - SAL, Lyon



	T (K)	$n \text{ (m}^{-3})$	P (Pa)
Intérieur $(z \approx -10 \text{ Mm})$	7×10^4	6×10^{26}	7×10^8
Photosphère $(z=0)$	5800	9×10^{22}	7×10^3
Chromosphère $(z = 2 \text{ Mm})$	10^{4}	5×10^{16}	2×10^{-2}
Couronne $(z \approx 50 \text{ Mm})$	2×10^6	2×10^{14}	2×10^{-3}
Atmo. Terre	300	10 ²⁵	10 ⁵

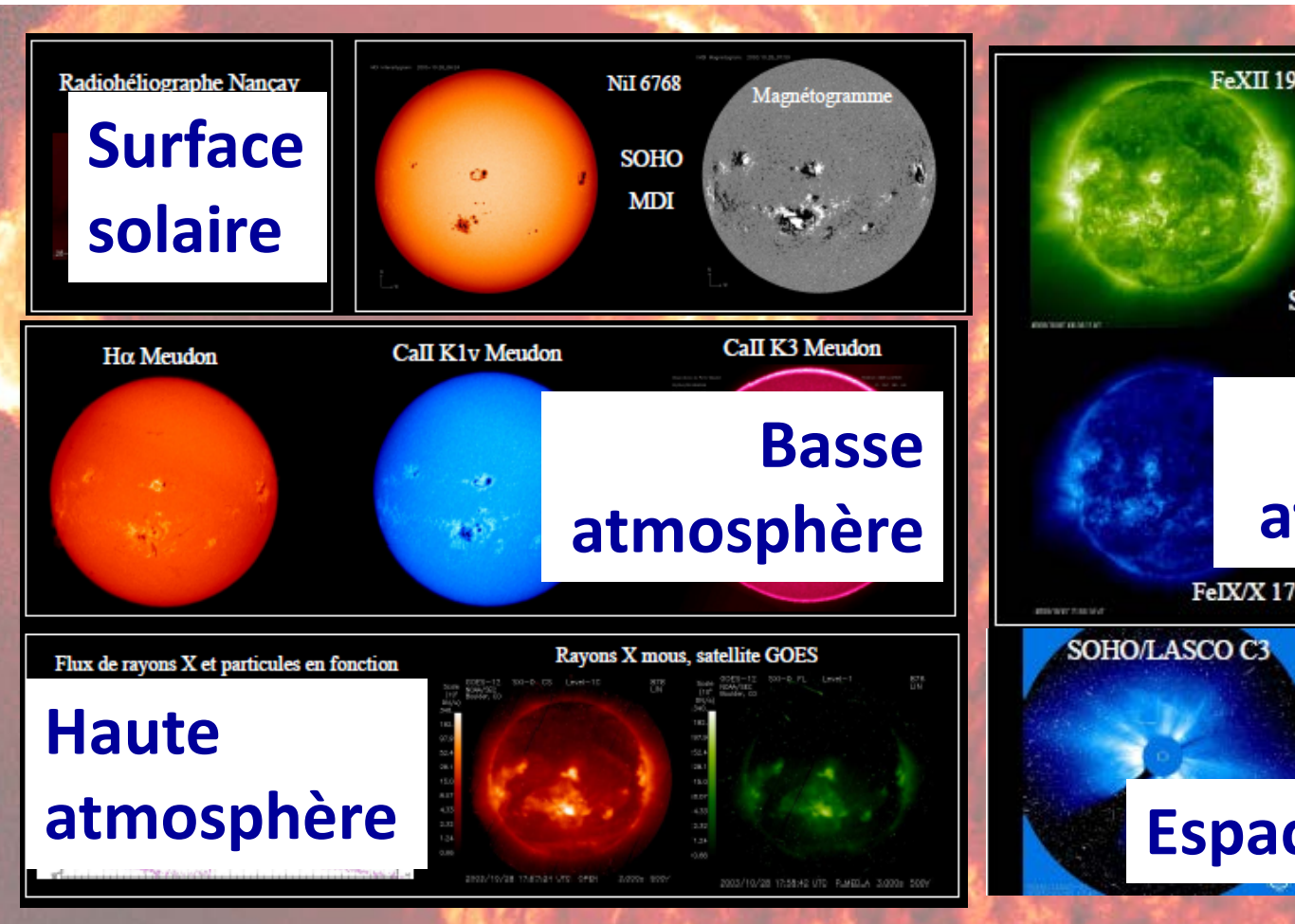
L'atmosphere Solaire

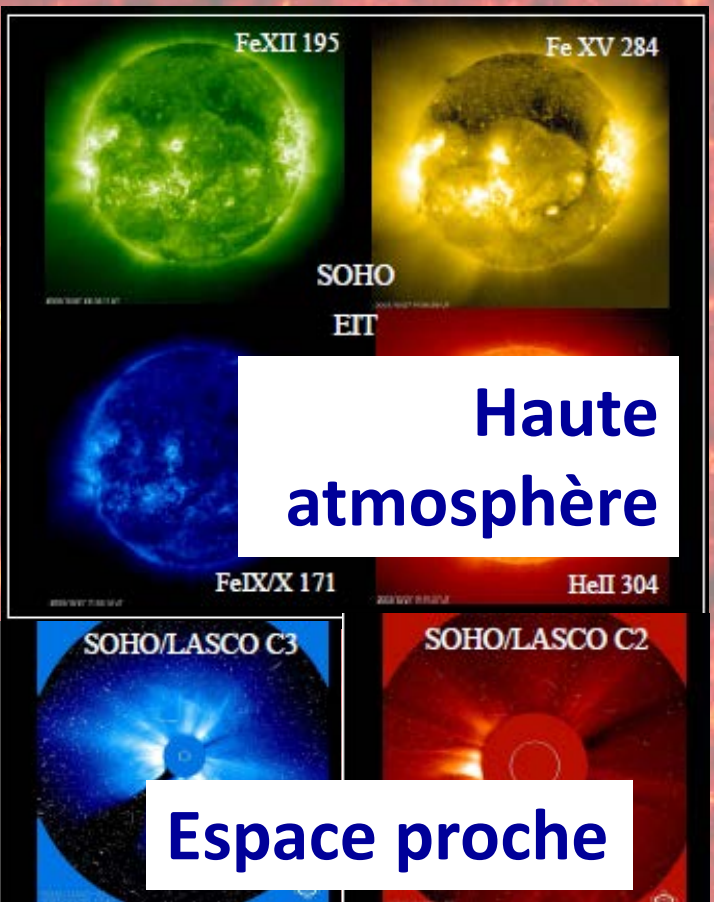


• Couronne Solaire = milieu très 子为avd 会 très ténu

Les observations solaires

"une fréquence lumineuse = une température = une couche de l'atmosphère"





E.Pariat - 17 Janvier 2015 - SAL, Lyon

Solar Dynamic Observatory

- SDO: Satellites NASA lancé en 2010
- 100 millionièmes images: 19 Jan 15 17h49 07s UT!
- Accès données: JHelioviewer

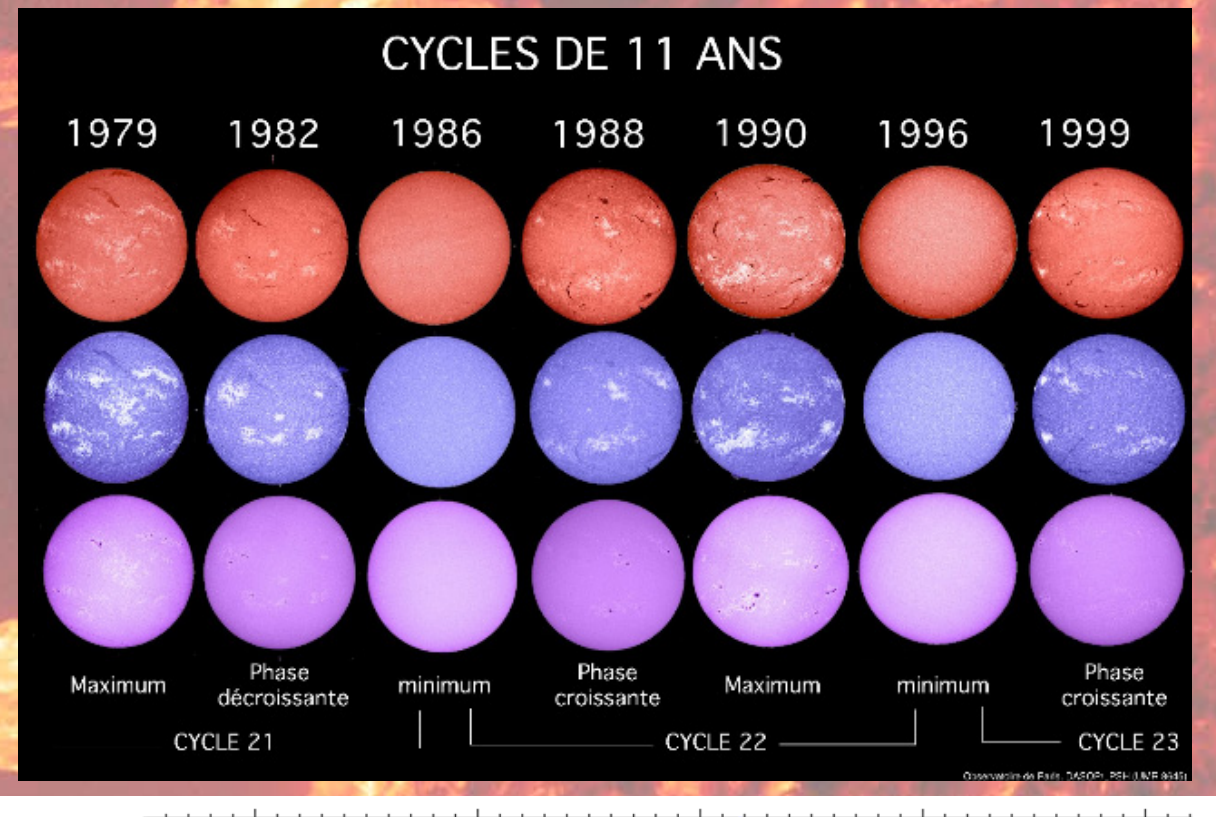


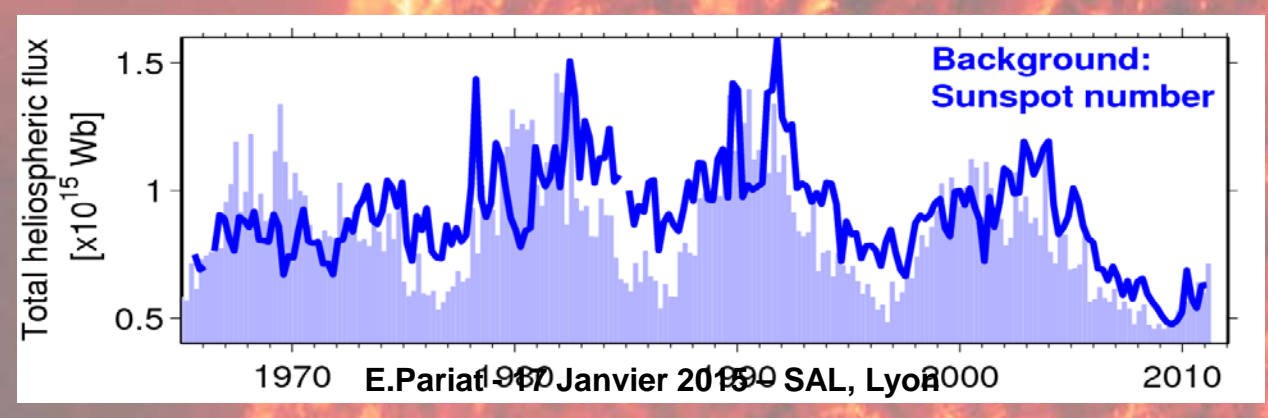


E.Pariat - 17 Janvier 2015 - SAL, Lyon

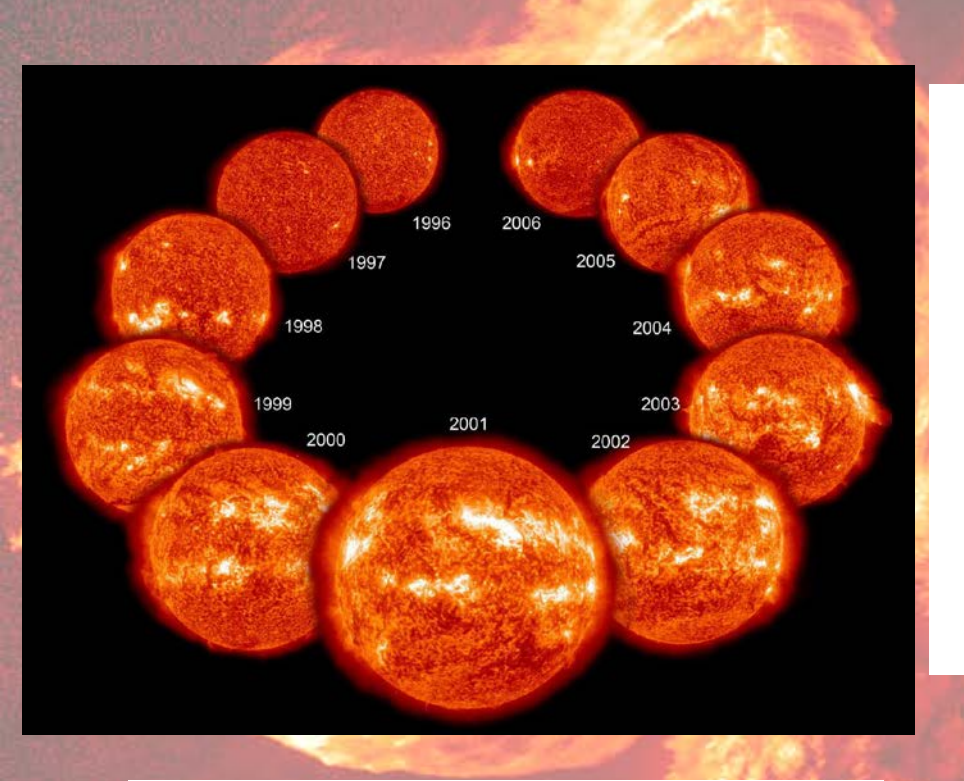


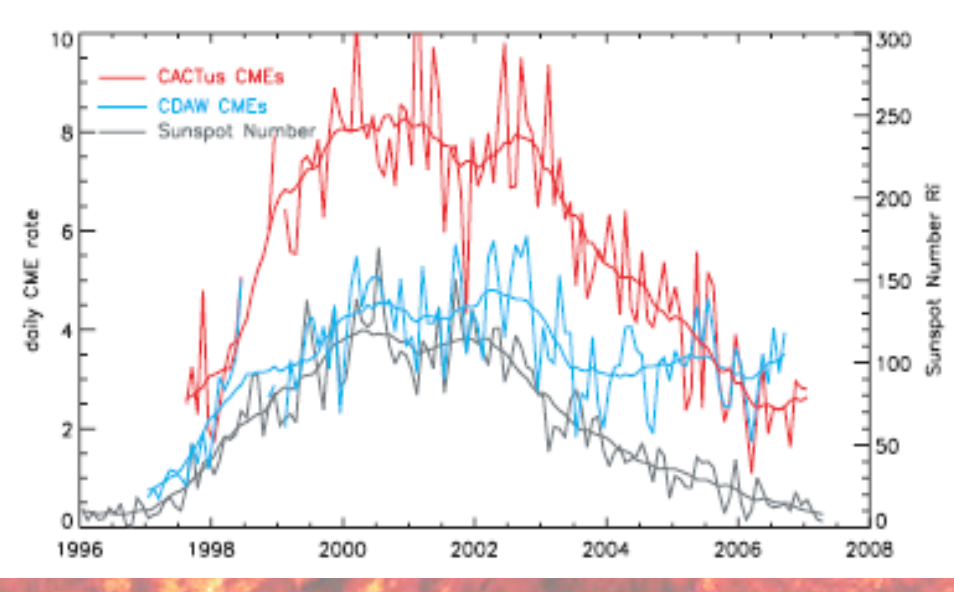
Le cycle de 11 ans de l'activité solaire





Le cycle solaire





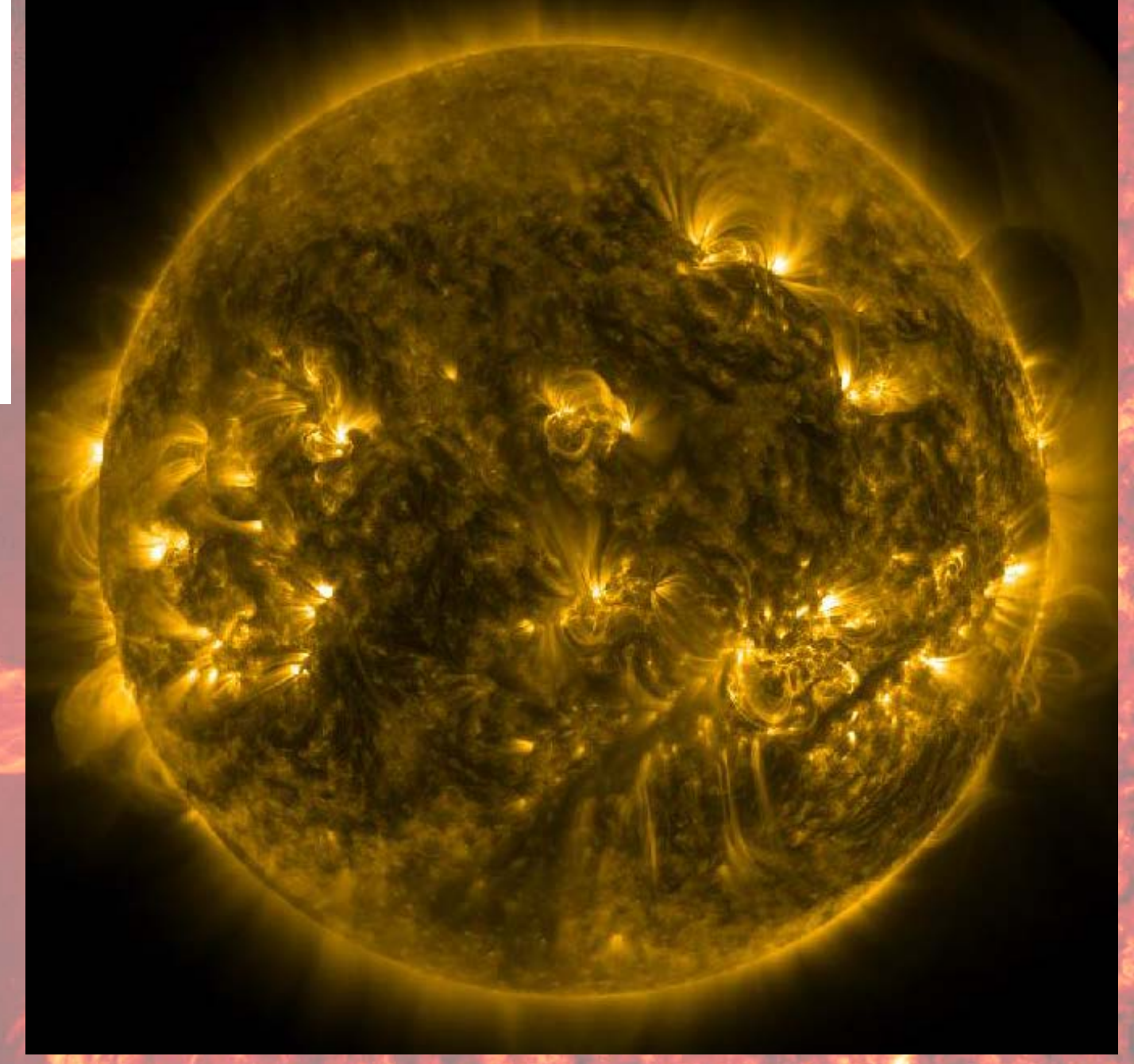
- Minimum
 - Peu de taches solaires

- Maximum
 - Nombreuses taches à la surface solaire

Les taches solaires



Les taches solaires



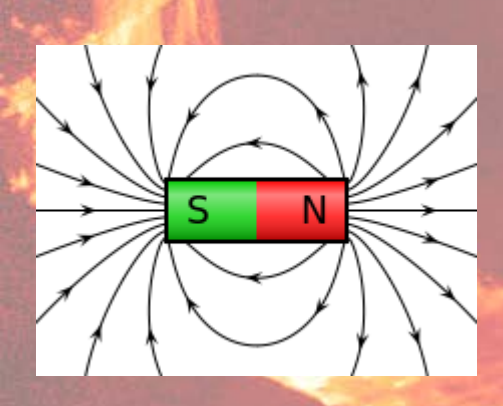
E.Pariat - 17 Janvier 2015 - SAL, Lyon

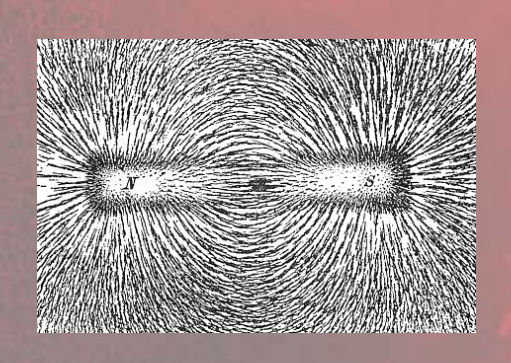
Les taches solaires

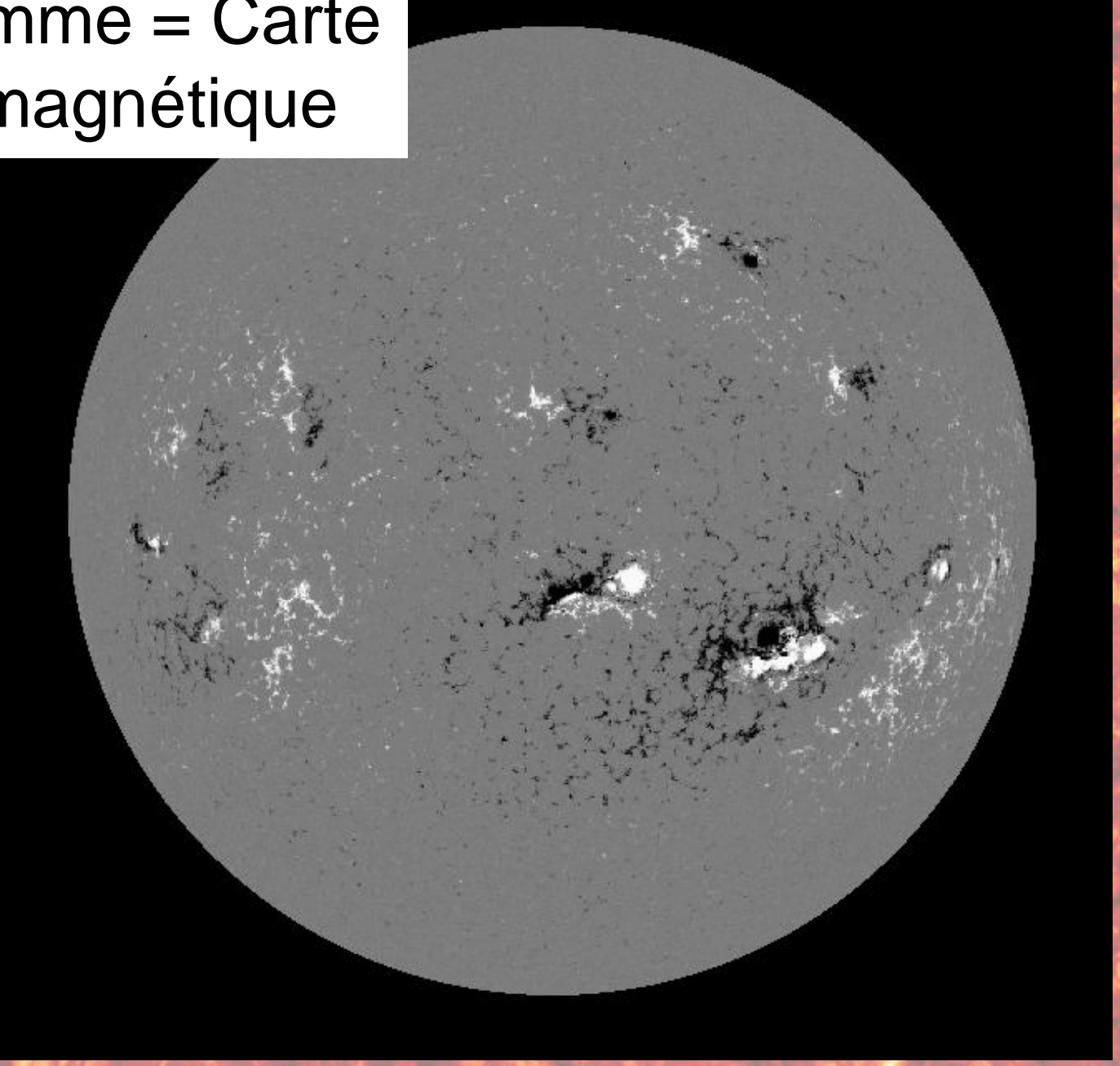


Magnétogramme = Carte du champ magnétique

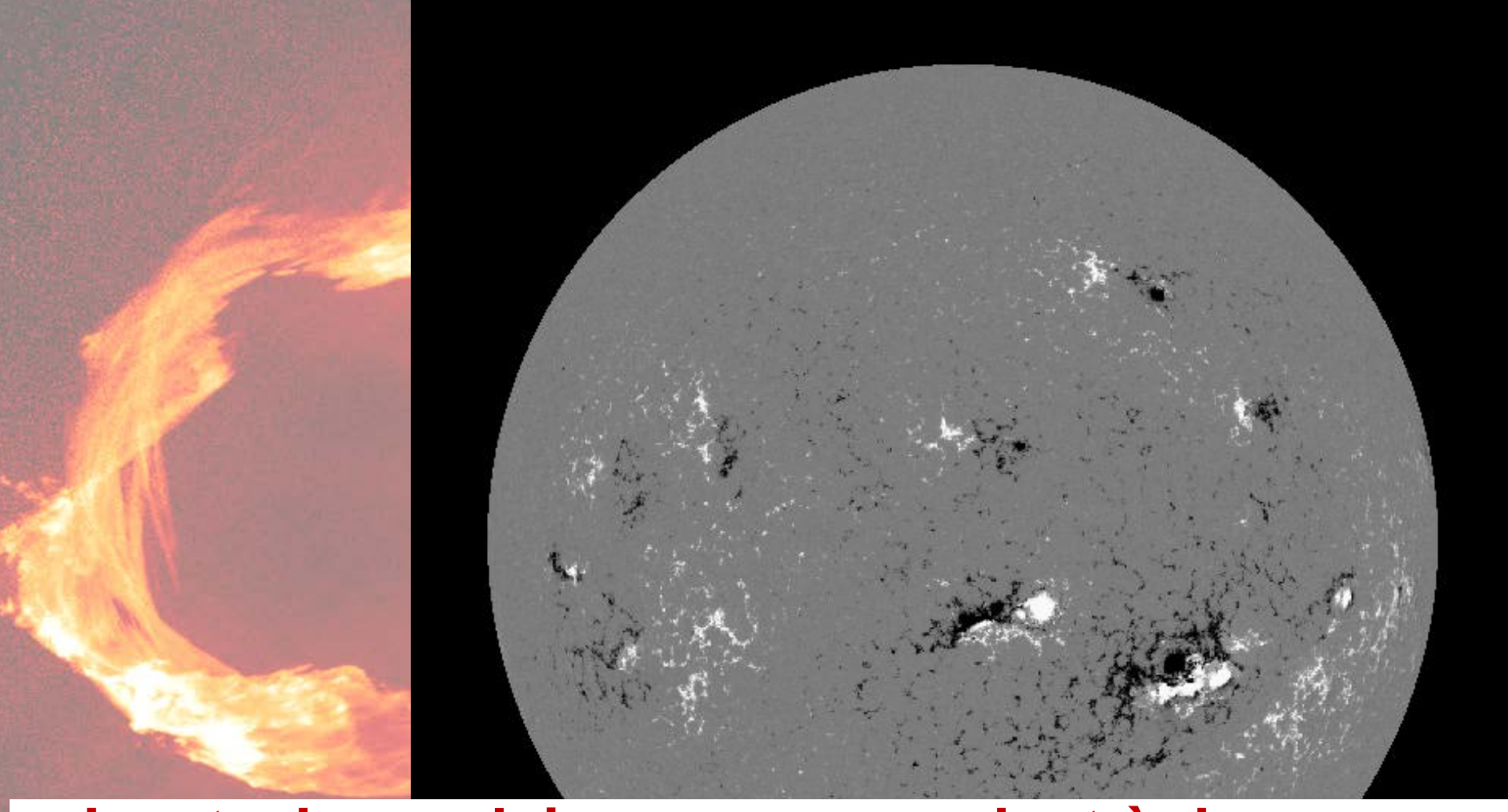
- Blanc: pôle
 Sud / positif
- Noir : pôle
 Nord négatif







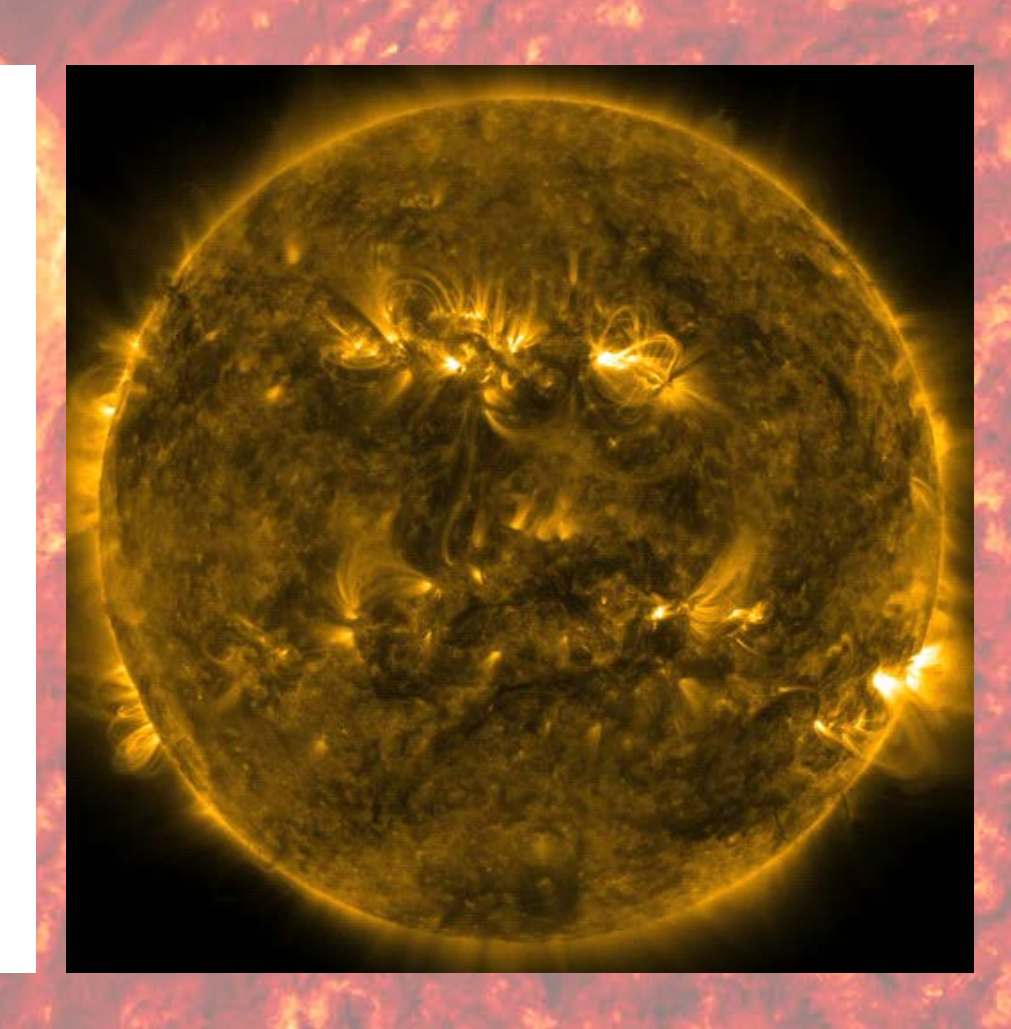
E.Pariat - 17 Janvier 2015 - SAL, Lyon

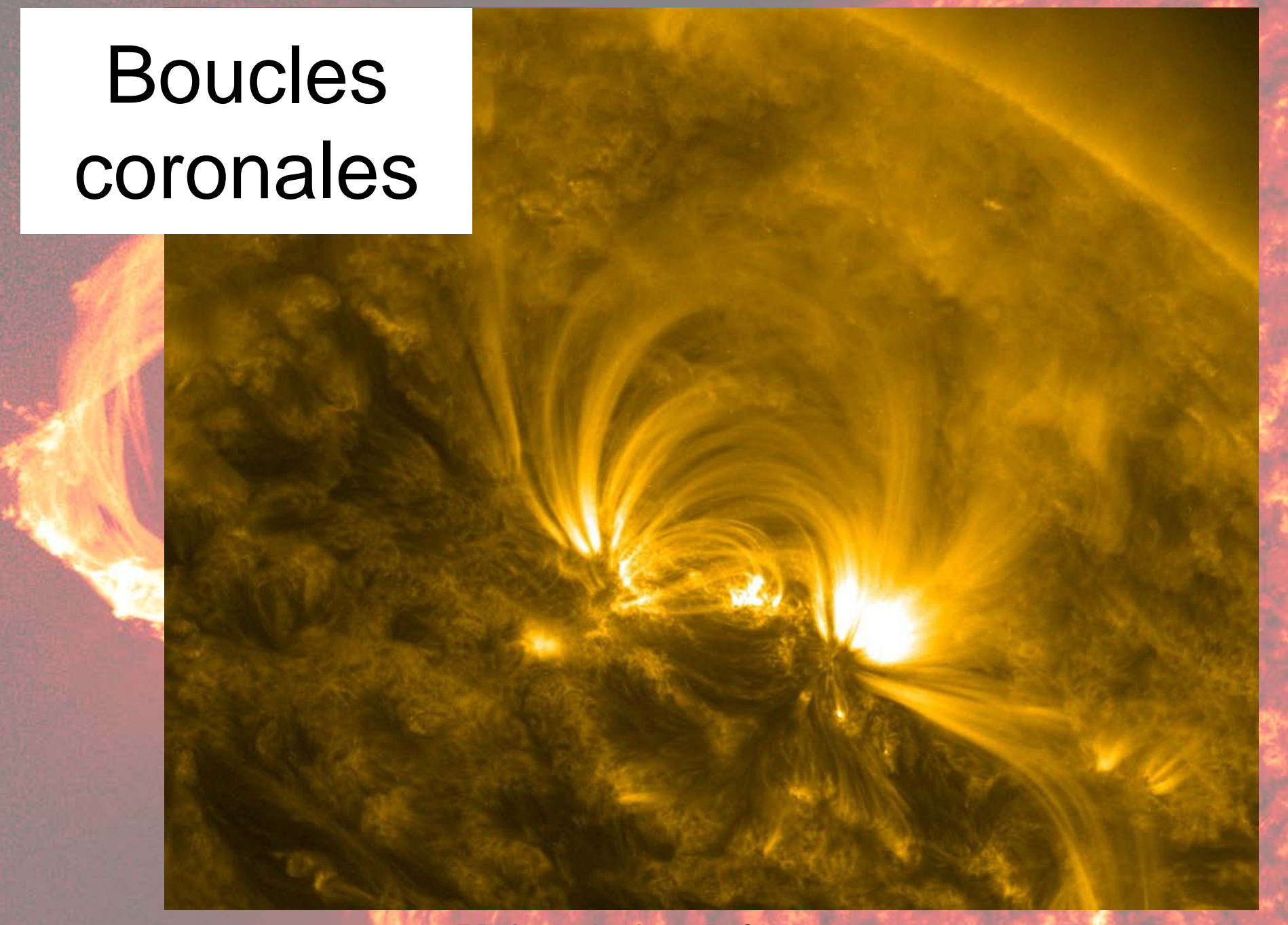


- Les taches solaires correspondent à des concentrations de champ magnétique
 - Hale 1908
 - Toujours au moins 2 taches de polarité magnétique opposé

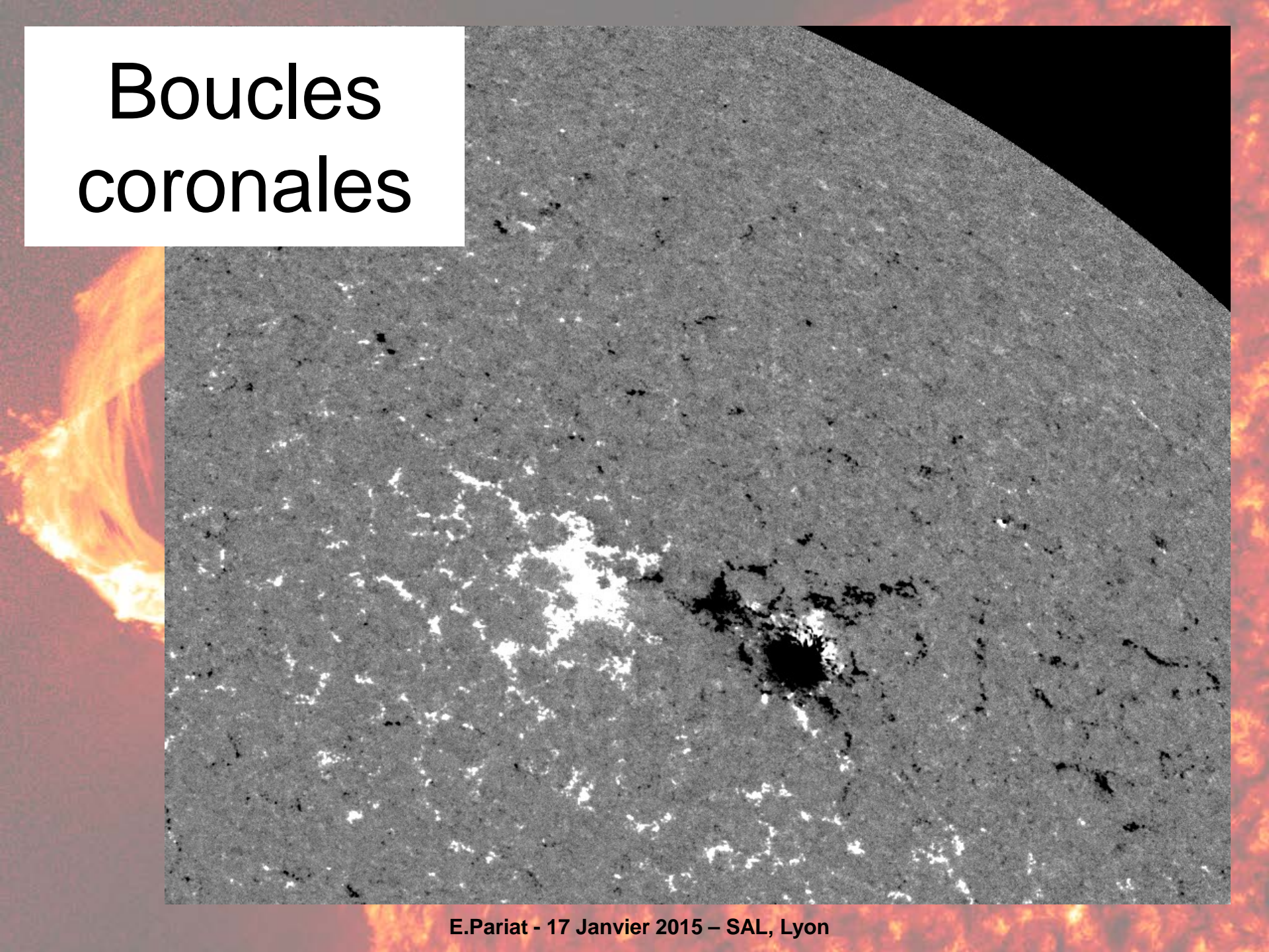
Le champ magnétique solaire

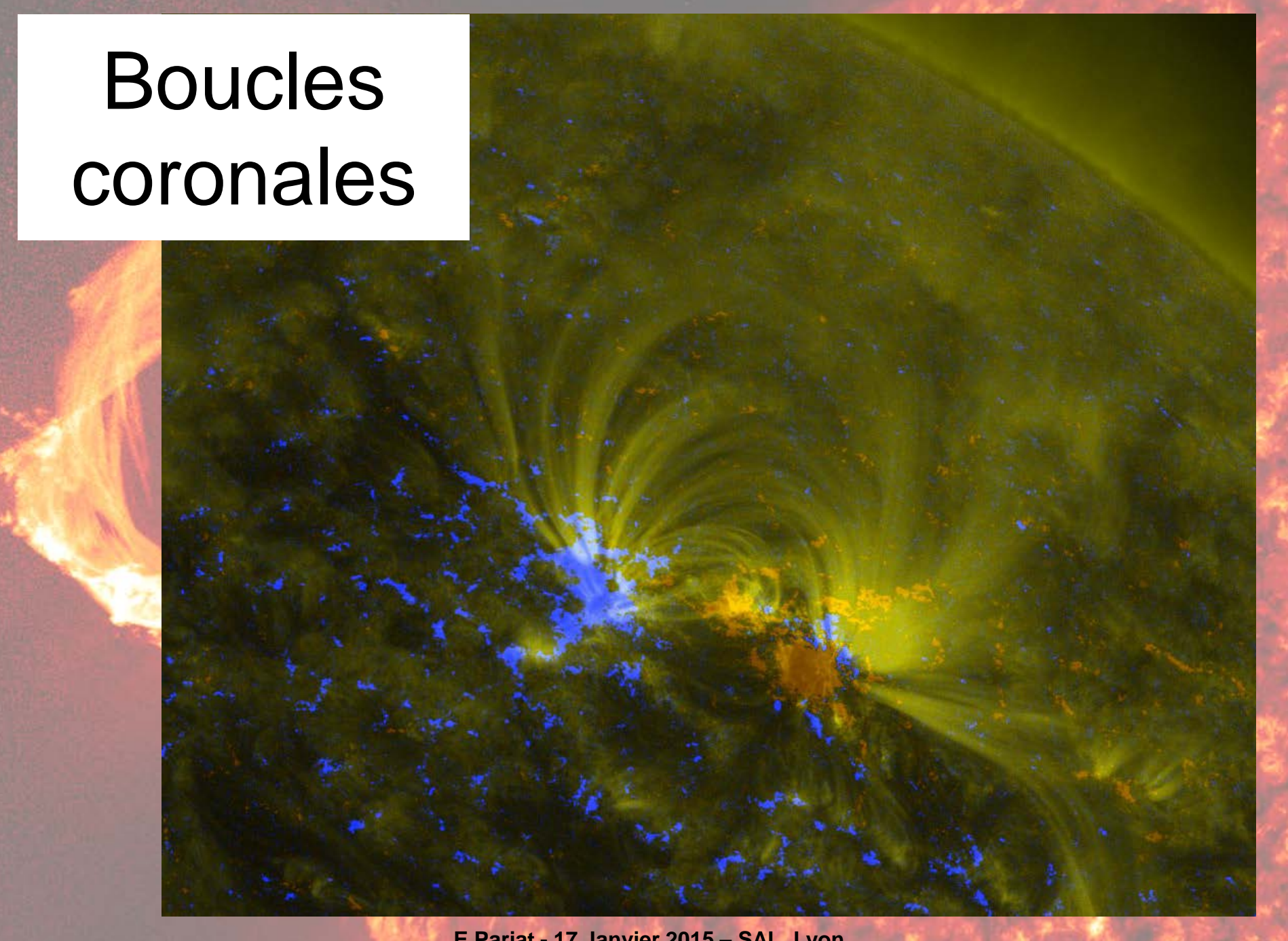
- Régions actives = concentration magnétique intense.
 - Intensité champ magnétique centre tâches solaires ~ 0.1T
 - Champ mag. Terre: 5x10⁻⁵ T
 - Aimant frigo: 0.01 T
 - Instrument RMN: qqs 10 T
 - Taille région active: 10⁸ m
 - Flux Magnétique: 10¹⁵ Wb!!!
 - Aimant Frigo: 10⁻⁵ Wb
 - Champ mag. Terre: 10¹⁰ Wb



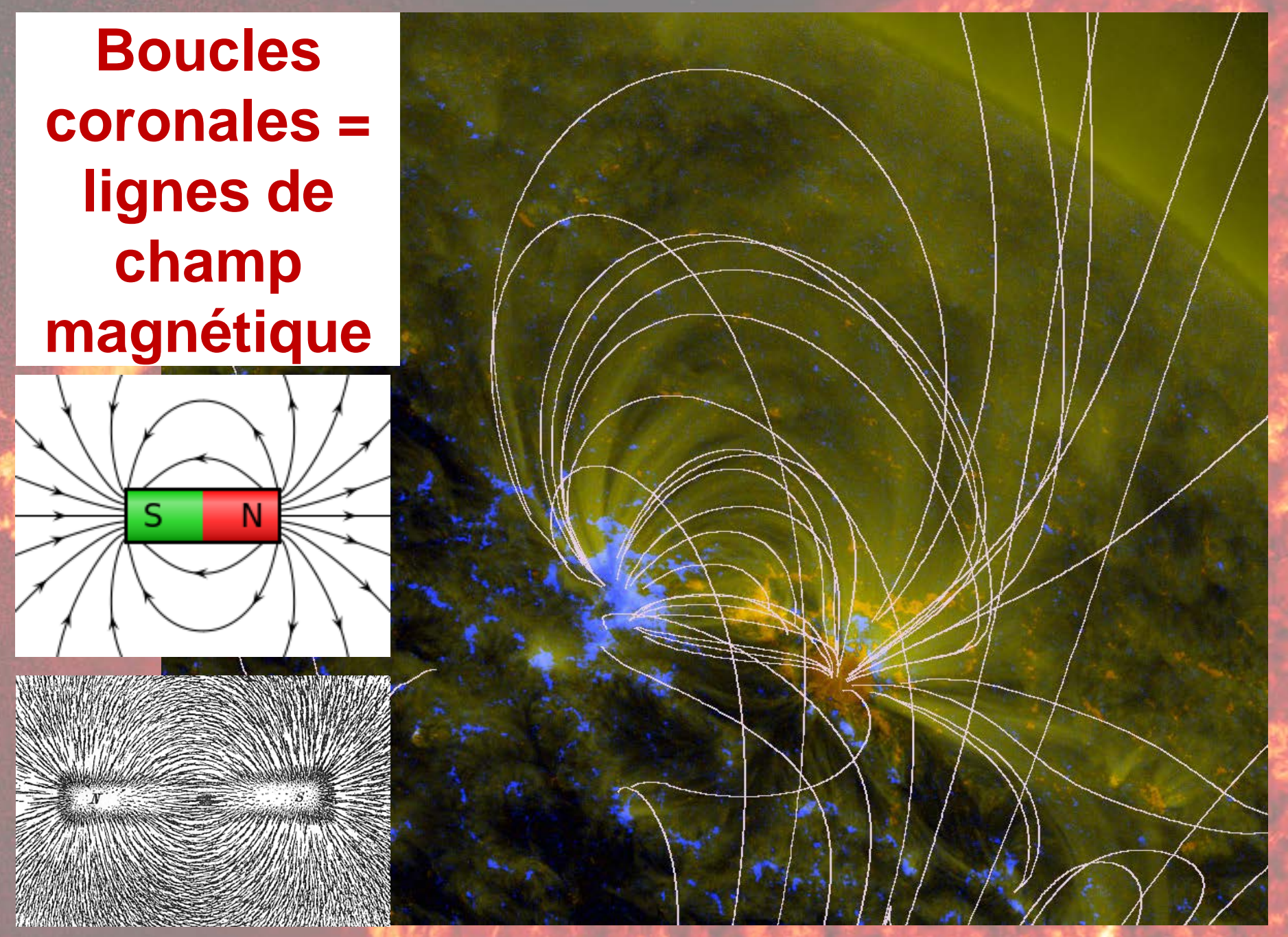


E.Pariat - 17 Janvier 2015 - SAL, Lyon





E.Pariat - 17 Janvier 2015 - SAL, Lyon



E.Pariat - 17 Janvier 2015 - SAL, Lyon

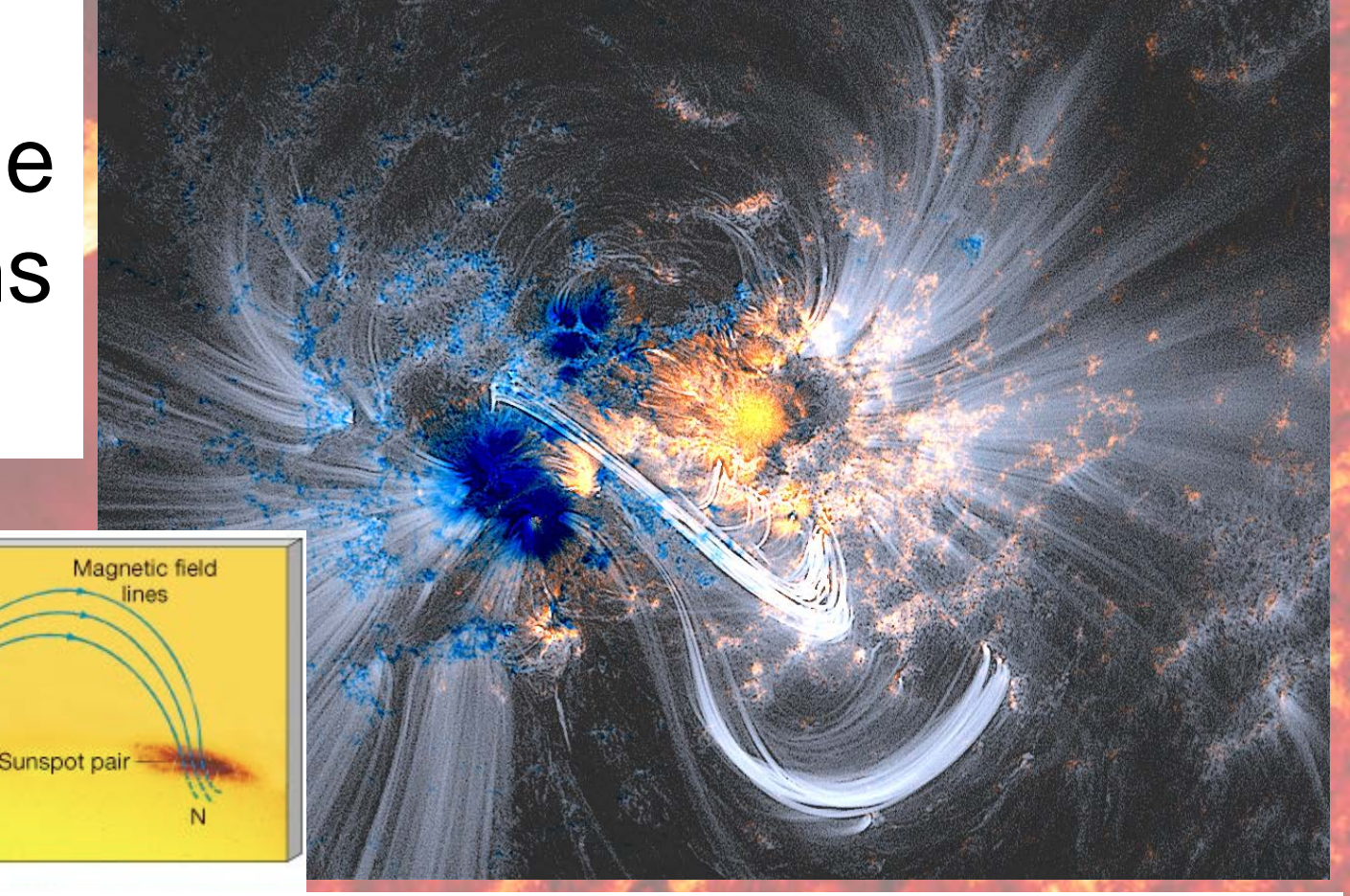
Structure magnétique des régions actives

North pole

South pole

Magnetic field lines

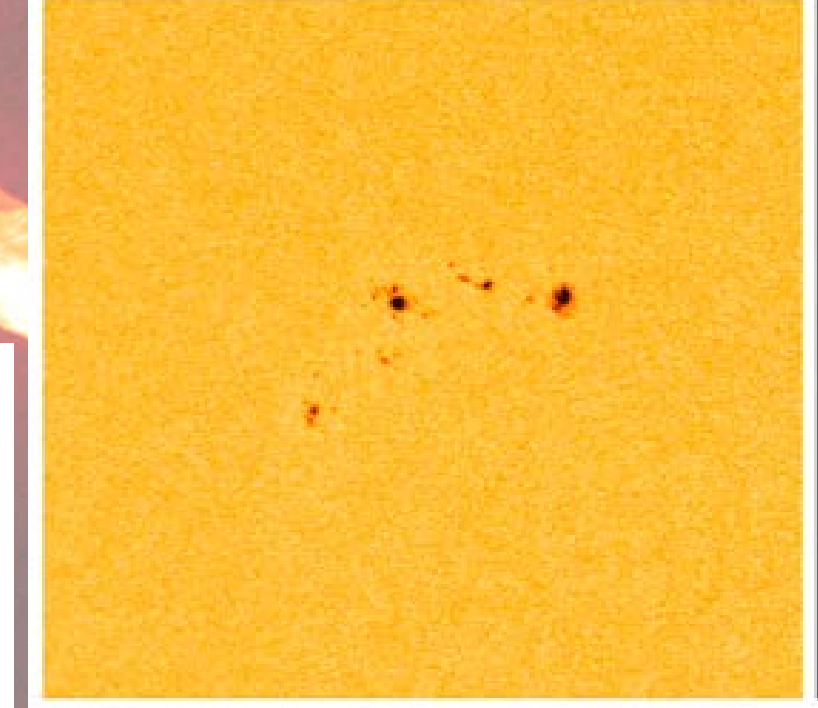
Solar rotation

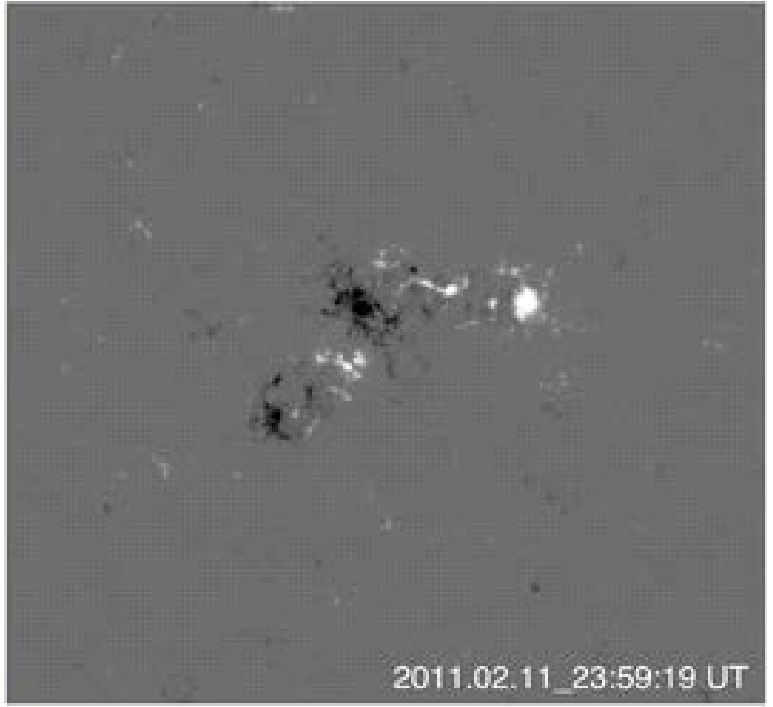


- Les taches solaires sont à l'intersection de « tubes de flux magnétiques » avec la surface solaire
 - Présence de champ mag. → réduit la conduction de chaleur → zone plus froide → émettent moins de lumière → apparaissent sombre
- Les bouclent coronales marquent les lignes de champ magnétiques

Accumulation de l'énergie

- L'énergie magnétique est la principale source d'énergie des évènements majeurs: E_{mag} = 10²⁷ J > E_{éruption}
- Le champ magnétique n'est pas crée dans l'atmosphère
- Champ et énergie magnétique proviennent de l'intérieur solaire et sont apportés via "l'émergence de flux magnétique"





Surface solaire (lumière visible) + Champ magnétique

Accumulation de l'énergie

• Champ et énergie magnétique proviennent de l'intérieur solaire et sont apportés via "l'émergence de flux magnétique"



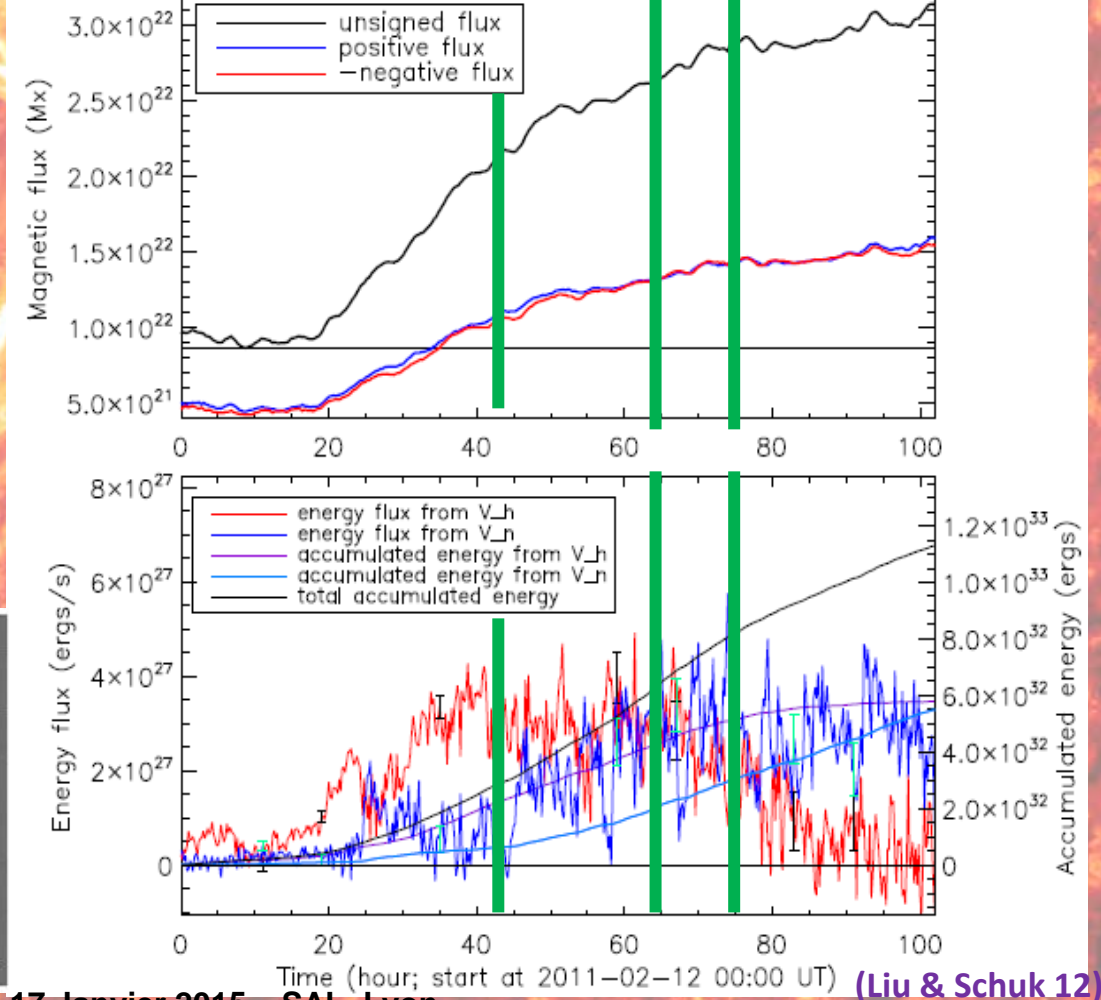
Courtesy NASA SVS

E.Pariat - 17 Janvier 2015 - SAL, Lyon

Accumulation de l'énergie

Eruptions importantes

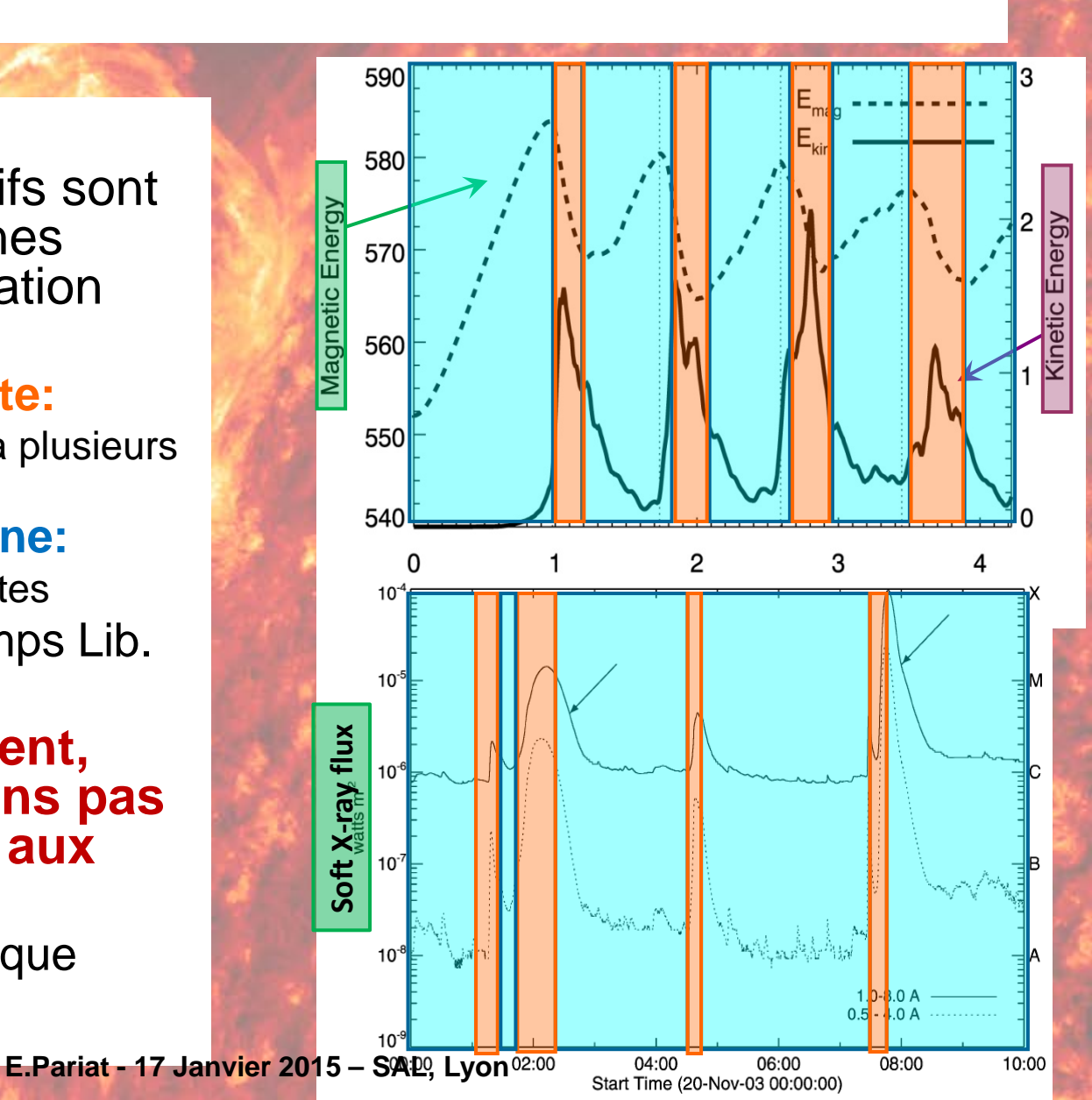
- Avant et durant une éruption solaire il n'y a pas de variation brusque à la surface solaire
 - Mouvements
 - Flux magnétique
 - Energie magnétique
- → Le mécanisme déclenchant l'éruption n'est pas liés aux processus d'accumulation d'énergie



E.Pariat - 17 Janvier 2015 - SAL, Lyon

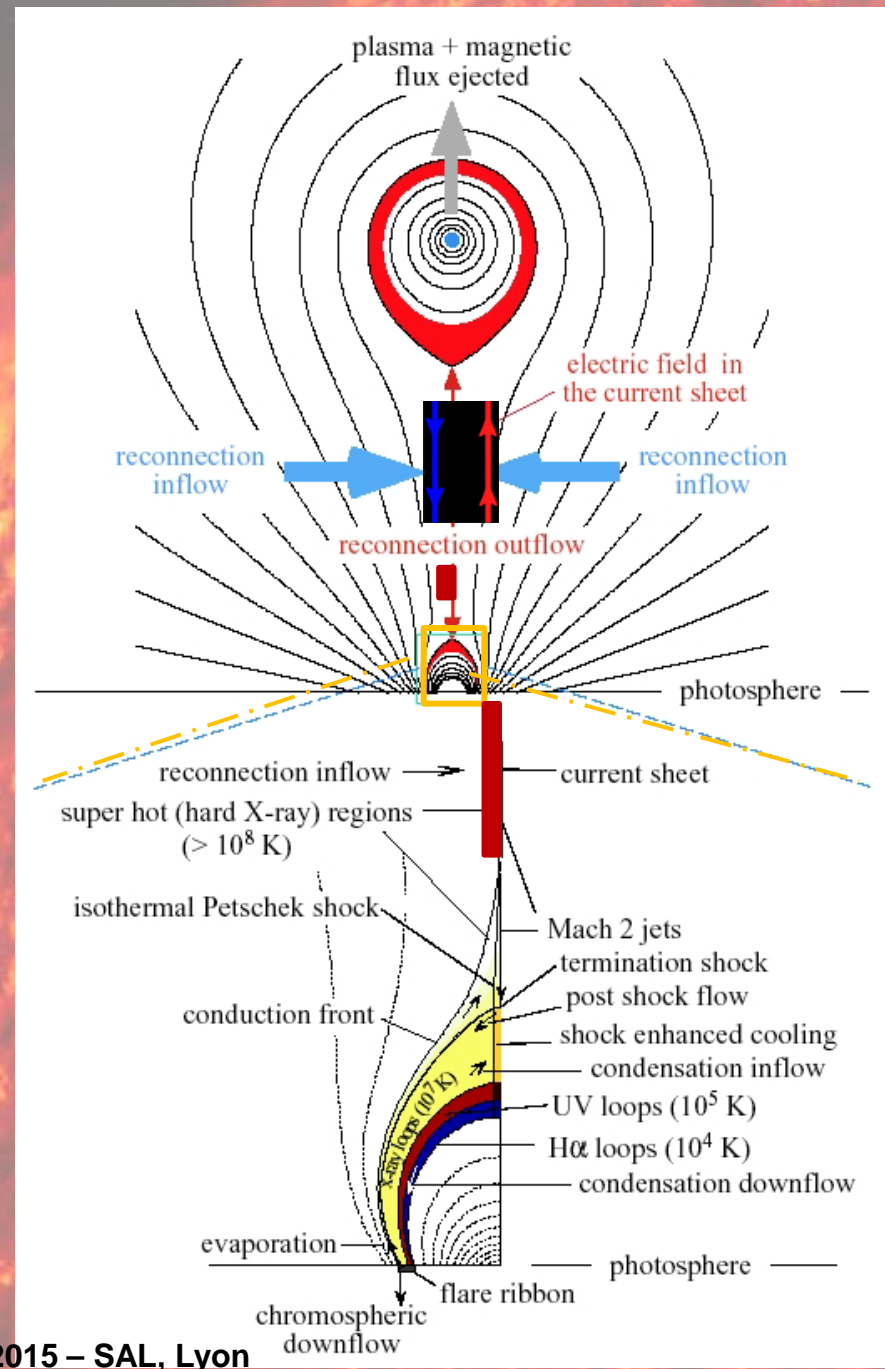
"Eruptivité"

- Les événements actifs sont liés à des phénomènes d'accumulation-libération d'énergie avec:
 - Accumulation lente:
 - plusieurs heures à plusieurs jours
 - Libération soudaine:
 - en quelques minutes
 - Temps Acc. >> Temps Lib.
- Observationnellement, nous ne connaissons pas de « précurseurs » aux éruptions.
 - → Approche théorique



Le modèle standard des éruptions

- Un modèle standard des éruptions solaire a été développé afin d'expliquer une part importante des phénomènes observés lors des éruptions solaires
 - embrillancements
 - dynamique de la matière
- Capacité prédictive
- Question centrale: comment se déclenchent les éruptions



Au cœur des éruptions: la reconnexion magnétique

131 Å | 04:15:09 UT

- La reconnexion magnétique est le mécanisme central des éruptions.
- La reconnexion magnétique correspond à un "couper-coller" des lignes des champs magnétique

131 Å | 04:10:09 UT

X (arcsec)

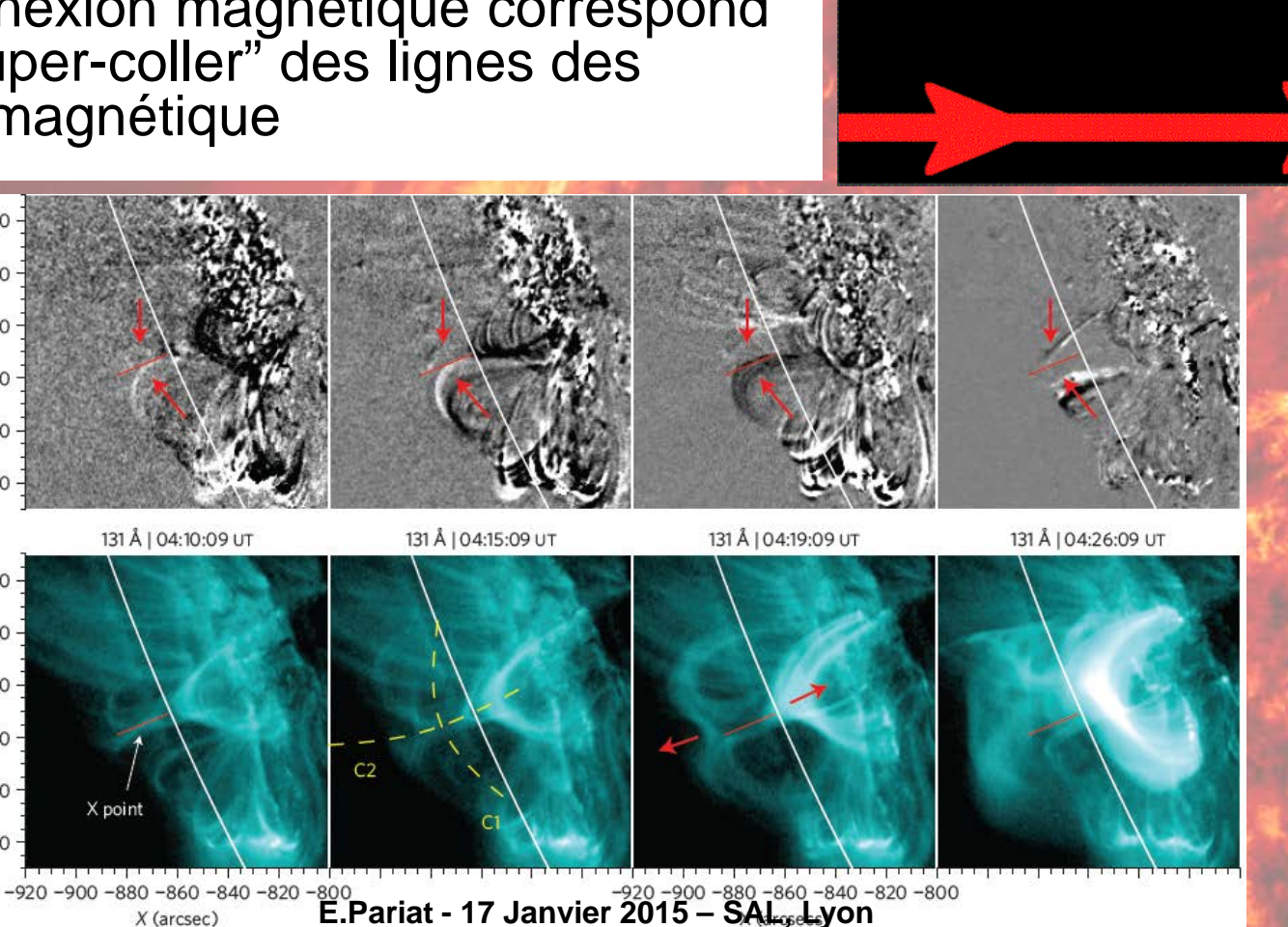
-380

-420

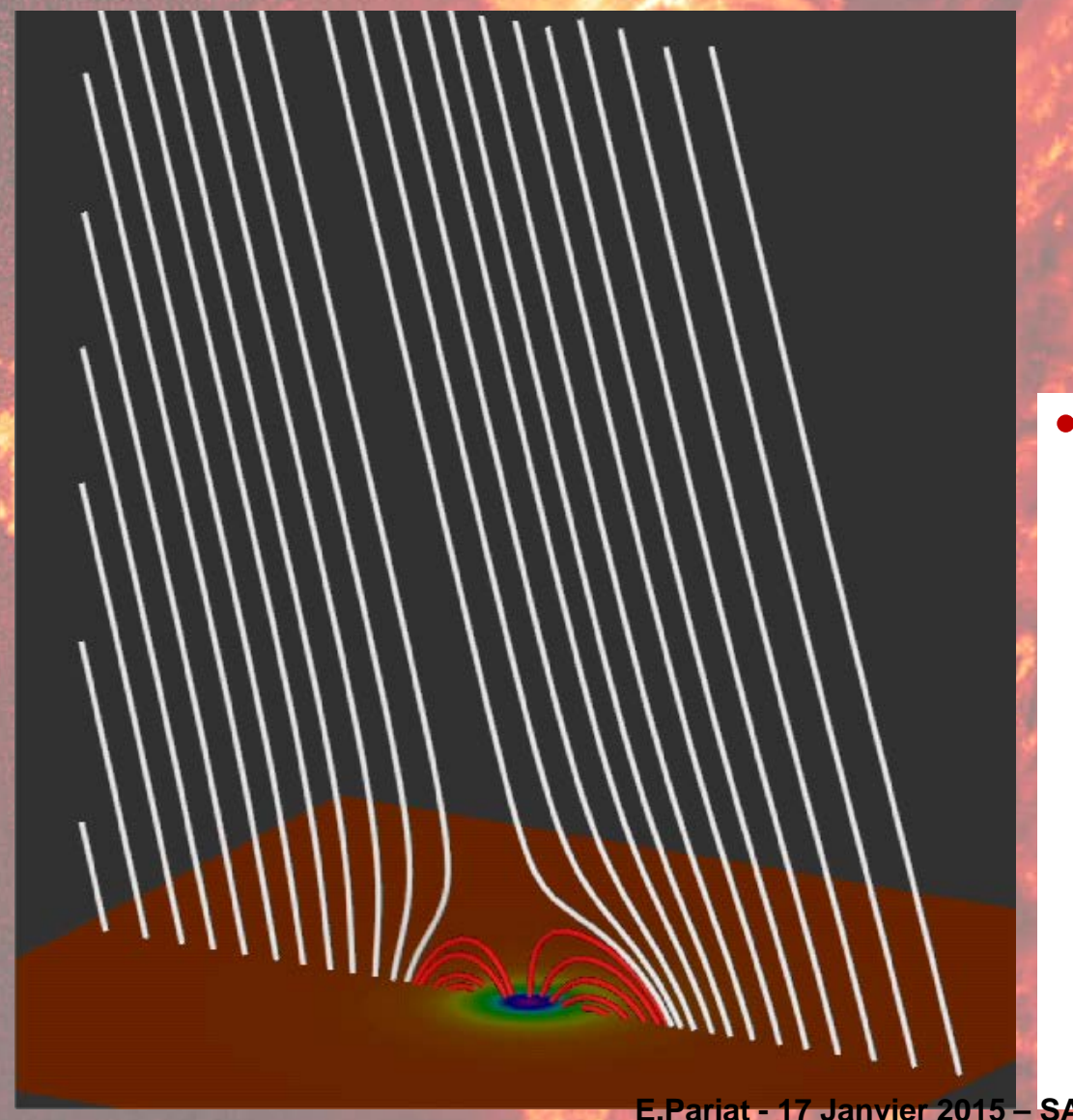
-340

-360

-420



Au cœur des éruptions: la reconnexion magnétique



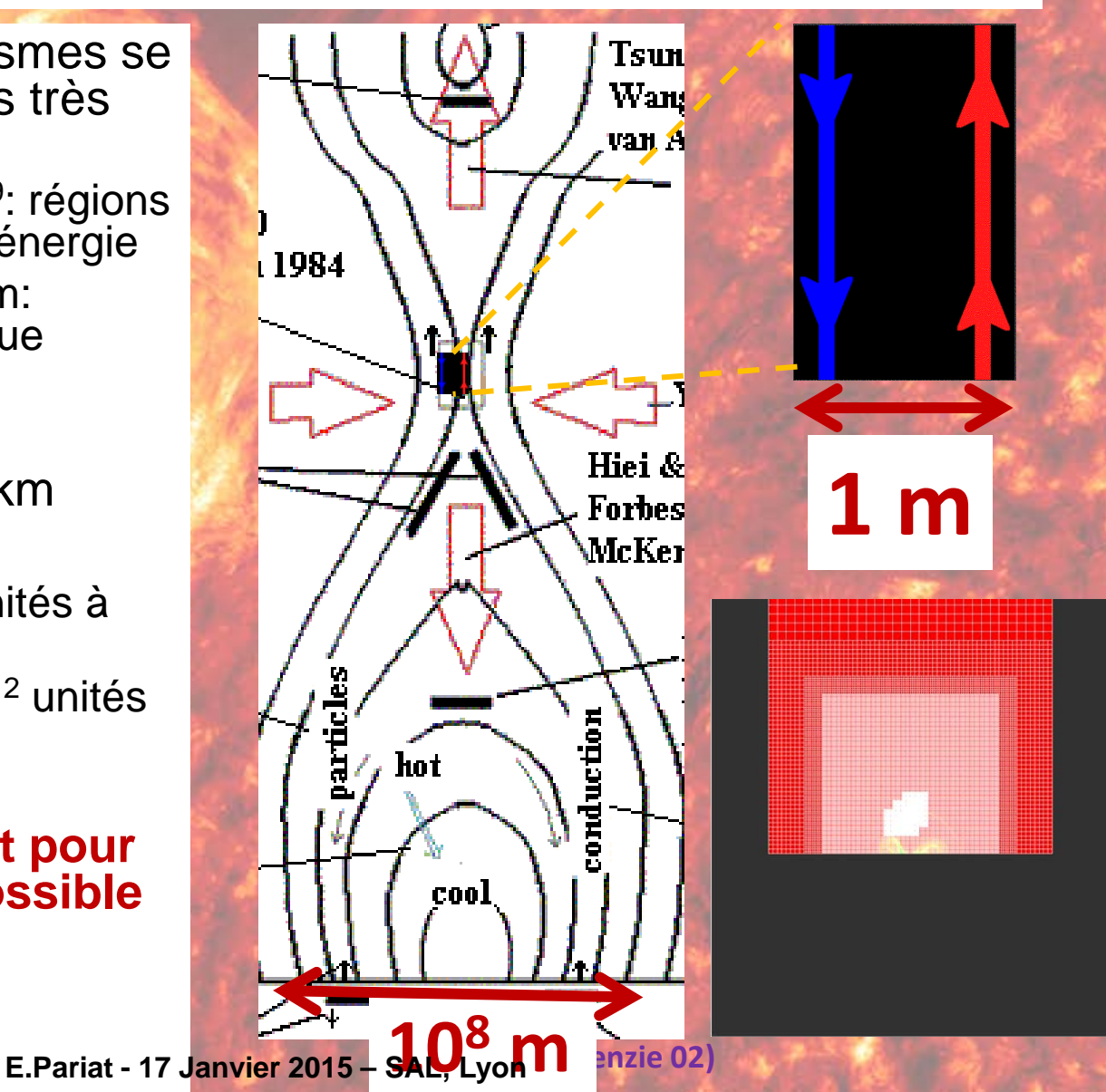


- Une reconfiguration globale du champ magnétique
- La transformation de l'énergie magnétique en d'autres forme d'énergies
 - Chauffage
 - Cinétique: particules et **CMFs**
 - Rayonnement électromagnétique

E.Pariat - 17 Janvier 2015 - SAL, Lyon

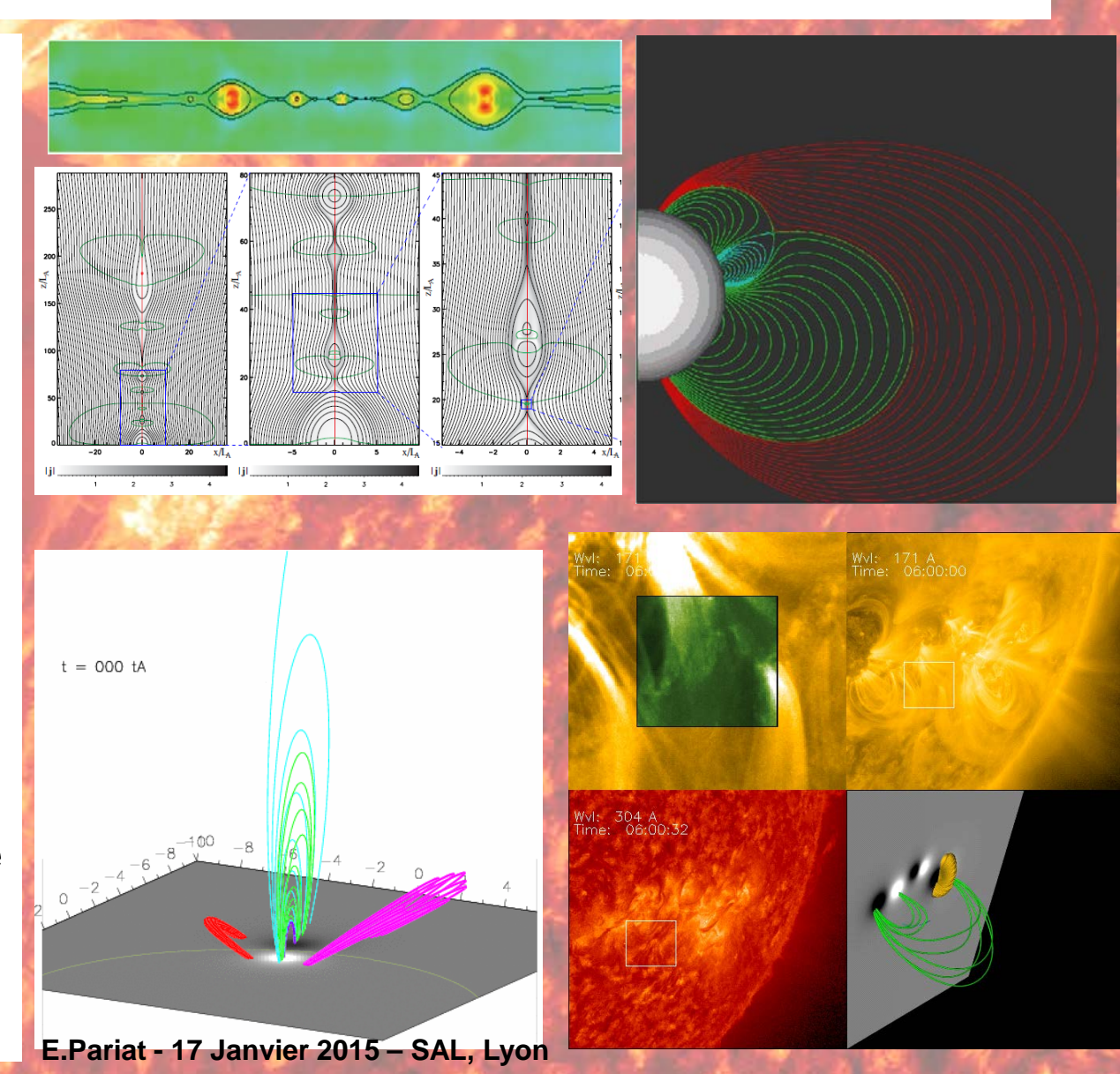
Le problèmes des échelles

- Couplage entre mécanismes se déroulant à des échelles très différentes
 - Grande tailles, 10⁷-10⁹: régions actives, stockage de l'énergie
 - Petites tailles, 0.1-10 m: reconnexion magnétique
- Observations: meilleure résolution actuelle ~50 km
- Simulation numériques:
 - Nécessaire:~10³⁰⁻³⁸ unités à traiter
 - Capacité actuelle:~10¹² unités traitées
- → Il est aujourd'hui (et pour quelques temps) impossible de traiter le problème complet.



Une jungle de modèle

- Modélisation depuis les petites échelles
 - Traitement correct de la reconnexion magnétique
 - Conditions initiales non réalistes
 - Comparaison limités avec observations
- Modélisation depuis les grandes échelles
 - Auto-consistant
 - Capacité prédictive
 - Reconnexion: physiquement irréaliste.



Prédiction des éruptions

- Nous ne connaissons pas (encore) de condition nécessaire au déclanchement des éruptions
- Predictions sont uniquement basés sur des conditions suffisantes
 - Liés au stockage de l'énergie
- Un critère seul ne donne pas de bonnes prédictions
 - Combinaison de plusieurs critères améliore les prédictions

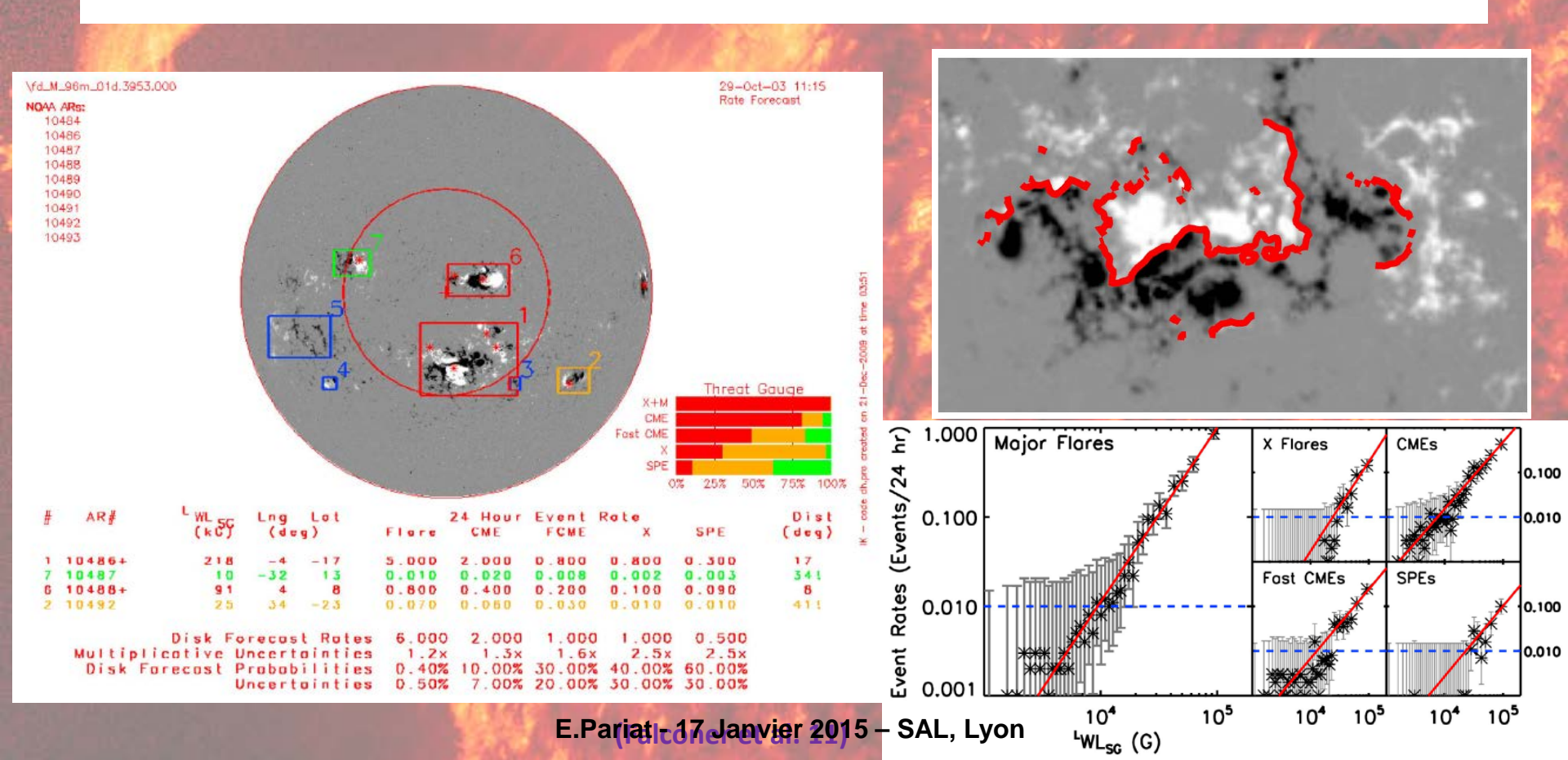
SUCCESS RATES AND SKILL SCORES FOR THE SAMPLE PARAMETERS

Parameter	Success Rate	Heidke Skill Score	Climatological Skill Score
No Flare	0.908	0.000	0.000
Φ _{tot}	0.922	0.153	0.197
E_e	0.916	0.081	0.231
R	0.922	0.144	0.242
$B_{ m eff}$	0.913	0.072	0.220

	TABLE 1	
Parameters Used	IN THE DISCRIMINANT ANALYSIS	
Description	Formula	Variable
Atr	mospheric Seeing	
Median of the granulation contrast	$s = \operatorname{median}(\Delta I)$	s
Distributi	ion of Magnetic Fields	
Moments of vertical magnetic field	$B_z = \boldsymbol{B} \cdot \boldsymbol{e}_z$	$\mathcal{M}(B_z)$
Total unsigned flux	$\Phi_{ m tot} = \sum B_z dA$	$\Phi_{ m tot}$
Absolute value of the net flux	$ \Phi_{\rm net} = \sum B_z dA $	$ \Phi_{ m net} $
Moments of horizontal magnetic field	$B_h = \left(B_x^2 + B_y^2\right)^{1/2}$	$\mathcal{M}(B_h)$
Distribution	on of Inclination Angle	
Moments of inclination angle	$\gamma = \tan^{-1}(B_z/B_h)$	$\mathcal{M}(\gamma)$
Distribution of the Magnitude of t	the Horizontal Gradients of the Magnetic Fields	
Moments of total field gradients	$ \nabla_h B = \left[(\partial B/\partial x)^2 + (\partial B/\partial y)^2 \right]^{1/2}$	$\mathcal{M}(\nabla_h B)$
Moments of vertical field gradients	$ \nabla_h B_z = \left[(\partial B_z / \partial x)^2 + (\partial B_z / \partial y)^2 \right]_{1/2}^{1/2}$	$\mathcal{M}(\nabla_h B_z)$
Moments of vertical field gradients	$ \nabla_h B_h = [(\partial B_h/\partial x)^2 + (\partial B_h/\partial y)^2]^{1/2}$	$\mathcal{M}(\nabla_h B_h)$
		3.1(· nDn)
	of Vertical Current Density	
Moments of vertical current density	$J_z = C(\partial B_y/\partial x - \partial B_x/\partial y)$	$\mathcal{M}(J_z)$
Total unsigned vertical current	$I_{\mathrm{tot}} = \sum J_z dA$	$I_{ m tot}$
Absolute value of the net vertical current	$ I_{ m net} = \sum J_z dA $	$ I_{ m net} $
Sum of absolute value of net currents in each polarity	$ I_{\text{net}}^B = \sum J_z(B_z > 0) dA + \sum J_z(B_z < 0) dA $	$ I_{ m net}^B $
Moments of vertical heterogeneity current density ^a	$J_{x}^{h} = C(b_{y}\partial B_{x}/\partial y - b_{x}\partial B_{y}/\partial x)$	$\mathcal{M}(J_z^h)$
Total unsigned vertical heterogeneity current	$I_{\mathrm{tot}}^{h} = \sum J_{z}^{h} dA$	$I_{ m tot}^h$
Absolute value of net vertical heterogeneity current	$\left I_{\mathrm{net}}^{h}\right = \left \sum J_{z}^{h} dA\right $	$\left I_{ m net}^h ight $
Distributi	ion of Twist Parameter	
Moments of twist parameter ^b	$\alpha = CJ_z/B_z$	$\mathcal{M}(lpha)$
Best-fit force-free twist parameter ^b	$\mathbf{B} = \alpha_{\mathrm{ff}} \nabla \times \mathbf{B}$	$ lpha_{ m ff} $
Distributi	ion of Current Helicity	
Moments of current helicity ^c	$h_c = CB_z(\partial B_y/\partial x - \partial B_x/\partial y)$	$\mathcal{M}(h_c)$
Total unsigned current helicity	$H_c^{\text{tot}} = \sum h_c dA$	$H_c^{ m tot}$
Absolute value of net current helicity	$\left H_c^{\text{net}} \right = \left \sum h_c dA \right $	$\left H_c^{ m net} ight $
Distribu	ntion of Shear Angles	
Moments of 3D shear angle ^d	$\Psi = \cos^{-1}(\boldsymbol{B}^p \cdot \boldsymbol{B}^o / B^p B^o)$	$\mathcal{M}(\Psi)$
Area with shear $>\Psi_0$, $\Psi_0=45^\circ$, 80°	$A(\Psi > \Psi_0) = \sum_{\Psi > \Psi_0} dA$	$A(\Psi > 45^{\circ}), \ A(\Psi > 80^{\circ})$
Moments of neutral line shear angle	$\Psi_{\text{NL}} = \cos^{-1}(\boldsymbol{B}_{\text{NI}}^{p} \cdot \boldsymbol{B}_{\text{NI}}^{o} / B_{\text{NI}}^{p} B_{\text{NI}}^{o})$	$\mathcal{M}(\Psi_{ m NL})$
Length of neutral line with shear $>\Psi_0$	$L(\Psi_{NL} > \Psi_0) = \sum_{\Psi_{NL} > \Psi_0} dL$	$L(\Psi_{\rm NL} > 45^{\circ}), \ L(\Psi_{\rm NL} > 80^{\circ})$
Moments of horizontal shear angle e	$\psi = \cos^{-1}(\boldsymbol{B}_{h}^{P} \cdot \boldsymbol{B}_{h}^{O}/B_{h}^{P}B_{h}^{O})$	$\mathcal{M}(\psi)$
Area with horizontal shear $>\psi_0$	$A(\psi > \psi_0) = \sum_{\psi > \psi_0} dA$	$A(\psi > 45^{\circ}), \ A(\psi > 80^{\circ})$
Distribution of Photosph	neric Excess Magnetic Energy Density	
Moments of photospheric excess magnetic energy density ^d	$\rho_e = (\boldsymbol{B}^p - \boldsymbol{B}^o)^2 / 8\pi$	$\mathcal{M}(ho_e)$
Total photospheric excess magnetic energy	$E_e = \sum ho_e dA$	E_e

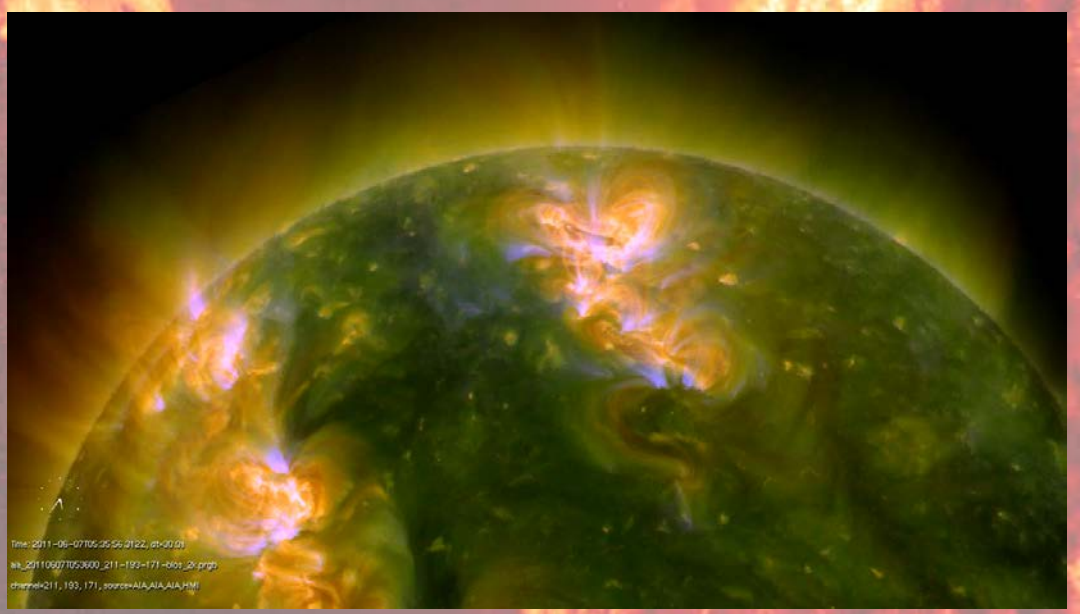
Prédiction des éruptions

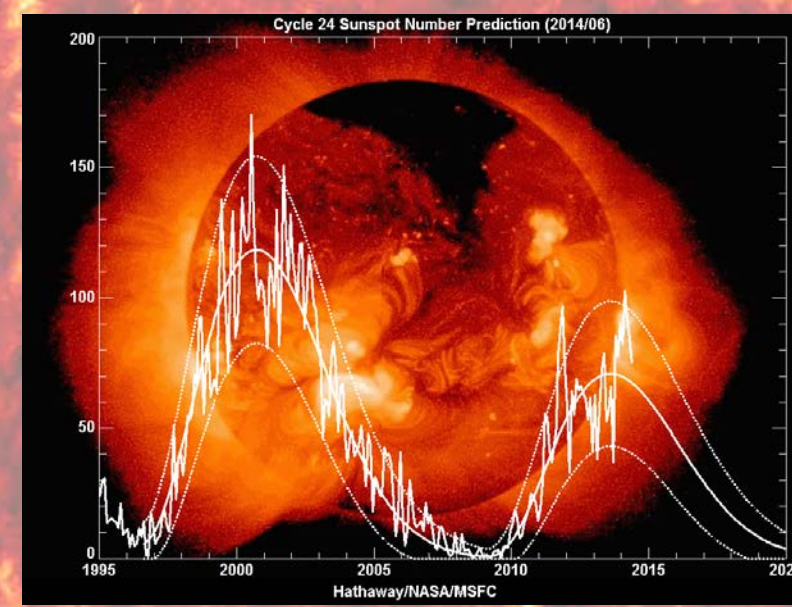
- Prédictions basés sur des modèles empiriques
 - Fonctionne seulement avec des fenêtres temporelle large: > 24hrs
- Prédictions journalières: SWPC, SIDC, ...
 - Prediction pour éruptions importantes: 40-50%



Conclusions

- La météorologie de l'espace est un domaine en pleine maturation
- Nécessite de la recherche théorique pour comprendre les conditions nécessaires de déclenchement des éruptions.
 - Programme européen FLARECAST de prévision des éruptions
- 2014-2015: maximum de l'activité solaire
 - De nombreuses occasions d'améliorer nos connaissances
 - Profitons du spectacle: 10⁸ éme image de SDO Lundi 19 à 17h49.07s





E.Pariat - 17 Janvier 2015 - SAL, Lyon







Solar Orbiter

Explorer les liens Soleil-Héliosphere

Samedi 17 Janvier 2015 Société Astronomique de Lyon

Etienne PARIAT

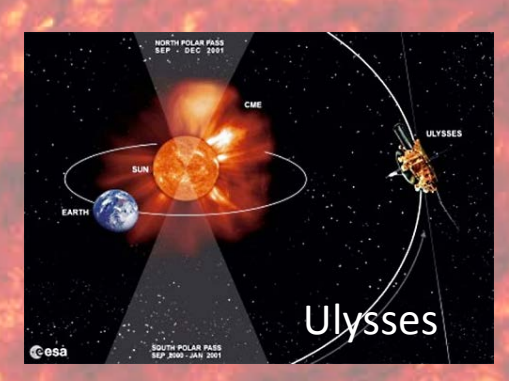
Remerciement Daniel Müller Solar Orbiter Project Scientist

E. Pariat - 17 Janvier 2015 - SAL Lyon



Solar Orbiter

- Première mission de classe Moyenne du programme de l'ESA Cosmic Vision 2015-2025, implémenté conjointement avec la NASA
- 10 instrument dédiés de mesures à distance de l'atmosphère solaire et in-situ et dans le vent solaire.
- Objectif: se rapprocher du Soleil afin de mieux comprendre le couplage entre le Soleil et l'héliosphère





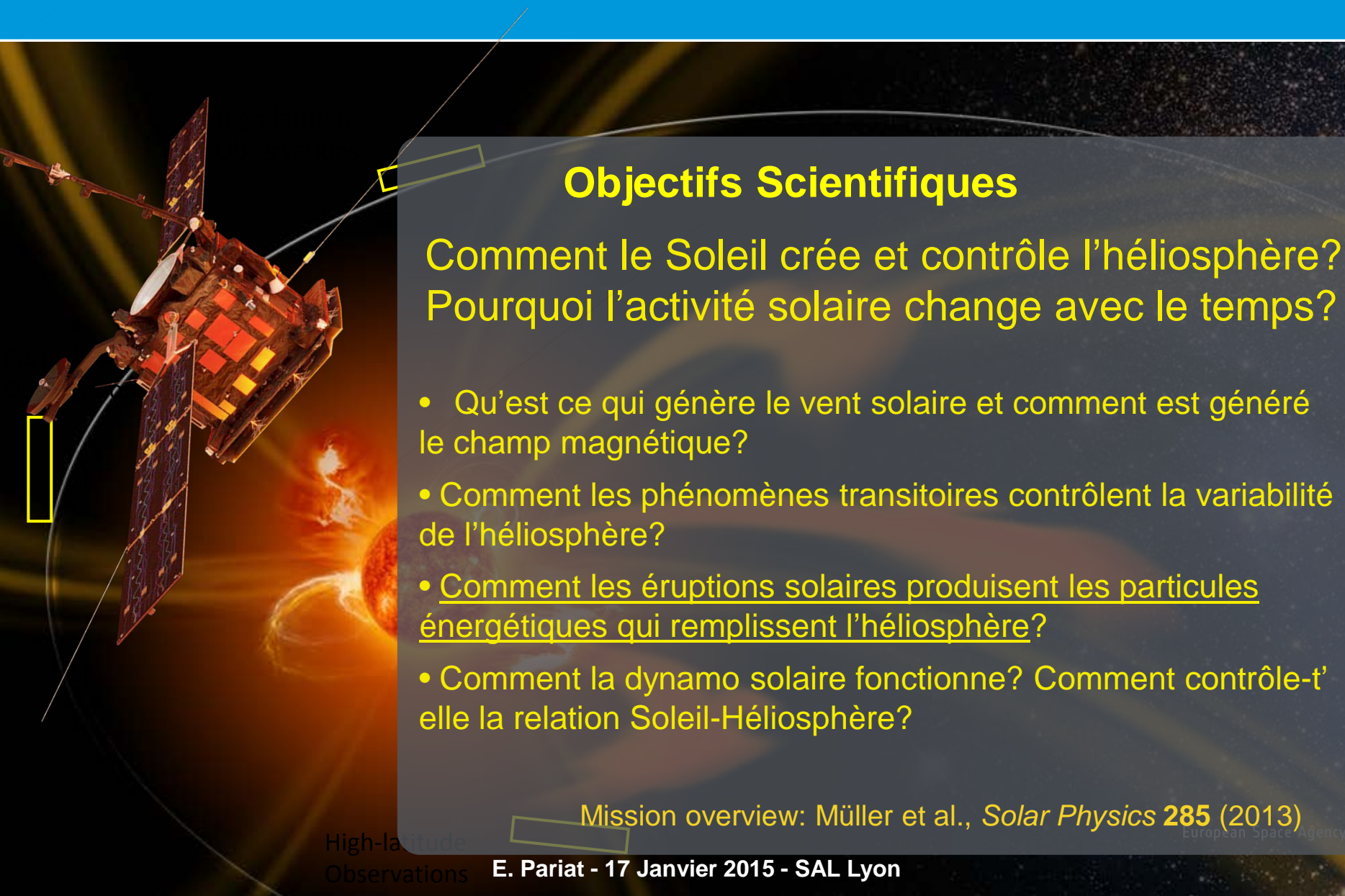




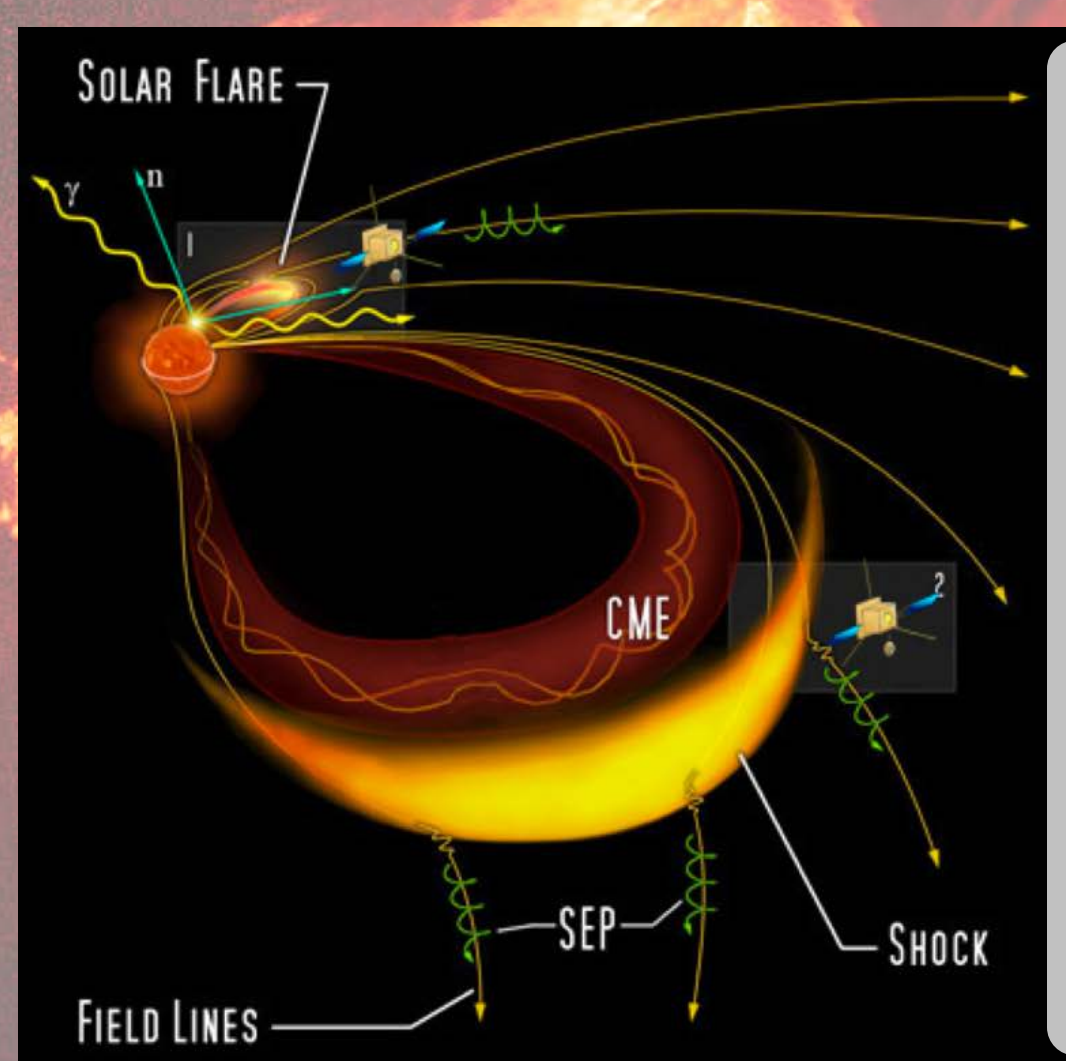
- Un projet de très longue haleine
 - ~90s: Premières discussions
 - 1998: Idée projet approuvé
 - 2001: Etude faisabilité
 - 2006: Gel mission
 - 2009: Sélection technique
 - 2011: Mission confirmé
 - 2017: Lancement prévu
 - 2020: Début Acquisition donnée
 - 2023: Fin de vie nominale
 - 2025: Fin de la période étendue
 - ~ 2035: Fin d'exploitation des données





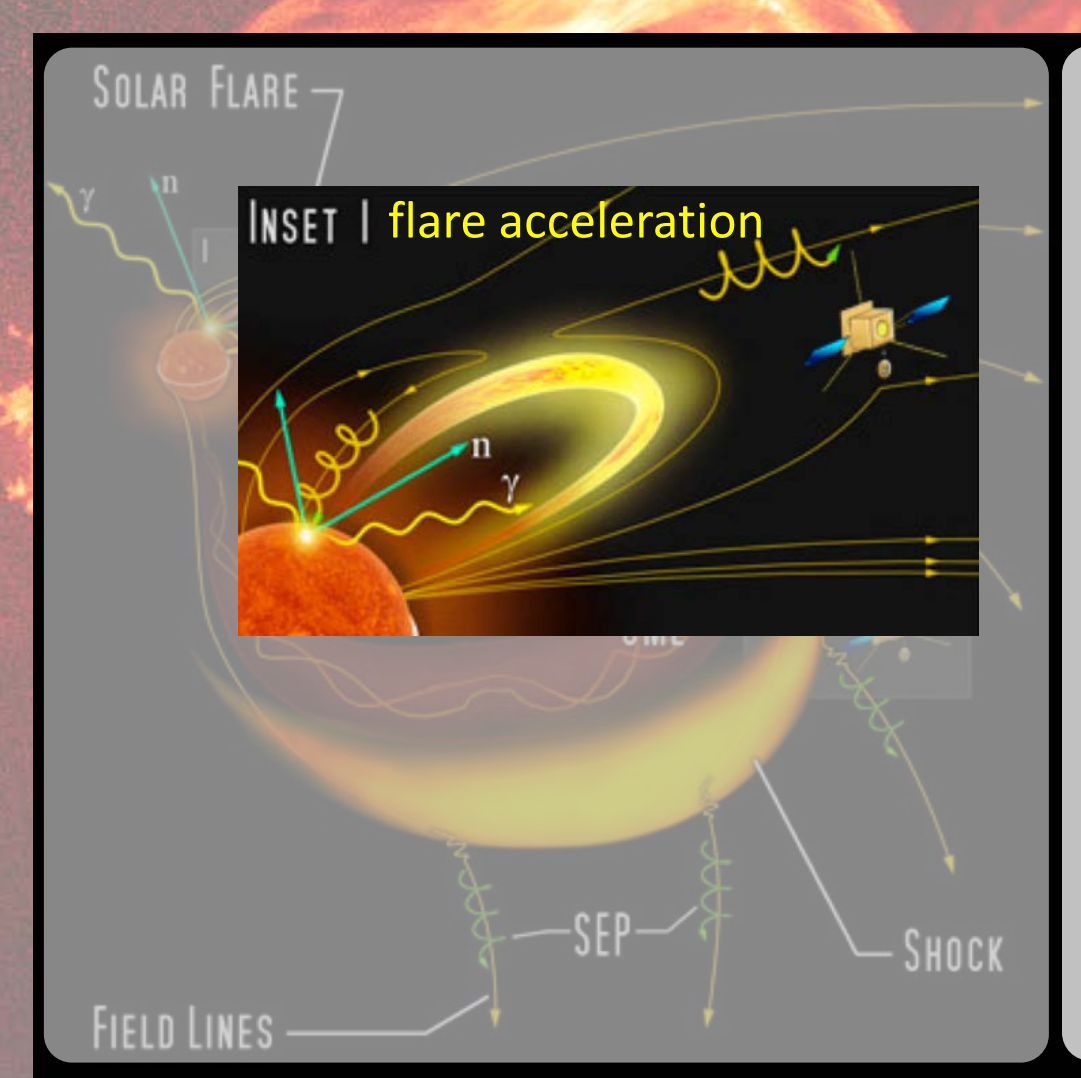






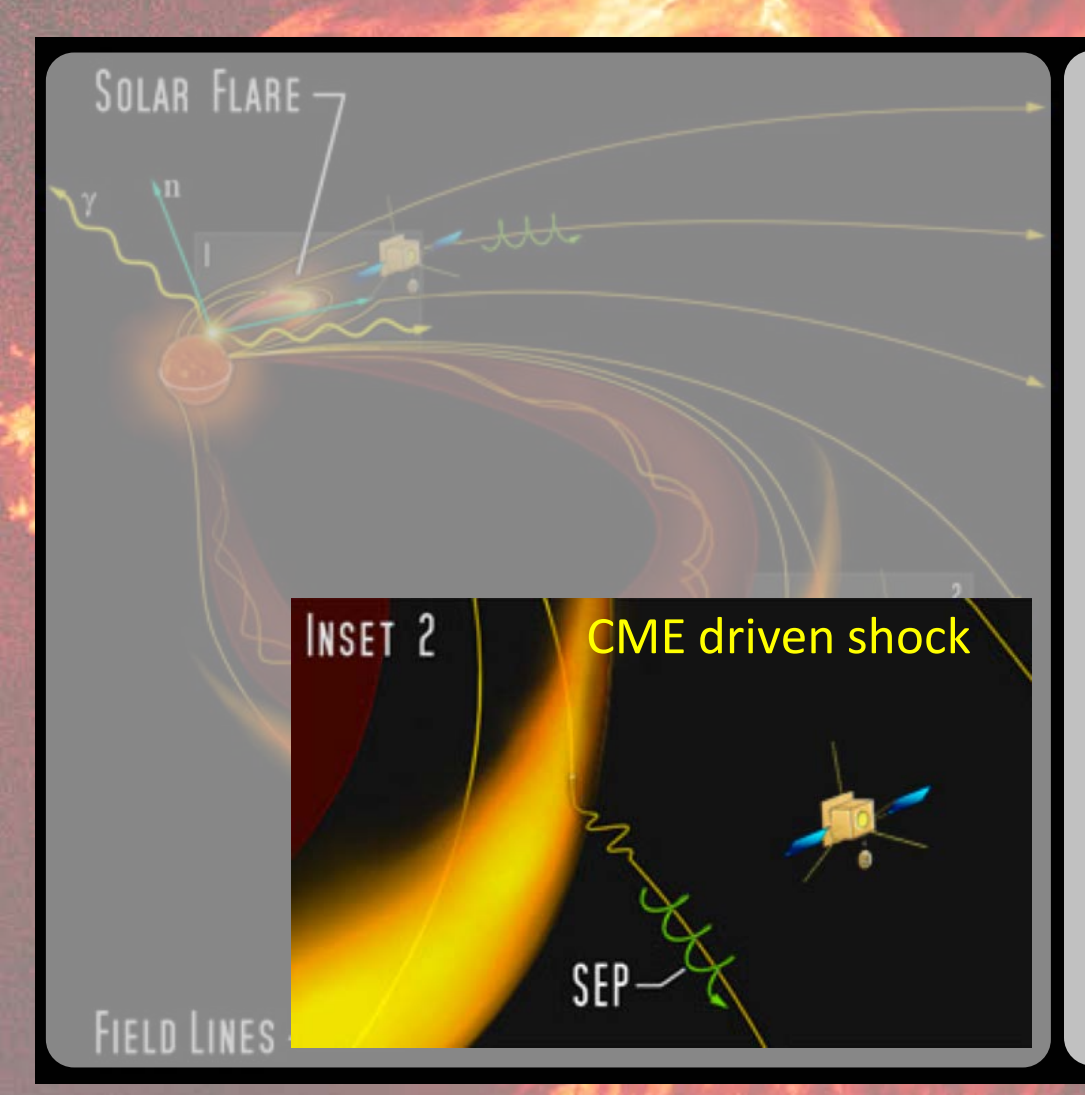
- Comment les éruptions solaires produisent les particules énergétiques qui remplissent l'héliosphère?
- L'accélération des particules lors des éruptions est un des mécanismes les moins bien compris de physique solaire!





- Comment les éruptions solaires produisent les particules énergétiques qui remplissent l'héliosphère?
- •2 mécanismes:
 - Au sein de site de déclenchement de l'éruption, grâce à la reconnexion magnétique



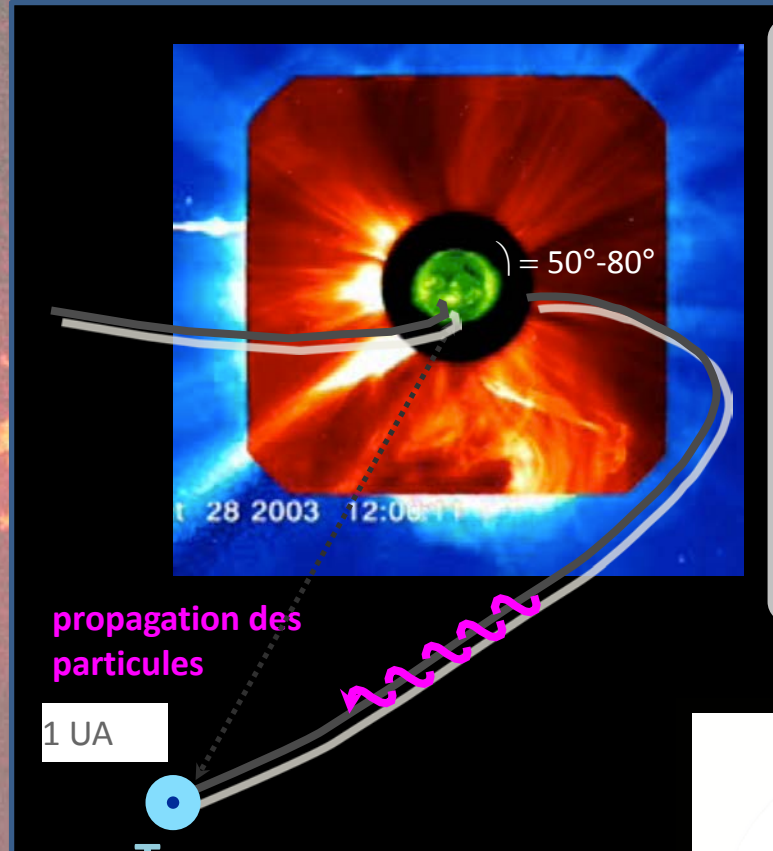


 Comment les éruptions solaires produisent les particules énergétiques qui remplissent l'héliosphère?

• 2 mécanismes:

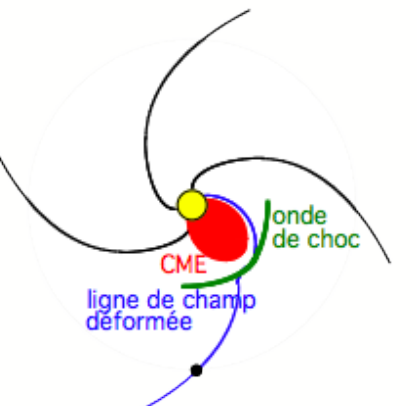
- Au sein de site de déclenchement de l'éruption, grâce à la reconnexion magnétique
- En amont de la CME, dans le choc crée par la propagation de la CME dans le vent solaire

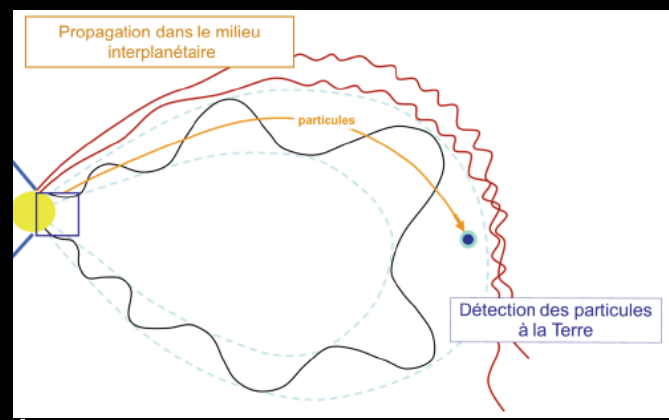




- Une fois généré, les particules se propagent dans le vent solaire le long du champ mag. interplanétaire.
- Lors des éruptions le champ magnétique interplanétaire est généralement très perturbé
- → <u>Depuis la Terre</u>, il est très difficile de déduire la source des particules détectés.
- Il peut y avoir un mélange des populations de particules générés par différents mécanismes

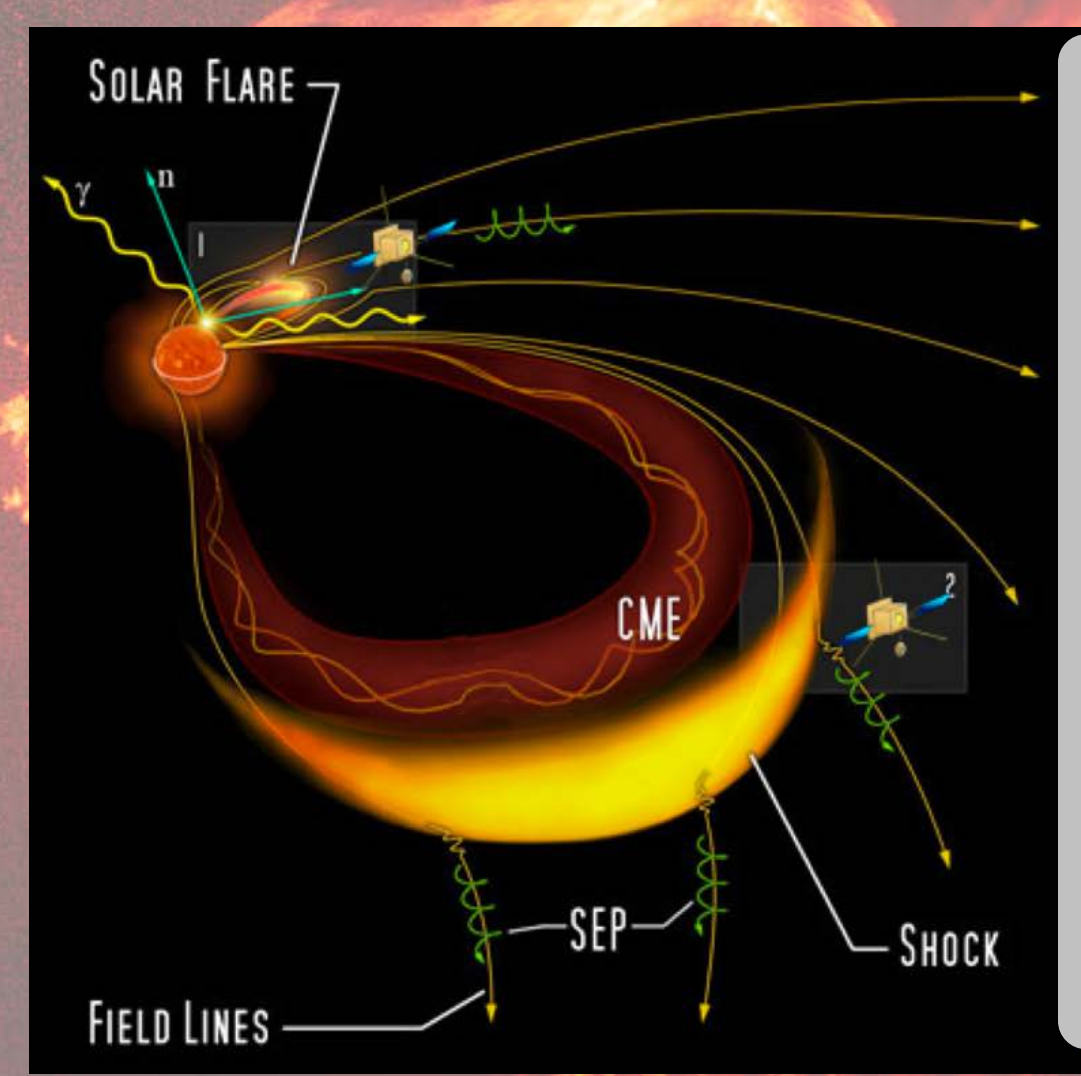
Perturbation du champ magnétique interplanétaire





E. Pariat - 17 Janvier 2015 - SAL Lyon



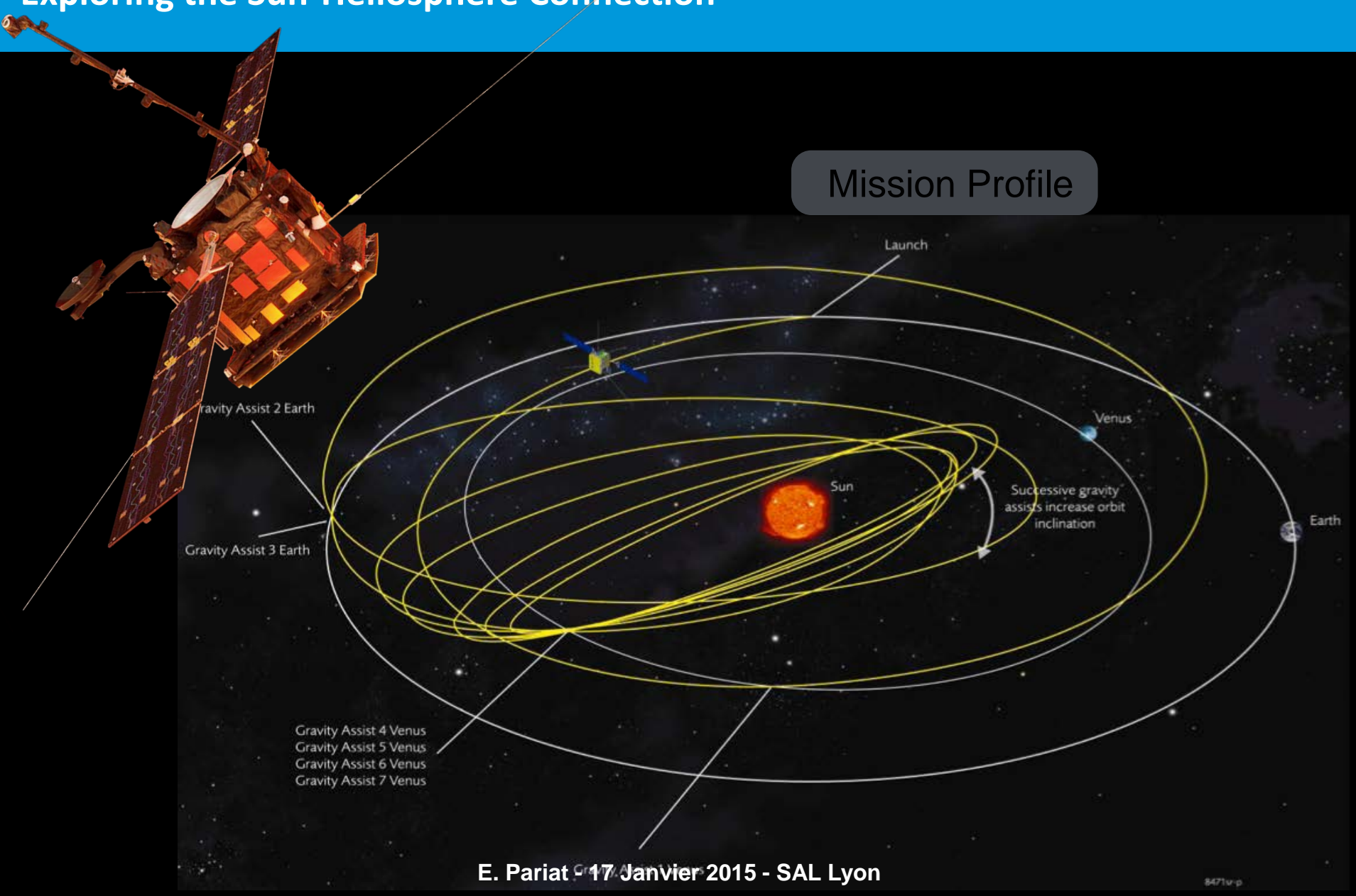


- Comment les éruptions solaires produisent les particules énergétiques qui remplissent l'héliosphère?
- En se rapprochant de la source de génération des particules, Solar Orbiter supprimera les perturbations apparaissant lors de la propagation
- Solar Orbiter permettra de tester l'importance relative des deux mécanismes d'accélération

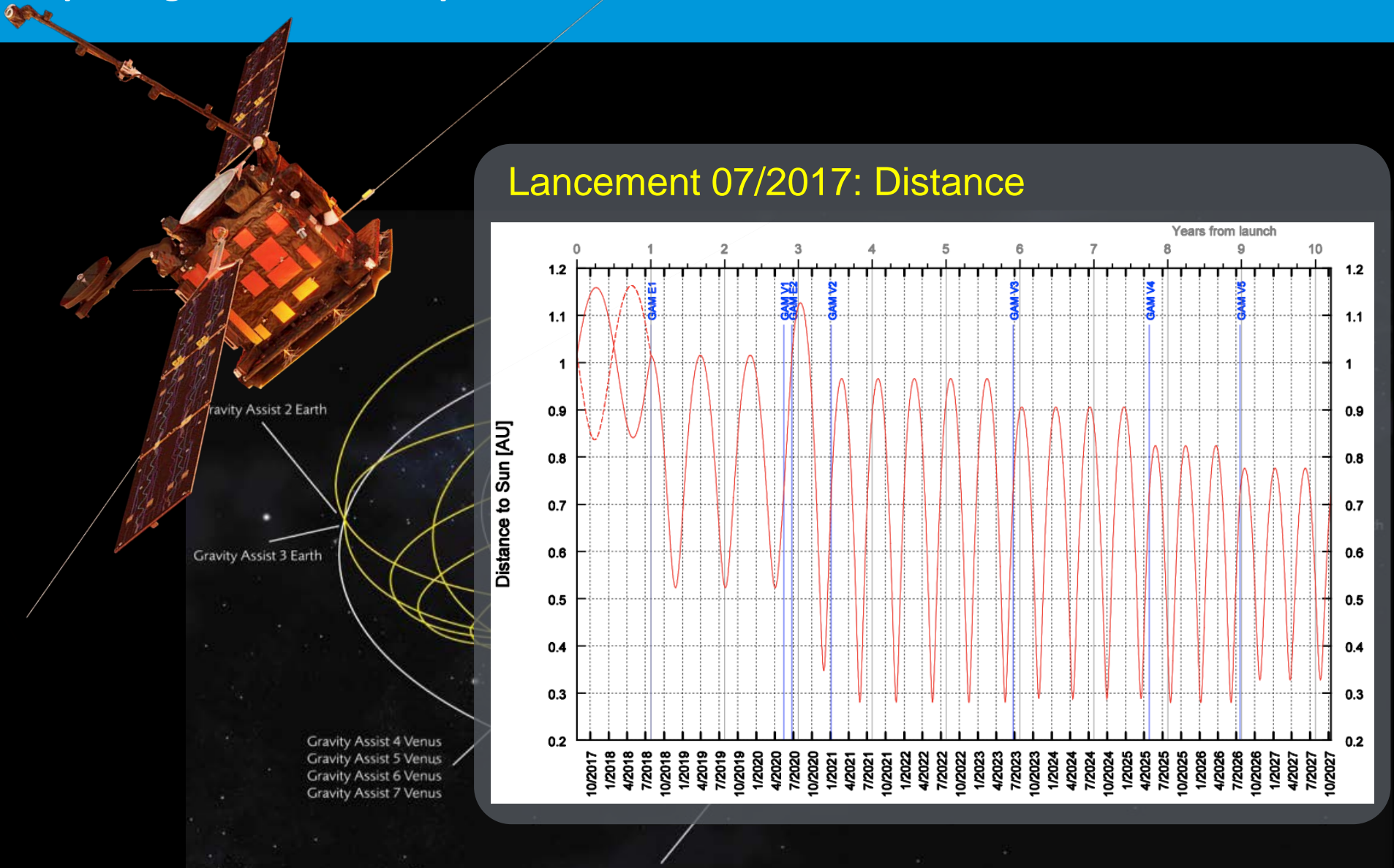




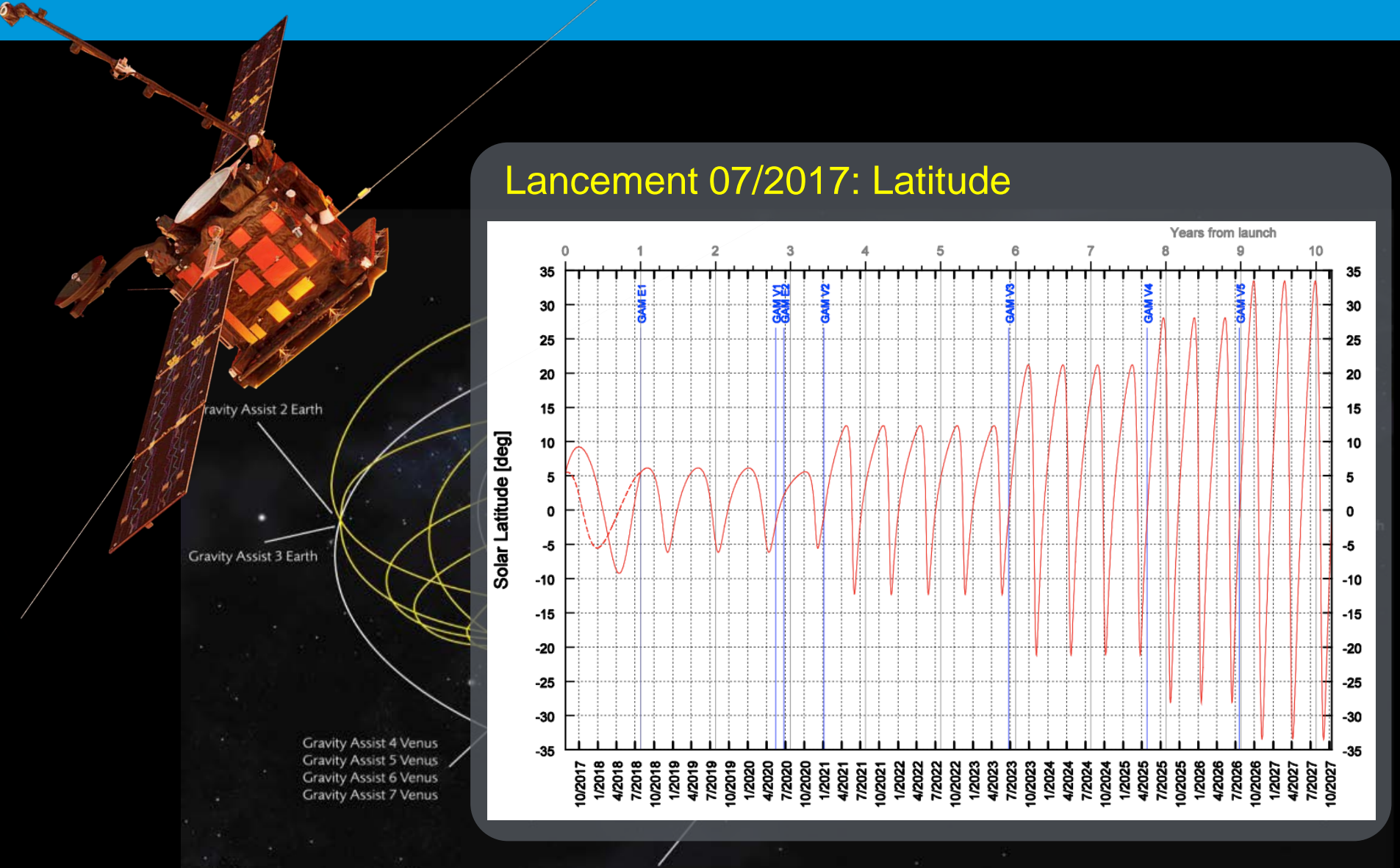




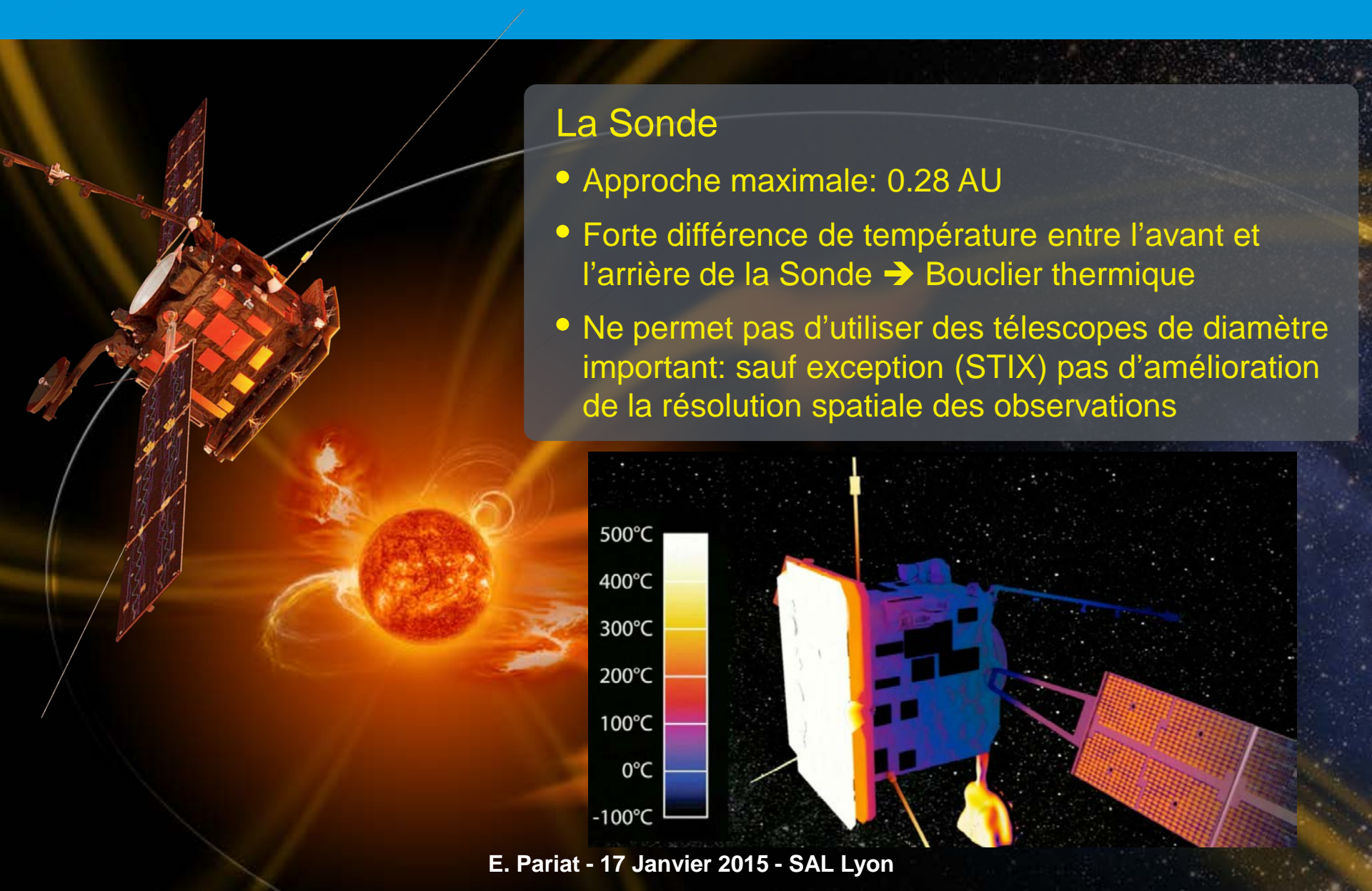












Status actuel

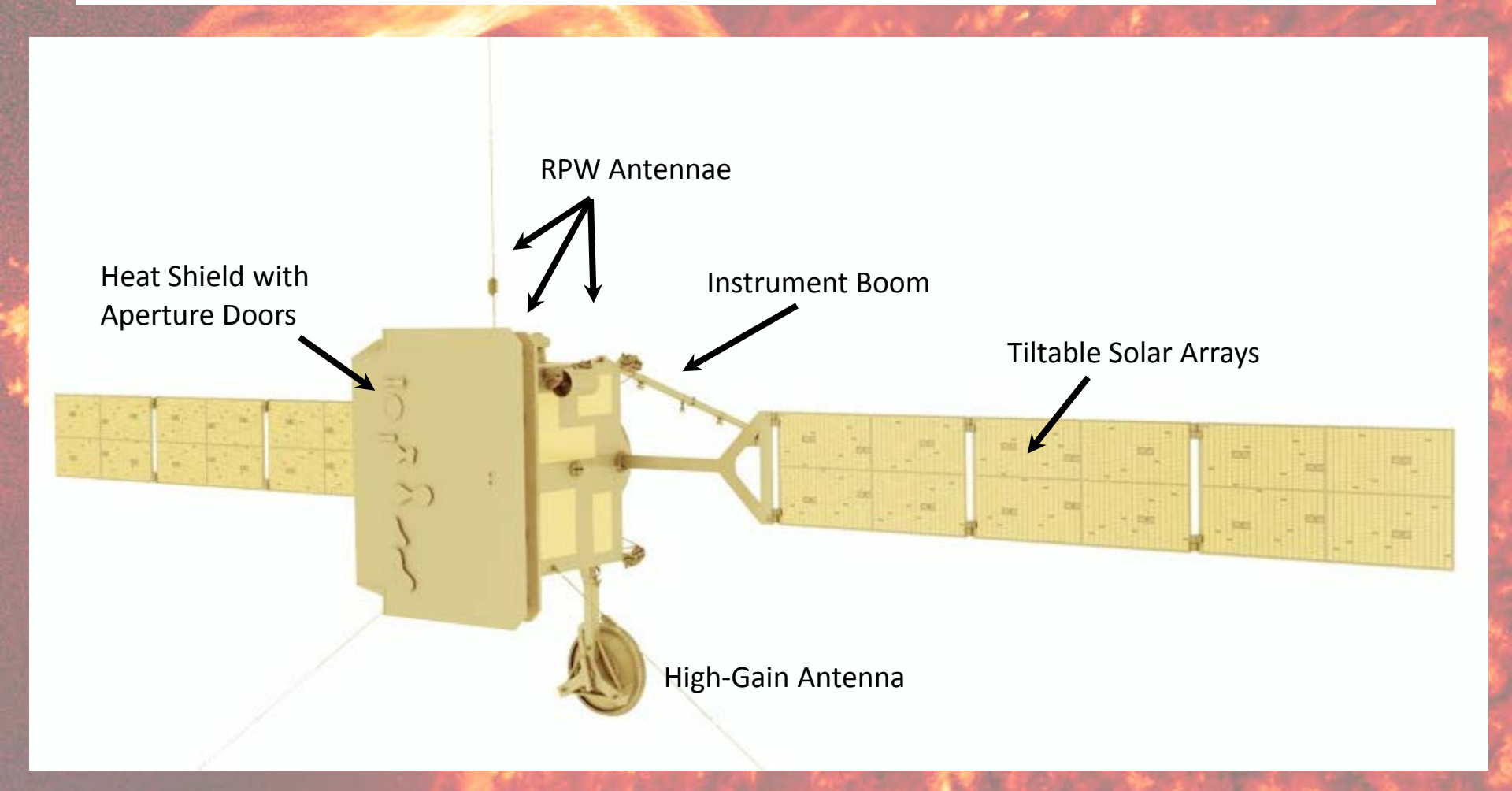


Bouclier thermique STM de Solar Orbiter descendant dans le Large Space Simulator à ESTEC (Pays-Bas)

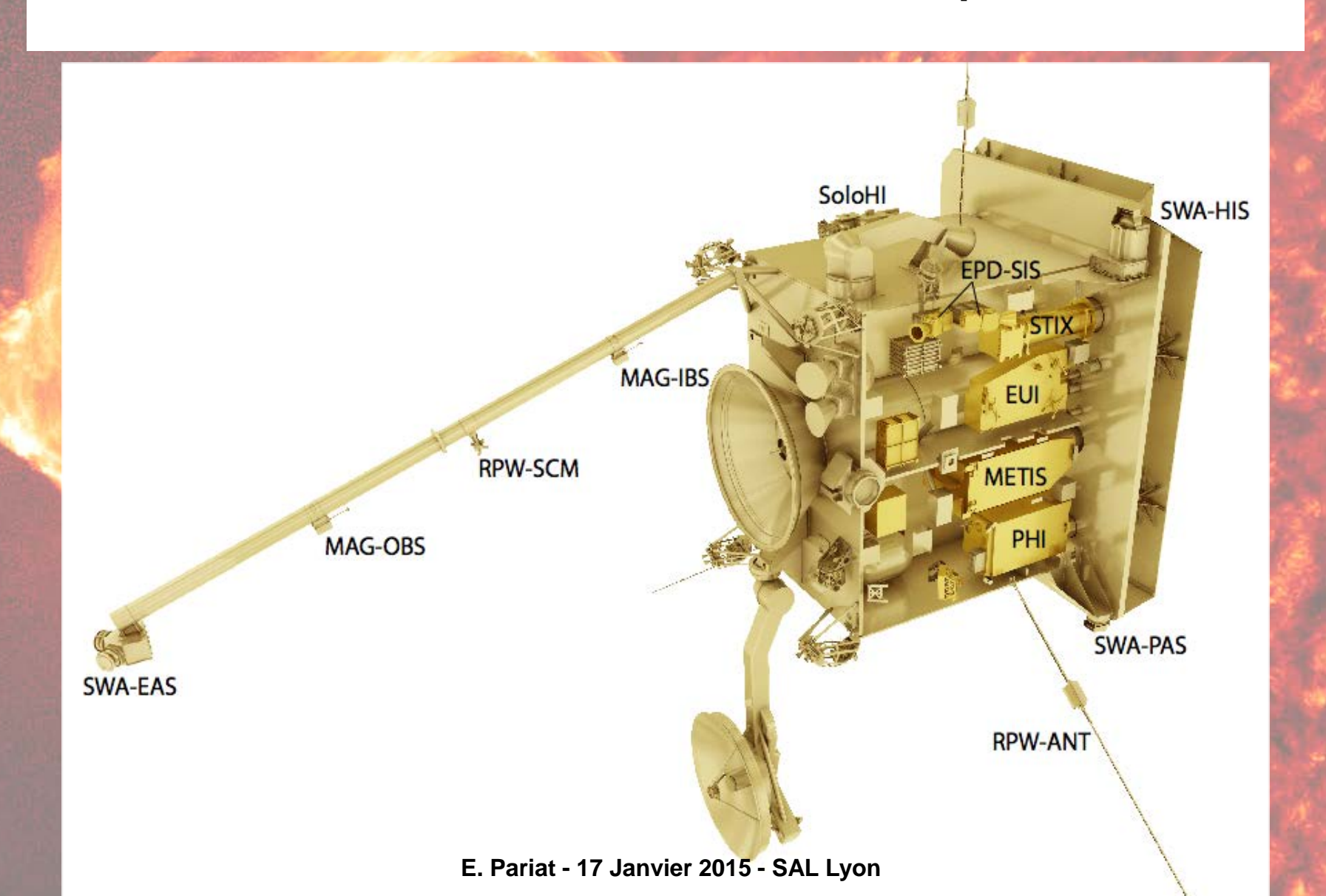
Instruments embarqués

Instruments In-Situ			
EPD	Energetic Particle Detector	J. Rodríguez-Pachec	Composition, timing and distribution functions of energetic particles
MAG	Magnetometer	T. Horbury	High-precision measurements of the heliospheric magnetic field
RPW	Radio & Plasma Waves	M. Maksimovic	Electromagnetic and electrostatic waves, magnetic and electric fields at high time resolution
SWA	Solar Wind Analyser	C. Owen	Sampling protons, electrons and heavy ions in the solar wind
Instruments de mesure à distance			
EUI	Extreme Ultraviolet Imager	P. Rochus	High-resolution and full-disk EUV imaging of the on- disk corona
METIS	Coronagraph	E. Antonucci	Visible and (E)UV Imaging of the off-disk corona
РНІ	Polarimetric & Helioseismic Imager	S. Solanki	High-resolution vector magnetic field, line-of-sight velocity in photosphere, visible imaging
SoloHI	Heliospheric Imager	R. Howard	Wide-field visible imaging of the solar off-disk corona
SPICE	Spectral Imaging of the Coronal Environment	European-led facility instrument	EUV spectroscopy of the solar disk and near-Sun corona
STIX	Spectrometer/Telescope for Imaging X-rays	S. Krucker	Imaging spectroscopy of solar X-ray emission

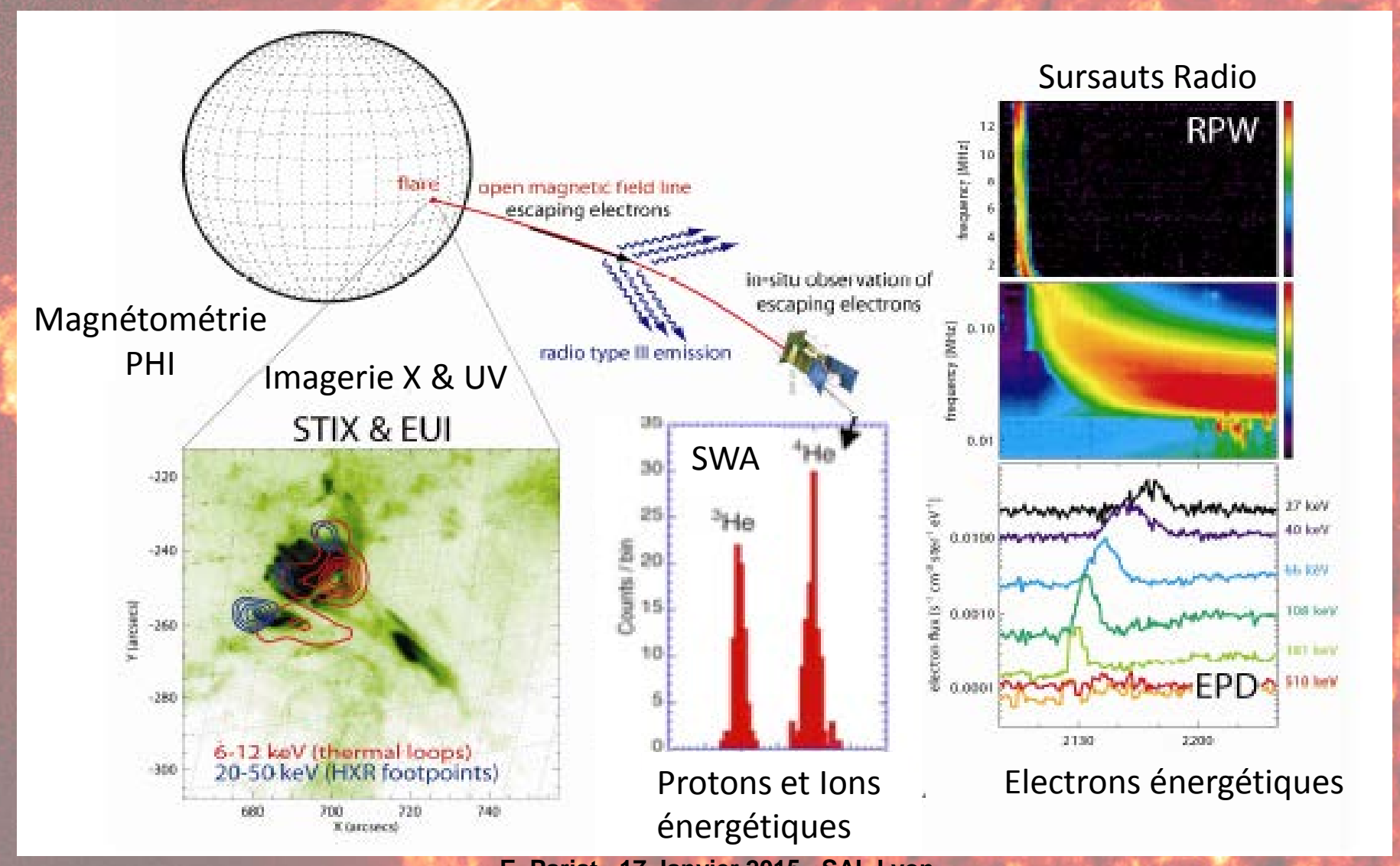
The Spacecraft



Les instruments scientiques





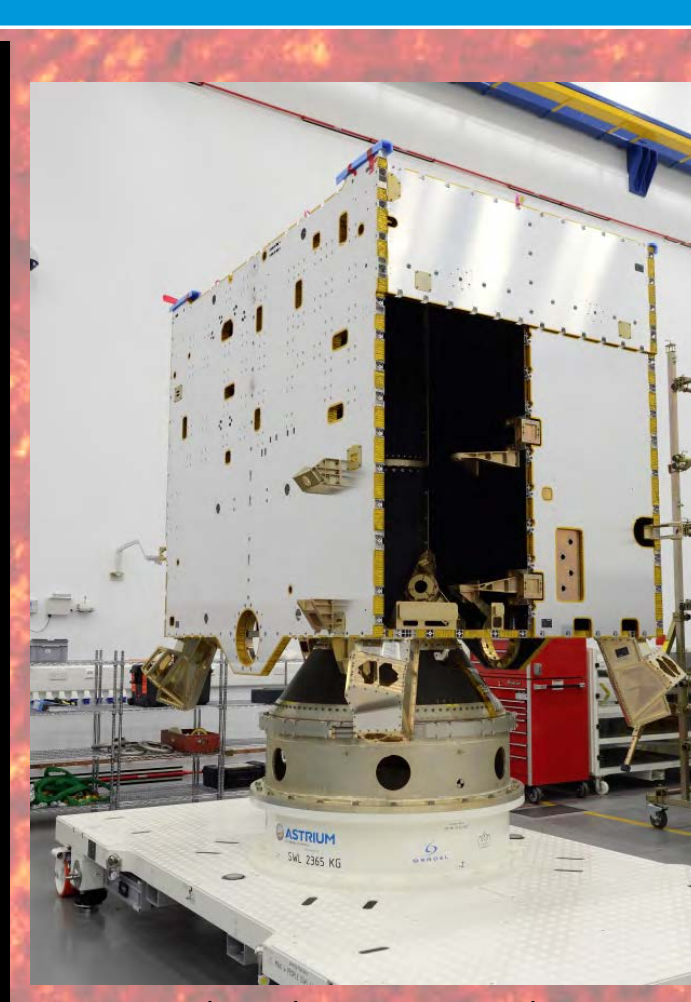


E. Pariat - 17 Janvier 2015 - SAL Lyon



CONCLUSION

- Solar Orbiter répondra à une question centrale:
 Comment le Soleil crée et contrôle l'héliosphère
- Solar Orbiter réalisera
 - Des mesures in-situ des paramètres du vent solaire, champ, ondes & particules énergétiques jusqu'à 0.28 AU du Soleil.
 - Des observations simultanées à haute résolution, imagerie & spectroscopie, du Soleil sur et hors de l'écliptique (jusqu'à 34°).
- La combinaison des instruments à distance et in-situ, ajouté au nouveau point de vue dans l'héliosphère interne, distingue Solar Orbiter de toutes les missions qui la précèdent, permettant un programme scientifique unique.



Solar Orbiter STM at Airbus D&S facilities, Stevenage, UK